

Ministerul Educației și Învățământului  
INSTITUTUL POLITEHNIC "TRAIAN VUIA" TIMIȘOARA  
FACULTATEA DE ELECTROTEHNICĂ  
- Catedra de Matematică -

PARAȘCHIVA POPOVICI

EQUAȚII OPERATORIALE FURTIVATE  
SI APLICATII

TEZA DE DOCTORAT

BIBLIOTECA CENTRALĂ  
UNIVERSITATEA "POLITEHNICA"  
TIMIȘOARA

Contacte științifice :

Prof. dr. POP IULIU GELU INSTITUTUL POLITEHNIC TIMIȘOARA

Timișoara - 1987

BIBLIOTECA CENTRALĂ	
E 494 860	
CENTRALA	
Volumul:	3 5 9
Dulap:	11 9



## INTRODUCERE

Specialiști ai diverselor domenii de activitate au fost, sînt și vor fi permanent confrunțați cu ecuații operatoriale ( $Fx = b$ ,  $F : X \rightarrow Y$ ,  $X, Y$  spații) de o diversitate de tipuri, care se cer rezolvate.

În general, nu este posibil de a determina explicit soluție ecuației ( $Fx = b$ ) sau, dacă se poate, forma ei explicită este atât de complicată încît ea este inutilizabilă și din acest motiv căutăm o soluție aproximativă.

În cadrul aproximării soluțiilor ecuațiilor, studiul metodelor iterative ocupă un loc important.

În prezenta lucrare, se abordează rezolvarea ecuațiilor operatoriale neliniare în spații finite dimensionale sau spații Hilbert reale, ecuații care provin din discretizarea unor ecuații diferențiale neliniare, în mod special a ecuațiilor cu diferențe corespunzătoare problemelor la limită locale pentru ecuații diferențiale slab neliniare, sau cuasilineare, problemei Dirichlet pentru ecuații eliptice slab neliniare. Sînt prezentate metode numerice iterative proprii sau generalizări ale unor metode iterative cunoscute, implementate pe calculator.

Probleme la limită locală pentru ecuații diferențiale slab neliniare precum și metode cu diferențe pentru rezolvarea numerică a ei au fost considerate de P. Henriot [17], M. Lees [27], M. Keller [22], J. Douglas [10], Samsonski [59] și alții. M. Lees [27] a dat o teoremă de existență și unicitate și a obținut condiții simple de convergență pentru metodele cu diferențe. Rezultatele lui M. Lees și M. H. Schultz [28] relative la rezolvarea numerică a problemei la limită locale pentru ecuații diferențiale cuasilineare prin metode cu diferențe finite au fost obținute pe baza generalizării prin-

cipiului de punct fix Leray - Schauder pentru operatori  $A$ -compacti, teorie dezvoltată de W.V.Petryshyn [47], S.Kaniel [18]. În Capitolul 1 autorul construiește o teorie de tipul M.Leeș relativă la rezolvarea problemei Dirichlet pentru ecuații cu derivate parțiale eliptice also neliniare prin metode cu diferențe finite standard (în cinci puncte) [55]. Această problemă a fost considerată de L.Bers [6], N.Levinson [29], S.V.Porter 42, 43, J.Douglas [10]. L.Bers, într-o lucrare omonimă [6] a arătat că soluțiile ecuațiilor cu diferențe finite standard converg la soluția problemei continue în condiții suficiente de largi principiile condiție fiind (1.13). Aceste rezultate au fost generalizate de autor [55]. Într-o serie de lucrări [43], [44], S.V.Porter a studiat metodele cu diferențe finite standard și cu diferențe finite corectate pentru obținerea unei soluții "maximale" (în cazul în care problema admite mai multe soluții). Menționăm de asemenea rezultatele lui J.Douglas [10] asupra metodei direcțiilor alternante pentru ecuațiile cu diferențe finite standard. Condiția principala impusă de J-Douglas condiția (1.14), mai slabă decât condiția cerută de L.Bers este utilizată și în studiul nostru ca și condiție principală.

În Capitolul 2 se studiază convergența locală a unor metode iterative pentru ecuații neliniare în spații finite dimensionale sau în spații Hilbert reale. S-au considerat ecuații de formă (1.4) care provin din discretizarea unor ecuații diferențiale neliniare (probleme cu condiții la limită) sau de formă mai generală (1.11). Astfel, se generalizează o metodă iterativă directă clasică [5] pentru ecuații de formă (1.11), se studiază [57] o variantă a metodei direcțiilor alternante pentru cazul nelinier

considerată de Kellog [23] și se generalizează [52] o metodă de tip gradient considerată de Altman [1],[2]. În cazuri particulare se obțin unele metode iterative cunoscute, în general cu condiții de convergență mai slabe, ceea ce corespunde cu faptul că condițiile considerate asigură numai o convergență locală.

Menționăm că problema rezolvării numerice a ecuațiilor diferențiale neliniare, în mod special a ecuațiilor cu diferențe corespunzătoare problemelor la limită de tip eliptic slab neliniare a fost considerată de numeroși autori. Astfel Bers [6], Ortega și Rockoff [39] iar mai recent Gergei [14] au considerat metode Gauss-Seidel neliniară (metoda SOR cu parametrul de relaxare 1). Douglas [10] și Gunn [15] au studiat metoda direcțiilor alternante a lui Peaceman - Rachford [44] pentru ecuații eliptice neliniare iar Scorocoogatko și Mamunya [61] au considerat o metodă specială de aproximații succesive. Întrucât ecuațiile cu diferențe sînt în general lacunare (sparsity) derivate Fréchet fiind o matrice rară, metodele numerice studiate în Capitolul 2 se referă la ecuații neliniare de acest tip. Metodele de calcul cu matrice rare pentru a fi eficiente trebuie să beneficieze de proporția mare de elemente nule din aceste matrice, ceea ce creștă necesitatea considerării unor tehnici speciale de memorare, programare și analiză numerică. O cerință esențială în programarea matricelor rare constă în memorarea și executarea operațiilor numerice numai cu elemente nenule ale matricii, de a salva memorie și timp de calcul.

Menționăm că tehnicile de prelucrare a matricelor rare de mari dimensiuni reprezintă un domeniu de cercetare relativ nou (primele conferințe și lucrări de sinteză consacrate acestui subiect datează din anii 1969-1971) și că aspectul matricelor rare asupra software-ului de aplicații și chiar asupra tehnologiilor în tehnica de calcul este considerabil.

In Capitolul 3 al tezei sînt prezentate tehnici speciale de realizare a programelor calculatîr pentru metodele numerice prezentate in Capitolul 2, exploatînd proprietatea de lacunaritate a ecuațiilor cu diferențe, in vederea obținerii unor programe performente [58]. Programele astfel obținute pot fi catalogate intr-o bibliotecă sursă. In ultimul paragraf al Capitolului 3 am aplicat cercetările noastre la rezolvarea unor probleme concrete din electroenergetică [50] .

In totalitatea lor cele trei capitole realizează o tratare completă a subiectului de la fundamentări teoretice pînă la procedee numerice și programe calculatîr.

## CAPITOLUL 1.

### ECUAȚII CU DIFERENȚE CORESPUNZĂTOARE PROBLEMEI LA LIMITĂ NELINIARE

În acest capitol se consideră ecuațiile cu diferențe corespunzătoare unor probleme la limită neliniare : probleme la limită bilocală pentru ecuații diferențiale albe neliniare și ovaliniere și problema Dirichlet pentru ecuații eliptice albe neliniare. Ecuațiile cu diferențe considerate reprezintă exemple tipice de ecuații neliniare lacunare. În text sînt prezentate rezultatele lui M.Lee [27], M.Lee și M.H.Schultz [28] relative la existența și unicitatea soluțiilor ecuațiilor cu diferențe respective precum și unele probleme legate de convergența soluțiilor problemelor discrete la soluțiile problemelor continue. De asemenea, în paragraful 1.3 se construiește o teorie de tipul M.Lee relativă la rezolvarea problemei Dirichlet pentru ecuații cu derivate parțiale eliptice albe neliniare prin metoda cu diferențe finite standard.

#### 1.1. PROBLEMA LA LIMITĂ BILOCALĂ PENTRU ECUAȚII DIFERENȚIALE ALBE NELINIARE.

Probleme la limită bilocală pentru ecuații diferențiale albe neliniare precum și metode cu diferențe pentru rezolvarea numerică a ei au fost considerate de P.Henrici [17], M.Lee [27], M.Keller [22], J.Douglas [10], Janowski [59] și alții. M.Lee [27] a dat o teoremă de existență și unicitate și a coținut condiții simple de convergență pentru metodele cu diferențe, rezultate pe care le vom prezenta în acest paragraf.

1.1.1. Notatii și definiții introductive. Fie  $n$  un întreg arbitrar și  $n = (n + 1)^{-1}$ . Mulțimea discretă  $\bar{d} = \{t_j = jn \mid j = 0, 1, \dots, n + 1\}$  o vom numi diviziunea uniformă închisă a intervalului  $I = [0, 1]$  ;  $d = \bar{d} - \{0, 1\}$  va fi diviziunea uniformă

deschisă a aceluiaș interval. Vom nota cu  $X_D$  mulțimea funcțiilor reale  $x$  definite pe  $\bar{I}$  astfel încât  $x(0) = x(1) = 0$ . Este clar că mulțimea  $X_D$  înzestrată cu operațiile de adunare și înmulțire cu scalari obișnuite este un spațiu liniar de dimensiune  $n$ . Dacă definim pe  $X_D$  norma  $\|x\|_d = \max_d |x(t)|$  (numită normă uniformă sau normă max) atunci  $X_D$  devine un spațiu Banach real  $n$ -dimensional. Mulțimea funcțiilor reale  $x$  definite pe  $\bar{I}$  fără condițiile  $x(0) = x(1) = 0$ , structurată în acelaș mod, constituie un spațiu Banach cu  $n + 2$  dimensiuni ; vom nota acest spațiu cu  $X_{n+2}$ .

**Observație.** Vom identifica spațiul  $X_D$  cu spațiul real  $n$ -dimensional  $\mathbb{R}^n$ . Dacă  $x \in X_D$  atunci  $x$  va fi considerat un vector coloană avind componentele  $x_j = x(t_j)$ ,  $j = 1, \dots, n$ . Vom utiliza, după caz, terminologia unui spațiu de funcții sau a spațiului  $\mathbb{R}^n$ .

Dacă  $u \in C(I)$  și  $u(0) = u(1) = 0$ , restricția lui  $u$  la  $\bar{I}$  o vom nota de asemenea cu  $u$  ; această dublă semnificație a lui  $u$  nu va provoca în general ambiguități ; de exemplu, prin  $\|u\|_d$  vom înțelege norma uniformă a restricției lui  $u$  la  $\bar{I}$ . Menționăm că norma (uniformă) a spațiului  $C(I)$  o vom nota cu  $\|\cdot\|_I$ .

Fie  $x, y \in X_D$  ; vom nota, pentru orice  $k \leq n + 1$ ,

$$\langle x, y \rangle_k = h \sum_{j=1}^k x(t_j) y(t_j).$$

Se vede că  $\langle x, y \rangle_n$  definește un produs interior pe spațiul  $X_D$ . Norma indusă de acest produs o vom nota cu  $\|\cdot\|_0$ , deci  $\|x\|_0 = \langle x, x \rangle_n^{1/2}$ . Se poate verifica cu ușurință că

$$h^{1/2} \|x\|_d \leq \|x\|_0 \leq \|x\|_d.$$

Fie  $A : X_D \rightarrow X_D$  un operator definit de



$$Ax(t) = h^{-2}[x(t+h) - 2x(t) + x(t-h)], \quad t \in d,$$

și  $Ax(0) = Ax(1) = 0$ . Se știe că  $A$  este un operator liniar cu matricea (notată de asemenea cu  $A$ )

$$(1.1) \quad A = h^{-2} \begin{pmatrix} -2 & 1 & 0 & & \\ 1 & \cdot & \cdot & \cdot & \\ & \cdot & \cdot & \cdot & 1 \\ 0 & & & 1 & -2 \end{pmatrix}.$$

Să observăm că, dacă  $u \in C^1(I)$ ,  $Au$  constituie diferențe divizată de ordinul doi a funcției  $u$  în raport cu pasul  $h$ . După cum se știe această diferență aproximează, în anumite condiții derivate de ordinul doi a funcției  $u$  în punctele diviziunii  $d$ ; acest fapt este esențial pentru aproximarea soluțiilor problemelor la limită locale (liniare sau neliniare).

Se defineasc de asemenea operatorii diferență  $D_+$  și  $D_-$  pe spațiul  $X_{n+2}$  cu valori în  $X_{n+2}$  cu ajutorul relațiilor

$$D_+x(t) = h^{-1}[x(t+h) - x(t)],$$

$$D_-x(t) = h^{-1}[x(t) - x(t-h)],$$

pentru orice  $t \in d$  și  $D_+x(1) = -x(1)$ ,  $D_-x(0) = x(0)$ . Matricile acestor operatori sînt :

$$D_+ = h^{-1} \begin{pmatrix} -1 & 1 & 0 & & \\ & \cdot & \cdot & \cdot & \\ & & \cdot & \cdot & 1 \\ 0 & & & 1 & -1 \end{pmatrix}, \quad D_- = h^{-1} \begin{pmatrix} 1 & & & & 0 \\ -1 & \cdot & \cdot & \cdot & \\ & \cdot & \cdot & \cdot & \\ & & \cdot & \cdot & \\ 0 & & & -1 & 1 \end{pmatrix}$$

$D_+x$  și  $D_-x$  reprezintă diferențele divizate de ordinul întâi ("la dreapta" și respectiv "la stînga") ale funcției  $x$  în raport cu pasul  $h$ . Dacă notăm  $A_M = D_+D_-$  atunci  $A_M(X_0) \subseteq X_0$  și restricția lui  $A_M$  la  $X_0$  coincide cu  $A$ .

Operatorul  $-A$  fiind simetric și pozitiv definit, se poate defini pe spațiul  $X_0$  norma  $\|\cdot\|_A$  dată de

$$\|x\|_A^2 = - \langle Ax, x \rangle_0.$$

Este evident că

$$\|x\|_A^2 = -\langle A_M x, x \rangle_D = -\langle D_+ D_- x, x \rangle_{D+1} = \langle D_- x, D_- x \rangle_{D+1} .$$

Utilizând această relație se poate arăta (M. Lees [27], lema 2) că pentru orice  $x \in X_D$  avem

$$2 \|x\|_d \leq \|x\|_A .$$

1.1.2. Problema la limită bilocală slab neliniară. Vom considera următoarea problemă la limită bilocală slab neliniară

$$(1.2) \quad \begin{aligned} u'' &= f(t, u) , \quad t \in [0, 1] \\ u(0) &= \alpha , \quad u(1) = \beta , \end{aligned}$$

unde  $\alpha, \beta$  sînt două numere reale date iar  $f$  este o funcție reală definită pe  $D = \{(t, u) \mid 0 \leq t \leq 1, -\infty < u < +\infty\}$ . Să observăm că limitele  $\alpha, \beta$  se pot considera întotdeauna egale cu zero; în adevăr, dacă  $u$  este o soluție a problemei (1.2) și dacă notăm  $g(t, v) = f(t, v + \xi)$ , unde  $\xi(t) = \beta t + \alpha(1-t)$ , atunci  $v = u - \xi$  este o soluție a problemei

$$\begin{aligned} v'' &= g(t, v) \\ v(0) &= v(1) = 0. \end{aligned}$$

Invers, orice soluție  $v$  a acestei probleme generează o soluție  $u = v + \xi$  a problemei (1.2).

În continuare vom considera problema (1.2) în care limitele  $\alpha, \beta$  sînt egale cu zero.

OBSERVAȚIE. Din punctul de vedere al calculului numeric nu este întotdeauna util să luăm  $\alpha = \beta = 0$ ; de exemplu, calculul lui  $u$  (pe o mulțime discretă) atunci cînd se cunoaște  $v$  necesită un ciclu în plus în programele de calcul.

Următoarea teoremă dată de M. Lees [27] constituie unul din rezultatele principale asupra existenței și unicității soluției problemei (1.2):

**TEOREMA 1.1. Presupunem că  $f$  are derivate parțiale de orice ordin în raport cu  $u$  continue și că**

$$(1.3) \quad \inf_{\bar{u}} f_u = -\gamma > -\pi^2$$

**Atunci problema la limită olocală (1.2) are o soluție unică.**

Această teoremă generalizează un rezultat prezentat de P. Henrici [17] care presupune că  $f_u$  este continuă și satisface relația  $0 \leq f_u(t, u) \leq L$  pe  $\bar{D}$  pentru o anumită constantă  $L$ . De remarcat faptul că condiția (1.3) presupune că  $f_u$  este mărginită numai la stînga.

**1.1.3. Ecuații cu diferențe finite corespunzătoare problemei (1.2).** Să presupunem că problema (1.2) admite o soluție  $u \in C^4(I)$ . Aplicînd formulele lui Taylor, se obține

$$Au(t) = u''(t) + \frac{h^2}{12} u^{(4)}(\xi), \quad 0 < \xi < 1.$$

Ținînd cont că  $u^{(4)}$  este mărginită pe  $I$ , avem  $u'' \approx Au$ , astfel încît în locul ecuației  $u'' = f(t, u)$  vom considera ecuația  $Au = f(t, u)$ . În mod obișnuit soluția acestei ecuații este proprietă de soluție ecuației inițiale dar rezolvarea ei nu este în general mai simplă. De aceea vom căuta o soluție  $x$  a acestei ecuații în spațiul  $X_n$  și vom numi problema astfel obținută problemă discretă corespunzătoare problemei continue (1.2). Dacă notăm  $\Phi x = (f[t_1, x(t_1)], \dots, f[t_n, x(t_n)])^T$  ecuația discretă se poate scrie sub formă

$$(1.4) \quad Ax - \Phi x = 0,$$

unde  $A$  are forma (1.1). Este clar că (1.4) constituie un sistem nelinier de  $n$  ecuații cu  $n$  necunoscute, componentele lui  $x$ ,  $x(t_j)$ ,  $j = 1, \dots, n$ . Vom numi acest sistem ecuațiile cu diferențe finite standard corespunzătoare problemei la limită olocală (1.2).

Asupra ecuațiilor (1.4) se pun următoarele trei probleme :

1) Existența și unicitatea soluției sistemului ;

2) Convergența soluțiilor sistemelor de forma (1.4), într-un anumit sens, la soluția problemei (1.2), atunci când  $n \rightarrow \infty$  ;

3) Rezolvarea numerică a sistemului (1.4).

Mentionăm că, având în vedere forma particulară a ecuațiilor (1.4), se pot construi proceduri speciale de calcul în vederea utilizării unei calculator electronice care să asigure un consum redus de memorie și de timp unitate centrală. Această problemă va fi tratată în capitolele 2 și 3 ale prezentei lucrări.

Să presupunem acum că  $u \in C^6(I)$  și să considerăm în dezvoltarea în serie Taylor a funcției  $u$  termenii pînă la ordinul 6 inclusiv. Se obține

$$Au(t) = u''(t) + \frac{h^2}{12} u^{(4)}(t) + \frac{2h^4}{6!} u^{(6)}(\xi_1), \quad 0 < \xi_1 < 1.$$

Ținînd cont că

$$u^{(4)}(t) = \frac{d^2}{dt^2} f[t, u(t)] = \Delta f[t, u(t)] - \frac{h^2}{12} \frac{d^4}{dt^4} f[t, u(t)]_{t=\xi_2}$$

$$0 < \xi_2 < 1,$$

rezultă

$$Au(t) = f[t, u(t)] + \frac{h^2}{12} \Delta f[t, u(t)] +$$

$$+ \frac{h^4}{12} \left( \frac{1}{30} u^{(6)}(\xi_1) - \frac{d^4}{dt^4} f[t, u(t)]_{t=\xi_2} \right).$$

Așadar  $Au = f(t, u) + (h^2/12)\Delta f(t, u)$  și rezultă imediat următoarea discretizare pentru problema (1.2) :

$$(1.5) \quad \Delta x - \Phi x - \frac{h^2}{12} \Delta \Phi x = 0.$$

Se obține din nou un sistem liniar de  $n$  ecuații cu  $n$  necunoscute care diferă de (1.4) prin partea neliniară. Vom numi acest sistem ecuațiile cu diferențe finite corectate corespunzătoare problemei la limită bilevelă (1.2).

1.1.4. Convergența. Vom nota cu  $C_0(I)$  mulțimea funcțiilor

reale continue pe  $I$  și astfel încît  $u(0) = u(1) = 0$ . Dacă  $u \in C_0(I)$  și  $x \in X_D$  vom înțelege prin  $u - x$  diferența dintre restricția lui  $u$  la  $d$  și  $x$ . Fie acum  $\{x^n\}$  un șir astfel încît  $x^n \in X_D$ . Vom spune că șirul  $\{x^n\}$  converge la  $u \in C_0(I)$  dacă  $\|x^n - u\|_d \rightarrow 0, n \rightarrow \infty$ .

Teoria lui M. Lees referitoare la rezolvarea numerică a problemei (1.2) prin metode cu diferențe are la bază următoarea leamnă (lema 6, [27]) :

LEMA 1.1. Presupunem că  $f$  satisface relația (1.3) și că  $h_0$  este astfel încît

$$\eta < \pi^2 [1 - (h_0^2/12)]^2 .$$

Dacă  $h \leq h_0$  și  $x, y \in X_D$  satisface relațiile

$$\Delta x = f(t, x) + q_1(t),$$

$$\Delta y = f(t, y) + q_2(t),$$

pentru  $t \in d$ , atunci  $\|x - y\|_d \leq 2k_0 \|q_1 - q_2\|_0$ , unde

$$2k_0 = \frac{\pi}{\pi^2 [1 - (h^2/12)] \pi^2 - \eta} .$$

Pe baza acestei leme se poate obține următorul rezultat ([27], teoremele 2 și 3) asupra convergenței soluțiilor ecuațiilor cu diferențe finite standard la soluția problemei (1.2) :

TEOREMA 1.2. Presupunem că  $f$  satisface relația (1.3) și că  $h \leq h_0$ . Atunci ecuațiile cu diferențe finite standard (1.4) au o soluție unică  $x^D \in X_D$ . Dacă  $u$  este soluția problemei (1.2) atunci

$$\|u - x^D\|_d \leq \frac{1}{2} \|u - x^D\|_d \leq \frac{h^2}{12} k_0 \|u^{(4)}\|_I .$$

Dă observăm că din această teoremă rezultă că dacă  $n \rightarrow \infty$  atunci  $h \rightarrow 0$  și  $\|u - x^D\|_d \rightarrow 0$ , adică șirul de soluții ale ecuațiilor cu diferențe finite standard converge la soluția problemei (1.2).

Relativ la ecuațiile cu diferențe finite corectate se obține ([27], teoremele 5 și 6)

**TEOREMA 1.3.**  Dacă  $f$  satisface relația (1.3) atunci ecuațiile cu diferențe corectate (1.5) au o soluție unică  $x^n \in X_n$  pentru  $h$  suficient de mic iar șirul de soluții ale acestor ecuații converge la soluția problemei (1.2).

## 1.2. PROBLEMA LA LIMITĂ BILOCALĂ PENTRU ECUAȚII DIFERENȚIALE CVASILINIARE.

În acest paragraf vom prezenta rezultatele lui M. Lees și M.H. Schultz [28] relative la rezolvarea numerică a problemei la limită bilocală pentru ecuații diferențiale cvasiliniare prin metode cu diferențe finite. Aceste rezultate au fost obținute pe baza generalizării principiului de punct fix Leray - Schauder pentru operatori  $A$  - compoziți, teorie dezvoltată de W.V. Petryshyn [47], S. Kaniel [18], M. Lees și M.H. Schultz [28].

1.2.1. Notiuni introductive. Vom nota cu  $C_0^1(I)$  spațiul liniar al funcțiilor reale  $u$ , continuu diferențiable pe  $I = [0,1]$  și astfel încât  $u(0) = u(1) = 0$ . Dacă pe  $C_0^1(I)$  definim norma

$$\|u\| = \max_I |u(t)| + \max_I |u'(t)|$$

atunci  $C_0^1(I)$  devine un spațiu Banach real. Pe spațiul  $X_n$  vom considera norma

$$\|x\|_d = \max_d |x(t)| + \max_d |D_- x(t)|,$$

unde  $D_-$  este operatorul diferență definit în 1.1.1. Spațiul  $X_n$  înzestrat cu această normă devine de asemenea un spațiu Banach real  $n$ -dimensional.

Pentru fiecare  $X_n$  definim un operator  $\varphi_n : X_n \rightarrow C_0^1(I)$  ( $x \rightarrow u = \varphi_n(x)$ ) după cum urmează :

1) dacă  $t \in [t_j, t_{j+1}]$ ,  $1 \leq j \leq n$ , atunci  $u = \mathcal{L}_n(x)$  este polinomul (unic) de grad cel mult trei astfel încît

$$u(t_j) = x(t_j), \quad u'(t_j) = D_n x(t_j),$$

$$u(t_{j+1}) = x(t_{j+1}), \quad u'(t_{j+1}) = D_n x(t_{j+1});$$

2) dacă  $t \in [0, t_1]$ , atunci  $u = \mathcal{L}_n x$  este polinomul (unic) de grad cel mult doi astfel încît

$$u(0) = 0, \quad u'(t_1) = D_n x(t_1)$$

$$u(t_1) = x(t_1).$$

Că observăm că pe fiecare interval  $[t_j, t_{j+1}]$ ,  $1 \leq j \leq n$  (respectiv pe  $[0, t_1]$ ), funcția  $u \in C_0^1(I)$  care corespunde elementului  $x \in X_n$  este definită de un polinom de interpolare Hermite de ordinul trei (respectiv de ordinul doi).

Se poate arăta că  $\mathcal{L}_n$  este un operator liniar și că există o constantă  $c_1$ , independentă de  $n$ , astfel încît

$$(1.6) \quad \|x\|_d \leq \|\mathcal{L}_n x\| \leq c_1 \|x\|_d, \quad \forall x \in X_n.$$

**1.2.2. Problema la limită bilocală cvasiliniară și ecuații cu diferențe finite standard.** Considerăm următoarea problemă la limită bilocală cvasiliniară.

$$(1.7) \quad u'' = f(t, u, u'), \quad t \in [0, 1]$$

$$u(0) = u(1) = 0$$

unde  $f$  este o funcție reală definită pe  $\Omega = \{(t, u, u') \mid 0 \leq t \leq 1, -\infty < u, u' < +\infty\}$ . Dacă presupunem că problema (1.7) are o soluție  $u \in C^2(I)$  iar  $f$  are derivată parțială în raport cu  $u'$  mărginită, atunci

$$Au(t) = f[t, u(t), D_n u(t)] + r, \quad t \in d,$$

unde  $D_n u(t) = [u(t+h) - u(t-h)]/2h$  iar  $r$  satisface  $|r| \leq c_2 h^2$  pentru o constantă  $c_2$  independentă de  $n$ . Așadar  $Au \approx f(t, u, D_n u)$  și dacă notăm

$$(1.8) \quad \tilde{\phi}_x = \begin{pmatrix} f[t_1, x_1, (x_2 - x_0)/2h] \\ \vdots \\ f[t_n, x_n, (x_{n+1} - x_{n-1})/2h] \end{pmatrix} .$$

rezultă discretizarea (1.4) pentru problema (1.7). Ca și în cazul algebric, ecuațiile (1.4) cu  $\tilde{\phi}$  dat de (1.8) le vom numi ecuațiile cu diferențe standard corespunzătoare problemei la limită olocale cvasiliniere (1.7).

Vom presupune că  $f$  este de două ori continuu diferentțiabilă pe  $S$ ; orice soluție a problemei (1.7) este în acest caz de clasă  $C^1$  pe  $[0, 1]$ . Asupra funcției  $f$  se mai impun următoarele condiții :

Dacă  $u$  este o soluție a problemei (1.7) atunci

$$(1.9) \quad \begin{aligned} f_x(t, u, 0) &\geq m > 0, \text{ și} \\ |f(t, u, u')| &\leq \sigma(u'), \text{ pentru } |u| \leq k_1, \end{aligned}$$

unde  $k_1 = m^{-1} \max |f(t, 0, 0)|$  iar  $\sigma$  este o funcție pozitivă și continuă pe  $[0, \infty)$  astfel încît

$$\int_0^{\infty} \frac{\sigma ds}{\sigma(s)} = + \infty.$$

Se poate arăta că în aceste condiții  $|u(t)| \leq k_1$  și  $|u'(t)| \leq k_2$  unde  $k_2$  este o constantă care depinde numai de  $k_1$ .

Putem acum enunța următoarea teoremă asupra problemei (1.7) și a metodei cu diferențe finite pentru rezolvarea numerică a ei (M. Lees și M.H. Schultz [28], teorema 7) :

**TEOREMA 1.4.** Dacă  $f$  este o funcție de două ori continuu diferentțiabilă pe  $S$  și satisface condițiile (1.9) atunci problema la limită (1.7) are cel puțin o soluție  $u$ , ecuațiile cu diferențe standard corespunzătoare au o soluție  $x^D$  pentru  $n$  suficient de mare și există un subșir  $\{x^{D_j}\}$  al lui  $\{x^D\}$  est-



fel însoțit  $\|\mathcal{L}_n x^n - u\| \rightarrow 0, n \rightarrow \infty$ .

Deci în plus  $f_x(t, x, x') > 0$  atunci se poate arăta că soluția  $u$  a problemei (1.7) este unică și că șirul  $\{\mathcal{L}_n x^n\}$  converge la  $u$  în topologia spațiului  $C_0^1(I)$ . Aproximarea obținută cu ajutorul soluției  $x^n$  a problemei discrete, pe mulțimea  $d$ , este de ordinul  $h^2$ .

Se poate obține de asemenea un rezultat similar cu cel din teorema 1.2 pentru cazul algebric nelinier. Deoarece șirul polinoamelor de interpolare Hermite corespunzătoare unei funcții, respectiv derivatele lor, converge uniform la funcția considerată, respectiv la derivate ei, se poate arăta că  $\|\mathcal{L}_n u - u\| \rightarrow 0, n \rightarrow \infty$ . Ținând cont și de relația (1.6) rezultă

$$\begin{aligned} \|x^n - u\|_d &\leq \|\mathcal{L}_n(x^n - u)\| \leq \\ &\leq \|\mathcal{L}_n x^n - u\| + \|u - \mathcal{L}_n u\| \rightarrow 0, \end{aligned}$$

ceea ce înseamnă că șirul de soluții  $x^n$  al ecuațiilor cu diferențe finite converge la soluția problemei (1.7).

**1.2.3. Caz particular.** Să considerăm problema cvasilinieră particulară de formă

$$\begin{aligned} (1.10) \quad u'' &= a(u)u + f(t, u) \\ u(0) &= u(1) = 0, \end{aligned}$$

unde  $a$  și  $f$  sînt funcții reale definite respectiv pe  $(-\infty, +\infty)$  și  $\{(t, u) | 0 \leq t \leq 1, -\infty < u < +\infty\}$ . Dacă notăm  $a(x) = \max[a(x_1), \dots, a(x_n)]$  ecuațiile cu diferențe standard se pot scrie sub formă

$$[\Delta - a(x)]x - \Phi x = 0,$$

unde  $\Delta$  și  $\Phi$  au semnificațiile din paragraful 1.1. Dacă notăm  $\Lambda(x) = \Delta x - a(x)$ , aceste ecuații devin

$$(1.11) \quad \Lambda(x)x - \Phi x = 0.$$

Sub această formă ecuațiile cu diferențe prezintă anumite avantaje

din punctul de vedere al algoritmului de calcul numeric (paragrafele 2.2, 2.3, 2.5).

### 1.3. PROBLEMA DIRICHLET PENTRU ECUAȚII ELIPTICE

#### ALIAS NELINIARE

În acest paragraf vom construi o teorie de tipul M. Lees relativă la rezolvarea problemei Dirichlet pentru ecuații cu derivate parțiale eliptice also neliniare prin metode cu diferențe finite standard (în cinci puncte). Această problemă a fost considerată de L. Bers [6], N. Levinson [29], S.V. Parter [42], [43], J. Douglas [10]. L. Bers, într-o lucrare cuprinsă [6] a arătat că soluțiile ecuațiilor cu diferențe finite standard converg la soluția problemei continue în condiții suficient de largi principalele condiții fiind (1.13); aceste rezultate vor fi generalizate [55] în capitolul de față. Într-o serie de lucrări [42], [43], S.V. Parter a studiat metodele cu diferențe finite standard și cu diferențe finite corectate pentru obținerea unei soluții "maximale" (în cazul în care problema admite mai multe soluții). Menționăm de asemenea rezultatele lui J. Douglas [10] asupra metodei direcțiilor alternate pentru ecuațiile cu diferențe finite standard; condiția principală impusă de J. Douglas condiția (1.14), mai slabă decât condiția cerută de L. Bers, va fi utilizată și în studiul nostru ca și condiție principală.

1.3.1. Noțiuni și noțiuni introductive. Fie  $D = \{(t,s), 0 < t, s < 1\}$  patratul unitate din  $\mathbb{R}^2$ ,  $\Gamma$  frontiera lui  $D$  și  $\bar{D} = D \cup \Gamma$ . Vom nota cu  $C_0^D(\bar{D})$  mulțimea funcțiilor reale  $u$ , de  $n$  ori continuu diferențiable pe  $\bar{D}$  și astfel încât  $u|_{\Gamma} = 0$ . Pentru simplificarea scrierii un punct oarecare  $(t,s) \in D$  va fi notat  $P$ .

Vom considera următoarea problemă Dirichlet pentru ecuații

cu derivate parțiale eliptice slab neliniare (pe scurt problema Dirichlet eliptică slab neliniară)

$$(1.12) \quad \Delta u = \frac{\partial^2 u}{\partial t^2} + \frac{\partial^2 u}{\partial s^2} = f(P, u) \quad , \quad P \in D, \\ u|_{\Gamma} = 0,$$

unde  $f$  este o funcție reală definită pe  $S = \{(t, s, u) | 0 \leq t, s \leq 1, -\infty < u < +\infty\}$ . Dacă  $f$  satisface anumite condiții de "netezire" (de exemplu [42]) iar  $f_u$  este pozitivă,

$$(1.13) \quad f_u(P, u) \geq 0 \quad , \quad (P, u) \in S,$$

atunci problema (1.12) are soluție unică. De asemenea ecuațiile cu diferențe finite standard au soluții unice iar șirul soluțiilor acestor ecuații converge la soluția problemei (1.12). J. Douglas [10] a studiat metode direcțiilor alternate pentru rezolvarea numerică a ecuațiilor cu diferențe finite, impunând condiție mai slabă

$$(1.14) \quad f_u(P, u) \geq -\eta > -2\pi^2 \quad , \quad (P, u) \in S.$$

Fie  $n$  un întreg arbitrar și  $h = (n + 1)^{-1}$ . Ca și în cazul unidimensional, mulțimea discretă  $\bar{d} = \{(t_1, s_j) | t_1 = ih, s_j = jh, i, j = 0, 1, \dots, n + 1\}$  o vom numi rețea uniformă închisă a patratului unitate  $\bar{D}$ ;  $d = \{(t_1, s_j) | t_1 = ih, s_j = jh, i, j = 1, \dots, n\}$  va fi rețea uniformă deschisă a lui  $\bar{D}$ . Vom nota  $\bar{\Gamma} = \bar{d} - d$  și vom spune că  $\bar{\Gamma}$  este frontiera lui  $\bar{d}$ . Este clar că  $d$  conține  $n = n^2$  puncte din patratul unitate  $D$  iar  $\bar{d}$ ,  $n_1 = (n + 2)^2$  puncte din același patrat. Vom nota cu  $X_n$  mulțimea funcțiilor reale  $x$  definite pe  $\bar{d}$  astfel încât  $x(P) = 0, P \in \bar{\Gamma}$  și cu  $X_{n_1}$  funcțiile  $x$  fără această condiție. Structurate ca și în paragraful 1.1,  $X_n$  și  $X_{n_1}$  vor fi spații Banach reale finite dimensionale (cu  $n$  și respectiv  $n_1$  dimensiuni). Ca și în cazul unidimensional, vom identifica spațiul  $X_n$  cu spațiul real  $n$ -dimensional  $\mathbb{R}^n$ . În ele-

ment  $x$  din  $X_D$  considerat ca vector coloană din  $\mathbb{R}^D$  va avea componentele  $x_{ij} = x(t_i, s_j)$ ,  $i, j = 1, \dots, m$  unde convenim ca primul indice care se modifică să fie  $i$ , adică  $x = (x_{11}, \dots, x_{m1}, \dots, x_{1m}, \dots, x_{mm})^T$ . Această observație este valabilă și pentru  $X_{D1}$ . Dacă  $u \in C_0^D(\bar{D})$ , restricția lui  $u$  la  $\bar{d}$  o vom nota de asemenea cu  $u$ .

Fie  $x, y \in X_{D1}$ ; vom nota, pentru orice  $k \geq 0$ ,  $l \leq m+1$ ,  $k \leq l$ .

$$\langle x, y \rangle_{k,l} = h \sum_{i,j=k}^l x(t_i, s_j) y(t_i, s_j).$$

Se vede că  $\langle x, y \rangle_{1,m}$  definește un produs interior pe spațiul  $X_D$ . Norma indusă de acest produs o vom nota cu  $\| \cdot \|_0$ . Se poate verifica cu ușurință că

$$(1.15) \quad h^{1/2} \|x\|_d \leq \|x\|_0 \leq h^{-1/2} \|x\|_d.$$

1.3.2. Diferențe finite. Fie  $A : X_D \rightarrow X_D$  operatorul definit de

$$Ax(t, s) = h^{-2} [x(t+h, s) + x(t-h, s) + x(t, s+h) + x(t, s-h) - 4x(t, s)], \quad (t, s) \in d,$$

$$Ax(t, s) = 0, \quad (t, s) \in \bar{v}.$$

Se poate verifica că  $A$  este liniar și că matricea lui  $A$ , de dimensiuni  $n \times n$  ( $n = m^2$ ), este constituită din blocuri de dimensiuni  $m \times m$  și are formă

$$(1.15) \quad A = h^{-2} \begin{pmatrix} B & I & & 0 \\ I & \cdot & \cdot & \\ & \cdot & \cdot & \cdot \\ & & \cdot & \cdot & I \\ 0 & & & I & B \end{pmatrix}, \text{ unde } B = \begin{pmatrix} -4 & 1 & & 0 \\ 1 & \cdot & \cdot & \\ & \cdot & \cdot & \cdot \\ & & \cdot & \cdot & 1 \\ 0 & & & 1 & -4 \end{pmatrix}.$$

Ier  $I$  este matricea unitate  $m \times m$  dimensională.

Dacă  $u \in C_0^D(\bar{D})$  se poate arăta că  $\Delta u \approx Au$  pe  $\bar{d}$  [relația (1.17)], relație pe baza căreia se obțin ecuațiile cu diferen-

te finite standard corespunzătoare problemei (1.12).

Vom considera de asemenea operatorii diferență de ordinul întâi în raport cu  $t$ ,  $D_+^t, D_-^t : X_{n_1} \rightarrow X_{n_1}$  și respectiv în raport cu  $s$ ,  $D_+^s, D_-^s : X_{n_1} \rightarrow X_{n_1}$ .

Operatorii  $D_+^t, D_-^t$  sînt definiți de

$$D_+^t x(t,s) = h^{-1} [x(t+h,s) - x(t,s)], \text{ pe } \bar{d} = \{(t, s_j), j = 0, \dots, m+1\}$$

$$D_+^t x(t, s) = -h^{-1} x(t, s), \quad s \in \{s_j, j = 0, \dots, m+1\},$$

$$D_-^t x(t,s) = h^{-1} [x(t,s) - x(t-h,s)] \text{ pe } \bar{d} = \{(t, s_j), j = 0, \dots, m+1\},$$

$$D_-^t x(t, s) = h^{-1} x(t, s), \quad s \in \{s_j, j = 0, \dots, m+1\}.$$

Se poate verifica ușor că  $D_+^t, D_-^t$  sînt liniari și că

$$D_+^t = h^{-1} \begin{pmatrix} C & & & \\ & \cdot & & \\ & & \cdot & \\ & & & C \end{pmatrix}, \quad D_-^t = h^{-1} \begin{pmatrix} -C^T & & & \\ & \cdot & & \\ & & \cdot & \\ & & & -C^T \end{pmatrix}, \quad \text{unde } C = \begin{pmatrix} -1 & 1 & & \\ & \cdot & \cdot & \\ & & \cdot & 1 \\ & & & -1 \end{pmatrix},$$

dimensiunile lui  $C$  fiind  $(m+2) \times (m+2)$ .

Operatorii  $D_+^s, D_-^s$  se definesc în mod analog și anume

$$D_+^s x(t,s) = h^{-1} [x(t,s+h) - x(t,s)] \text{ pe } \bar{d} = \{(t_i, 1), i = 0, \dots, m+1\},$$

$$D_+^s x(t, 1) = -h^{-1} x(t, 1), \quad t \in \{t_i, i = 0, \dots, m+1\},$$

$$D_-^s x(t,s) = h^{-1} [x(t,s) - x(t,s-h)], \text{ pe } \bar{d} = \{(t_i, 0), i = 0, \dots, m+1\},$$

$$D_-^s x(t, 0) = h^{-1} x(t, 0), \quad t \in \{t_i, i = 0, \dots, m+1\}.$$

$D_+^s$  și  $D_-^s$  sînt de asemenea liniari și

$$D_+^s = h^{-1} \begin{pmatrix} -I & I & & 0 \\ & \cdot & & \\ & & \cdot & \\ & & & I \\ 0 & & & -I \end{pmatrix}, \quad D_-^s = h^{-1} \begin{pmatrix} I & & & 0 \\ -I & & & \\ & \cdot & \cdot & \\ & & \cdot & \\ 0 & & -I & I \end{pmatrix}$$

unde  $I$  este matricea unitate  $(m+2) \times (m+2)$  dimensională.

Vom nota  $A_M = D_+^t D_-^t + D_+^s D_-^s$ . Se poate arăta că  $A_M$  este constituită din blocuri de dimensiuni  $(m+2) \times (m+2)$  și că are forma

$$A_M = h^{-2} \begin{pmatrix} B_1 & I & & 0 \\ I & \cdot & & \\ \cdot & \cdot & \cdot & \\ \cdot & \cdot & \cdot & \cdot \\ \cdot & \cdot & \cdot & \cdot \\ \cdot & \cdot & \cdot & \cdot \\ \cdot & \cdot & \cdot & \cdot \\ \cdot & \cdot & \cdot & \cdot \\ \cdot & \cdot & \cdot & \cdot \\ \cdot & \cdot & \cdot & \cdot \\ 0 & & I & B_2 \end{pmatrix} \text{ unde } B_1 = \begin{pmatrix} -4 & 1 & & 0 \\ 1 & \cdot & \cdot & \\ \cdot & \cdot & \cdot & \\ \cdot & \cdot & \cdot & \\ \cdot & \cdot & \cdot & \\ \cdot & \cdot & \cdot & \\ \cdot & \cdot & \cdot & \\ \cdot & \cdot & \cdot & \\ \cdot & \cdot & \cdot & \\ \cdot & \cdot & \cdot & \\ 0 & & 1 & -3 \end{pmatrix},$$

$$B_2 = \begin{pmatrix} -3 & 1 & & 0 \\ \cdot & \cdot & \cdot & \\ \cdot & \cdot & \cdot & \\ \cdot & \cdot & \cdot & \\ \cdot & \cdot & \cdot & \\ \cdot & \cdot & \cdot & \\ \cdot & \cdot & \cdot & \\ \cdot & \cdot & \cdot & \\ \cdot & \cdot & \cdot & \\ \cdot & \cdot & \cdot & \\ 0 & & 1 & -2 \end{pmatrix}.$$

$B_1$  și  $B_2$  avînd dimensiunile  $(m+2) \times (m+2)$ . Restricția lui  $A_M$  la  $X_D$  coincide cu  $A$ .

Vom introduce acum pe spațiul  $X_D$  norma  $\|x\|_A^2 = -(Ax, x)_{1,m}$ . Ținînd cont că  $-A$  este simetrică și pozitiv definită ([40] sau [11]) se poate arăta că într-adevăr  $\|\cdot\|_A$  satisface condițiile unei norme (pentru inegalitatea  $\|x+y\|_A \leq \|x\|_A + \|y\|_A$  se utilizează inegalitatea lui Schwarz generalizată).

Să observăm că, deoarece  $D_+^t = -(D_-^t)^T$  și  $D_+^s = -(D_-^s)^T$ , avem pentru orice  $x \in X_D$ ,

$$\begin{aligned} \|x\|_A^2 &= - \langle Ax, x \rangle_{1,m} = - \langle A_M x, x \rangle_{0,m+1} = \\ &= \langle D_-^t x, D_-^t x \rangle_{0,m+1} + \langle D_-^s x, D_-^s x \rangle_{0,m+1}. \end{aligned}$$

**LEMA 1.2.** Dacă  $x \in X_D$  atunci  $2\sqrt{2} \|x\|_D \leq \|x\|_A$ .

**Demonstratie.** Fie  $k, \ell$  doi întregi astfel încît  $1 < k, \ell \leq m$ . Se poate verifica că

$$\begin{aligned} 2x_{k\ell} &= h \sum_{i=1}^k D_-^t x_i - h \sum_{i=k+1}^{m+1} D_-^t x_i = h \sum_{i=1}^{m+1} \xi_i D_-^t x_i, \\ 2x_{k\ell} &= h \sum_{j=1}^{\ell} D_-^s x_{kj} - h \sum_{j=\ell+1}^{m+1} D_-^s x_{kj} = h \sum_{j=1}^{m+1} \xi'_j D_-^s x_{kj}, \end{aligned}$$

$$\xi_i = \begin{cases} 1 & i \leq k \\ -1 & i > k \end{cases} \quad \xi'_j = \begin{cases} 1 & j \leq l \\ -1 & j > l \end{cases}$$

De aici rezultă

$$4x_{kl} = h \sum_{i=1}^{m+1} \xi_i D_{-x_i}^t + h \sum_{j=1}^{m+1} \xi'_j D_{-x_{kj}}^s.$$

Utilizînd inegalitatea lui Schwarz și faptul că  $\sum_{i=1}^{m+1} h = 1$ , se obține

$$\begin{aligned} |4x_{kl}| &\leq h \sum_{i=1}^{m+1} |D_{-x_i}^t| + h \sum_{j=1}^{m+1} |D_{-x_{kj}}^s| = \\ &= \sum_{i=1}^{m+1} h^{1/2} h^{1/2} |D_{-x_i}^t| + \sum_{j=1}^{m+1} h^{1/2} h^{1/2} |D_{-x_{kj}}^s| \leq \\ &\leq \left( \sum_{i=1}^{m+1} h \right)^{1/2} \left( h \sum_{i=1}^{m+1} |D_{-x_i}^t|^2 \right)^{1/2} + \left( \sum_{j=1}^{m+1} h \right)^{1/2} \left( h \sum_{j=1}^{m+1} |D_{-x_{kj}}^s|^2 \right)^{1/2} = \\ &= \left( h \sum_{i=1}^{m+1} |D_{-x_i}^t|^2 \right)^{1/2} + \left( h \sum_{i=1}^{m+1} |D_{-x_{kj}}^s|^2 \right)^{1/2} \leq \\ &\leq \left( h \sum_{i,j=0}^{m+1} |D_{-x_{ij}}^t|^2 \right)^{1/2} + \left( h \sum_{i,j=0}^{m+1} |D_{-x_{ij}}^s|^2 \right)^{1/2} = \\ &= \langle D_{-x}^t, D_{-x}^t \rangle^{1/2} + \langle D_{-x}^s, D_{-x}^s \rangle^{1/2}. \end{aligned}$$

Ținînd cont că pentru orice  $a, b$  pozitivi avem  $a^{1/2} + b^{1/2} \leq \sqrt{2}(a + b)^{1/2}$ , rezultă că

$$4|x_{kl}| \leq \sqrt{2} \left[ \langle D_{-x}^t, D_{-x}^t \rangle + \langle D_{-x}^s, D_{-x}^s \rangle \right]^{1/2} = \sqrt{2} \|x\|_{\Delta}$$

și lema este demonstrată.

### 1.3.3. ecuații cu diferențe finite standard. Să presupunem

că problema (1.12) are o soluție  $u$  de patru ori continuu diferențabilă pe  $\bar{D}$ . Atunci are loc ([11], teorema 20.8)

$$(1.17) \quad \Delta u(P) - u(P) = \frac{h^2}{12} \left[ u_{ttt}(\tau, s) + u_{sss}(\tau, \xi_s) \right],$$

unde  $\tau - h < \xi_t < \tau + h$ ,  $s - h < \xi_s < s + h$ . De aici rezultă că

$\Delta u \approx \Delta u$ , astfel încît în locul ecuației  $\Delta u = f(P, u)$  din pro-

494865  
3556

bleme (1.12) vom considera ecuația  $Au = f(P,u)$ . Vom determina o soluție a ei în  $X_D$ , rezultând astfel problema la limită discretă,

$$(1.18) \quad \begin{aligned} Ax &= f(P,x) \quad , \quad P \in \bar{d} \\ x|_{\Gamma} &= 0. \end{aligned}$$

Dacă notăm, ca și în cazul unidimensional,  $\bar{\Phi}x = (f[P_{11},x(P_{11})], \dots, f[P_{m1},x(P_{m1})], \dots, f[P_{1m},x(P_{1m})], \dots, f[P_{mm},x(P_{mm})])^T$  obținem următorul sistem de ecuații neliniare

$$(1.19) \quad Ax - \bar{\Phi}x = 0,$$

cu  $A$  dat de (1.16), sistem care constituie ecuațiile cu diferențe finite standard corespunzătoare problemei (1.12).

În continuare vom analiza existența și unicitatea unei soluții  $x^D$  a ecuațiilor (1.19) și convergența șirului  $\{x^D\}$  la soluția problemei (1.12), în analogie cu teoria lui M. Lees [27] pentru probleme la limită bilocală slab neliniară. Ipoteza fundamentală pe care o vom face este că  $f$  satisface condiția (1.14) considerată de J. Douglas [10] pentru studiul metodei direcțiilor alternate, condiție analogă cu (1.3) pentru cazul unidimensional.

Vom da în prealabil două leme pregătitoare.

**LEMA 1.3.** Presupunem că  $f$  satisface condiția (1.14) și fie  $h_0$  astfel încât

$$\eta < 2\pi^2 [1 - (h_0^2/12)\pi^2].$$

Dacă  $h < h_0$  și  $x, y \in X_D$  verifică relațiile

$$Ax = f(P,x) + q_1(P),$$

$$Ay = f(P,y) + q_2(P),$$

pentru orice  $P \in d$ , atunci  $\|x - y\|_d \leq k_0 \|q_1 - q_2\|_0$ , unde

$$k_0 = \frac{\sqrt{2} \pi}{2\pi^2 [1 - (h_0^2/12)\pi^2] - \eta}.$$



Demonstrația este întru totul analogă cu demonstrația lemei C din [27]. Singura deosebire care apare este aceea că cea mai mică valoare proprie a matricii A dată de (1.16) este  $\lambda_1 = 8h^{-2} \sin^2(\pi h/2)$  ([11] sau [10]) în loc de  $\lambda_1 = 4h^{-2} \sin^2(\pi h/2)$  și prin urmare limitele lui  $\lambda_1$  sînt

$$2\pi^2[1 - (h^2/12)\pi^2] \leq \lambda_1 \leq 2\pi^2.$$

Din această leaă rezultă imediat următorul corolar :

**COROLAR.** Dacă f satisface (1.14), problema discretă (1.18) are soluție unică.

**LEMA 1.4.** Dacă f satisface condiția (1.14) și x este o soluție a ecuației (1.18) atunci

$$(1.20) \quad \|x\|_d \leq (2\sqrt{2})^{-2} \|x\|_A \leq (2\sqrt{2})^{-1} k_0 \|f_0\|_0,$$

unde  $f_0 = f(P, 0)$ .

**Demonstrație.** Prima inegalitate rezultă direct din lema 1.2. Pentru demonstrarea celei de a doua inegalități, aplicăm lema 1.3 în care  $q_1(P) = 0$  și luăm  $y = 0$ . În acest caz  $q_2(P) = -f(P, 0) = -f_0$  astfel încît  $\|x\|_A \leq k_0 \|f_0\|_0$ .

**TEOREMA 1.5.** Dacă f satisface condiția (1.14) atunci ecuațiile cu diferențe finite (1.18) sau, echivalent, (1.19) au o soluție unică  $x^D \in X_D$ .

**Demonstrație.** Să notăm

$$V(P, u) = \int_0^1 f_u[P, \xi u(\xi)] d\xi.$$

Pentru fiecare  $x \in X_D$  considerăm următoarea problemă la limită discretă

$$(1.21) \quad \Delta y = V(P, x)y + f_0(P), \quad P \in d$$

$$y|_{\xi} = 0.$$

Vom arăta că (1.21) are o soluție unică. În acest scop considerăm următoarele probleme discrete cu valori inițiale

$$Ay_1 = \sqrt{(P,x)}y_1 + f_0(P),$$

$$y_1(t,0) = 0 \quad , \quad y_1(0,s) = 0 \quad ,$$

$$y_1(t,h) = 0 \quad , \quad y_1(1,s) = 0 \quad ,$$

$$Ay_{1k} = \sqrt{(P,x)}y_{1k} \quad , \quad k = 1, \dots, m \quad ,$$

$$y_{1k}(t,0) = 0 \quad , \quad y_{1k}(0,s) = 0$$

$$y_{1k}(t,h) = \alpha_{kj} \quad , \quad y_{1k}(1,s) = 0$$

unde  $\alpha_{kj} = 1$  pentru  $k = j$  și  $\alpha_{kj} = 0$  pentru  $k \neq j$ . Este clar că aceste probleme au soluții unice care se pot determina printr-un proces de calcul recursiv. Fie  $y_1$  și respectiv  $y_{1k}$  soluțiile acestor probleme și fie

$$(1.22) \quad z(t,s) = y_1(t,s) - \sum_{k=1}^m c_k y_{1k}(t,s) \quad , \quad (t,s) \in \bar{d}.$$

Să observăm că  $z$  satisface (1.21) (fără condiția  $z|_{\Gamma} = 0$ ) și că  $z(0,s) = 0$ ,  $z(1,s) = 0$ ,  $z(t,0) = 0$ . Vom determina acum constantele  $c_k$  astfel încât  $z(t,1) = 0$  și atunci  $z|_{\Gamma} = 0$ , adică  $z$  va fi o soluție a problemei (1.21). Din 1.22 și din condiția  $z(t,1) = 0$ , rezultă pentru  $c_k$  următorul sistem linear

$$c_1 y_{11}(t_1,1) + \dots + c_m y_{1m}(t_1,1) = y_1(t_1,1),$$

$$\dots \dots \dots$$

$$c_1 y_{11}(t_m,1) + \dots + c_m y_{1m}(t_m,1) = y_1(t_m,1).$$

Determinantul acestui sistem este diferit de zero. Într-adevăr dacă acest determinant ar fi zero, atunci ar exista constantele  $c_1^0, \dots, c_m^0$ , nu toate nule, astfel încât

$$c_1^0 y_{11}(t,1) + \dots + c_m^0 y_{1m}(t,1) = 0.$$

Fie atunci  $z_1 = c_1^0 y_{11} + \dots + c_m^0 y_{1m}$ ; este clar că  $z_1$  verifică problema la limită

$$Az_1 = \sqrt{(P,x)}z_1$$

$$z_1|_{\Gamma} = 0.$$

Pe de altă parte, dacă  $c_k^0 \neq 0$ , atunci  $z_1(t_k,h) = c_k^0 \neq 0$  și

această problemă nu mai admite soluție unică, în contradicție cu corolarul lemei 1.3.

Prin urmare, problema (1.21) admite soluția (1.22) cu constantele  $c_k$  determinate de (1.23) și conform corolarului enunțat, această soluție este unică.

Fie acum  $r = (2\sqrt{2})^{-1} k_0 \|f'_0\|_0$  și  $S = \{x \mid \|x\|_d \leq r\} \subset X_0$ . Definim operatorul  $T: S \rightarrow X_0$  prin  $Tx = y$  unde  $y$  este soluția problemei (1.21). Conform lemei 1.4  $\|Ty\|_d = \|y\|_d \leq r$  și deci  $T$  aplică sfera  $S$  în ea însăși.

Să arătăm că  $T$  este un operator continuu. Fie  $x_1, x_2 \in S$  și  $y_1, y_2$  valorile corespunzătoare ale lui  $T$ , deci

$$Ay_1 = \nabla(P, x_1)y_1 + f_0(P),$$

$$Ay_2 = \nabla(P, x_2)y_2 + f_0(P).$$

Dacă notăm  $y = y_1 - y_2$  și  $H = \nabla(P, x_1) - \nabla(P, x_2)$ , obținem

$$\begin{aligned} Ay &= \nabla(P, x_1)y_1 - \nabla(P, x_2)y_2 = \\ &= \nabla(P, x_1)y + Hy_2. \end{aligned}$$

De aici rezultă

$$(Ay, y) = (\nabla(P, x_1)y, y) + (Hy_2, y)$$

sau

$$\|y\|_d^2 = (\nabla(P, x_1)y, y) + (Hy_2, y).$$

Cum  $-\nabla(P, x_1) \leq \eta$  și  $\|y\|_0 \leq \lambda_1^{-\frac{1}{2}} \|y\|_d$  obținem

$$\begin{aligned} \|y\|_d^2 &\leq \eta \|y\|_0^2 + \|H\|_d \|y_2\|_0 \|y\|_0 \leq \\ &\leq \frac{\eta}{\lambda_1} \|y\|_d^2 + \frac{1}{\sqrt{\lambda_1}} \|H\|_d \|y_2\|_0 \|y\|_d. \end{aligned}$$

Așa dar

$$\|y\|_d \leq \frac{\|H\|_d \|y_2\|_0}{\sqrt{\lambda_1} (1 - \frac{\eta}{\lambda_1})} \leq k_0 \|H\|_d \|y_2\|_0$$

și prin urmare, ținând cont de leme 1.2 și de (1.15) rezultă

$$\|y\|_d \leq (2\sqrt{2})^{-1} \|y\|_d \leq (2\sqrt{2})^{-1} k_0 \|H\|_d \|y_2\|_0 \leq (2\sqrt{2})^{-1} h^{-1/2} k_0 r \|H\|_d$$

Fie acum  $\varepsilon > 0$  arbitrar; întrucît  $f_u$  este continuă, există  $\delta > 0$  astfel încît, dacă  $\|x_1 - x_2\| \leq \delta$  atunci

$$\|f_u(P, \xi x_1) - f_u(P, \xi x_2)\|_d \leq 2\sqrt{2} \varepsilon h^{1/2} (k_0 r)^{-1},$$

pentru orice  $\xi \in [0, 1]$ . Prin urmare  $\|H\|_d \leq 2\sqrt{2} \varepsilon h^{1/2} (k_0 r)^{-1}$  și  $\|y\|_d \leq \varepsilon$ , adică  $F$  este un operator continuu pe  $S$  cu valori în  $S$ . Conform teoremei lui Browder  $F$  are un punct fix  $x^D \in S$ .

Pe de altă parte  $x^D$  este o soluție a lui (1.18) întrucît  $\nabla(P, x^D)x^D + f_0 = f(P, x^D)$  și ținînd cont de corolarul lemei (1.3),  $x^D$  este unică. Teorema este deci demonstrată.

**TEOREMA 1.6.** Dacă  $f$  satisface condiția (1.14),  $x^D$  este soluția ecuațiilor cu diferențe (1.19) iar  $u$  este o soluție a problemei (1.12), atunci

$$\|x^D - u\|_d \leq (2\sqrt{2})^{-1} \|x^D - u\|_d \leq \frac{h^2}{24\sqrt{2}} k_0 \|M_4\|_0.$$

unde  $M_4 = u_{t_4}(\xi_{t_4}, s) + u_{s_4}(t, \xi_{s_4}), t-h < \xi_t < t+h, s-h < \xi_s < s+h$ .

Demonstrație. Este suficient să demonstrăm inegalitatea a doua.

Ținînd cont de (1.17), avem

$$\Delta u = \Delta u + \frac{h^2}{12} M_4 = f(P, u) + \frac{h^2}{12} M_4.$$

Cum  $\Delta x^D = f(P, x^D)$ , inegalitatea cerută rezultă imediat din lema 1.3 în care  $q_1 = (h^2/12)M_4$  iar  $q_2 = 0$ .

## CAPITOLUL 2.

### CONVERGENȚA LOCALĂ A UNOR METODE DE ITERATIVE

În acest capitol se studiază convergența locală a unor metode iterative pentru ecuații neliniare în spații finit dimensionale sau în spații Hilbert reale. S-au considerat ecuații de formă (1.4) care provin din discretizarea unor ecuații diferențiale neliniare (probleme cu condiții la limită) sau de formă mai generală (1.11). Astfel, se generalizează [51] o metodă iterativă directă clasică [5] pentru ecuații de formă (1.11), se studiază [57] o variantă a metodei direcțiilor alternate pentru cazul nelinier considerată de Kellog [23] și se generalizează [52] o metodă de tip gradient considerată de Altman [1], [2]. În cazuri particulare se obțin unele metode iterative cunoscute, în general cu condiții de convergență mai slabe, ceea ce corespunde cu faptul că condițiile considerate asigură numai o convergență locală.

Menționăm că probleme rezolvării numerice a ecuațiilor care provin din discretizarea unor ecuații diferențiale neliniare, în mod special a ecuațiilor cu diferențe corespunzătoare problemelor la limită de tip eliptic clasice neliniare a fost considerată de numeroși autori. Astfel, Bata [6], Ortega și Rockoff [39] iar mai recent Gergei [14] au considerat metoda Gauss - Seidel neliniară (metoda SOR - Successive Over Relaxation - cu parametru de relaxare 1). Douglas [10] și Guss [15] au studiat metoda direcțiilor alternate a lui Peaceman - Rachford [44] pentru ecuații eliptice neliniare iar Scorobogotko și Jenușev [61] au considerat o metodă specială de aproximații succesive.

#### 2.1. INTRODUCERE

În acest paragraf introductiv vom prezenta unele leme simple de analiză pe spații Banach și două teoreme de convergență locală.

De asemenea vom preciza noțiunea de operator monoton și vom prezenta teorema de surjectivitate a lui Minty.

2.1.1. Lema preliminară. Fie  $B$  un spațiu Banach real,  $L(B)$  spațiul Banach al operatorilor liniari și mărginiți de la  $B$  în  $B$  și  $A$  un operator (neliniar) definit pe  $B$  cu valori în  $L(B)$ .

LEMA 2.1. Presupunem că  $A$  este diferentiabil Fréchet în  $x^0 \in B$  și fie  $y$  un element arbitrar din  $B$ . Atunci operatorul  $T : B \rightarrow B$  definit de  $Tx = A(x)y$  este diferentiabil Fréchet în  $x^0$ .

Demonstrație. Rezultă imediat din diferentiabilitatea Fréchet a operatorului  $A$  în  $x^0$  și din faptul că operatorul  $A_1 : B \rightarrow B$  definit de  $A_1 h = A'(x^0)hy$  este liniar.

În continuare vom nota derivata Fréchet a operatorului  $T$  în punctul  $x^0$  cu  $[A(x)y]'_{x^0}$ , deci

$$T'(x^0)h = [A(x)y]'_{x^0} h = A'(x^0)hy.$$

LEMA 2.2. Dacă operatorii  $A : B \rightarrow L(B)$  și  $F : B \rightarrow B$  sunt diferentiabili Fréchet în  $x^0$ , atunci operatorul  $T : B \rightarrow B$  definit de  $Tx = A(x)Fx$  este de asemenea diferentiabil Fréchet în  $x^0$  și

$$(2.1) \quad T'(x^0) = [A(x)Fx^0]'_{x^0} + Ax^0 F'(x^0).$$

Demonstrație. Deoarece operatorii  $A, F$  și  $A(\cdot)Fx^0$  sunt diferentiabili Fréchet în  $x^0$ , avem

$$\begin{aligned} \| Fx - Fx^0 - F'(x^0)(x - x^0) \| &\leq \varepsilon \| x - x^0 \|, \\ \| A(x) - A(x^0) - A'(x^0)(x - x^0) \| &\leq \varepsilon \| x - x^0 \| \\ \| A(x)Fx^0 - A(x^0)Fx^0 - [A(x)Fx^0]'_{x^0}(x - x^0) \| &\leq \varepsilon \| x - x^0 \|, \end{aligned}$$

unde  $\varepsilon$  este un număr pozitiv dat iar  $x$  aparține unei sfere centrată în  $x^0$ . Din primele două relații rezultă

$$\begin{aligned} \| Fx - Fx^0 \| &\leq (\varepsilon + \| F'(x^0) \|) \| x - x^0 \|, \\ \| A(x) - A(x^0) \| &\leq (\varepsilon + \| A'(x^0) \|) \| x - x^0 \| . \end{aligned}$$

Printr-un calcul simplu se obține

$$\|Tx - Tx^0 - T'(x^0)(x - x^0)\| \leq [\varepsilon + \varepsilon\|A(x^0)\| + (\varepsilon + \|F'(x^0)\|)(\varepsilon + \|A'(x^0)\|)\|x - x^0\|]\|x - x^0\|,$$

unde  $T'(x^0)$  este dat de (2.1).

Observație. Formula (2.1) generalizează formula binecunoscută de derivare a unui produs.

2.1.2. Convergență locală. Dacă  $x^0 \in B$  și  $r$  este un număr real pozitiv, vom nota cu  $\mathcal{A}(x^0, r)$  discul deschis centrat în  $x^0$  și de rază  $r$ ,  $\mathcal{B}(x^0, r) = \{x \in B, \|x - x^0\| < r\}$ ; prin  $\bar{\mathcal{B}}(x^0, r)$  notăm discul închis de aceeași centru în  $x^0$  și de rază  $r$ . Fie  $D \subset B$  o mulțime deschisă și  $T: D \subset B \rightarrow B$  un operator nelinier. Vom considera în continuare șirul  $\{x^k\} \subset B$  definit de procesul iterativ

$$(2.2) \quad x^{k+1} = Tx^k.$$

DEFINIȚIA 2.1. Vom spune că  $x^*$   $\in D$  este un punct de atracție pentru iterația (2.2) dacă există un disc  $\mathcal{B}(x^*, r) \subset D$  astfel încât pentru orice  $x^0 \in \mathcal{B}(x^*, r)$  șirul  $\{x^k\}$  generat de (2.2) să aparțină lui  $D$  și  $x^k \rightarrow x^*$ ,  $k \rightarrow \infty$ .

Dacă  $x^*$  este un punct de atracție pentru iterația (2.2) vom spune că șirul  $\{x^k\}$  converge local la  $x^*$  sau că metoda asigură o convergență locală. În aplicații concrete, convergența unui șir generat de o metodă local convergentă se asigură prin alegerea convenabilă a iterației inițiale.

Vom nota cu  $\rho_r(x^k), R_r(x^k), \rho$  și respectiv  $R$  - factorii de convergență corespunzători șirului  $\{x^k\}$  [40]. Dacă  $A \in L(B)$  vom nota cu  $f(A)$  raza spectrală a operatorului  $A$ . Următoarea teoremă dată de Ostrowski [41] constituie o condiție suficientă de convergență locală:

TEOREMA 2.1. Fie  $T: D \subset B \rightarrow B$  un operator nelinier și  $x^* \in D$  un punct fix al lui  $T$ . Presupunem că  $T$  este diferenția-

bil Fréchet în  $x^{\#}$  și că  $\rho[T'(x^{\#})] = \nu < 1$ . Atunci  $x^{\#}$  este punct de atracție pentru iterația (2.2) și  $R_{\nu}\{x^k\} \subseteq Q_{\nu}\{x^k\} \subseteq \nu$ .

Condiția  $\nu < 1$ , greu de verificat în cazuri concrete, se poate înlocui cu condiția  $\|T'(x^{\#})\| < 1$ , ținând cont că pentru orice normă  $\rho[T'(x^{\#})] \leq \|T'(x^{\#})\|$ . În cazul unui spațiu banach finit dimensional, dacă  $\nu > 0$  atunci convergența este liniară mai exact,  $q$  și  $r$ -ordinea de convergență sînt unu).

### 2.1.3. Operatori cuasi-neexpansivi

DEFINIȚIA 2.2. Vom spune că operatorul  $T : D \subset X \rightarrow X$  este cuasi-neexpansiv pe  $D$  în raport cu  $x^{\#} \in D$  dacă

$$(2.3) \quad \|Tx - x^{\#}\| < \|x - x^{\#}\|, \quad \forall x \in D.$$

De obicei  $T$  se consideră cuasi-neexpansiv în raport cu mulțimea punctelor fixe ale lui  $T$  în  $D$ ; de asemenea în (2.3) inegalitatea strictă este uneori înlocuită cu semnul  $\leq$ . În continuare vom considera proprietatea de cuasi-neexpansivitate în raport cu un element  $x^{\#} \in D$  (în general punct fix al lui  $T$ ) și nu vom mai menționa punctul relativ la care  $T$  este cuasi-neexpansiv.

Că observăm că dacă  $x^{\#}$  este punctul fix al lui  $T$  și (2.3) are loc, atunci  $x^{\#}$  este punct fix unic pentru  $T$  în  $D$ .

În cazul unui spațiu de dimensiune finită  $\mathbb{R}^n$  are loc următoarea proprietate de convergență locală pentru operatori cuasi-neexpansivi :

LEMA 2.3. Fie  $D$  o mulțime deschisă din  $\mathbb{R}^n$ ,  $x^{\#} \in D$  și fie  $T : D - \{x^{\#}\} \rightarrow \mathbb{R}^n$  un operator continuu pe  $D - \{x^{\#}\}$ . Presupunem că  $T$  este cuasi-neexpansiv pe  $S = \overline{B}(x^{\#}, r) - \{x^{\#}\}$ , unde  $\overline{B}(x^{\#}, r) \subset D$ . Atunci  $x^k = T^k x^0 \rightarrow x^{\#}$ ,  $k \rightarrow \infty$ ,  $\forall x^0 \in S$ .

Demonstrație. Ținând cont de (2.3) rezultă  $\|x^{k+1} - x^{\#}\| < \|x^k - x^{\#}\|$ ,  $\forall k \in \mathbb{N}$ , astfel încît șirul  $\{x^k\}$  rămîne în  $S$  și  $\|x^k - x^{\#}\| \rightarrow 0$ ,  $k \rightarrow \infty$ . Să presupunem că  $a > 0$ . Fie atunci  $\{x^{k_j}\}$



un subșir convergent al lui  $x^k$ ,  $x^{k_j} \rightarrow y^x$ ,  $k_j \rightarrow \infty$ . Presupunem  $y^x \neq x^x$ . Evident  $\|y^x - x^x\| = \epsilon$  și din continuitatea lui  $T$  rezultă

$$\lim x^{k_j+1} = \lim Tx^{k_j} = Ty^x.$$

Dacă

$$\epsilon = \lim \|x^{k_j+1} - x^x\| = \|Ty^x - x^x\| < \|y^x - x^x\| = \epsilon$$

ceea ce este o contradicție. Pentru  $y^x = x^x$  avem

$$\lim \|x^{k_j} - x^x\| = 0$$

și prin urmare

$$\lim \|x^k - x^x\| = 0.$$

Lemma este demonstrată.

Această leamnă constituie o generalizare a unui rezultat al lui Tricomi [65] relativ la convergența locală a iterației  $x^{k+1} = f(x^k)$ ,  $f$  fiind o funcție reală definită pe un interval  $(a, b)$ . Este o formă puțin modificată lemma 2.3 apare în [45] și este utilizată pentru demonstrarea convergenței unor șiruri de aproximații succesive în spații metrice. În sfera condiției de cvasi-concursivitate [considerată în raport cu mulțimea punctelor fixe  $F(T)$ ] se mai impune și condiția ca să existe un subșir  $\{x^{k_j}\}$  al lui  $\{x^k\}$  astfel încât  $d[x^{k_j}, F(T)] \rightarrow 0$ ,  $k_j \rightarrow \infty$  unde prin  $d[x^{k_j}, F(T)]$  se înțelege distanța de la punctul  $x^{k_j}$  la mulțimea  $F(T)$ . Menționăm că condiția ca  $T$  să fie continuu pe  $D$  se poate înlocui cu condiția mai slabă ca  $F(T)$  să fie o mulțime închisă [10].

Proprietatea de cvasi-concursivitate a fost utilizată în mai multe lucrări [45], [9], [31], pentru studiul convergenței unor metode iterative. De exemplu în [31] se arată că funcțiile de iterație din metoda lui Newton și din metoda gradientului, sînt cvasi-concursive, convergența acestor metode rezultînd pe această bază. În cazul funcțiilor reale, Stepleman [63] a arătat că condiția ne-

oasă și suficientă ca șirul  $\{x^k\}$  generat de  $x^{k+1} = f(x^k)$  să fie convergent este ca  $f^2$  să fie ovasi-contractivă pe un anumit interval  $(x^m - \varepsilon, x^m + \varepsilon)$ .

2.1.4. Operatori monotoni. Fie  $H$  un spațiu Hilbert real (produs scolar  $\langle \cdot, \cdot \rangle$  și normă  $\| \cdot \|$ ) și fie  $T : H \rightarrow H$  un operator nelinier.

DEFINIȚIA 2.3. Vom spune că operatorul  $T$  este strict monotonic pe  $H$  dacă există o constantă  $c > 0$  astfel încât:

$$(2.4) \quad \langle Ty - Tx, y - x \rangle \geq c \|y - x\|^2, \quad \forall x, y \in H.$$

Dacă  $c = 0$   $T$  se numește monotonic.

Dacă  $T$  este diferențiablel Fréchet în  $x \in H$  și  $T'(x)$  este pozitiv definit atunci  $T$  este strict monotonic pe o anumită sferă centrată în  $x$ .

Relativ la operatorii monotoni, menționăm următoarea teoremă de surjectivitate a lui Minty [34] pe care o vom utiliza în continuare la analiza convergenței unei variante a metodei ADI pentru cazul nelinier :

TEOREMA 2.2. Dacă  $T$  este continuu și strict monotonic pe  $H$  atunci  $T$  este surjectiv.

Noțiunea de monotonicie în sensul definiției 2.3. a fost introdusă de Minty [34] în cadrul mai general al spațiilor Hilbert complexe (produsul scolar din stînga relației (2.4) se înlocuiește în cazul spațiilor complexe, cu partea reală). Teorema 2.2 reprezintă unul din rezultatele de bază din teoria operatorilor monotoni. Menționăm că teoria operatorilor monotoni joacă un rol decisiv în studiul ecuațiilor neliniare, atât în ce privește existența soluțiilor ecuațiilor cât și convergența unor metode iterative [7], [66], [60] .

## 2.2. METODA ITERATIILOR SIMPLE PENTRU ECUAȚII DE FORMA

$$A(x)x - \Phi x = 0.$$

În acest paragraf se studiază convergența locală a unei variante a metodei iteratiilor simple pentru ecuații cu diferențe finite corespunzătoare problemelor la limită olocale neliniare. Ca aplicație se conține o metodă iterativă pentru ecuațiile cu diferențe corespunzătoare unei probleme la limită olocală slab neliniară, în care numărul de iterații nu depinde de numărul de puncte al diviziunii intervalului.

2.2.1. Algoritmul de calcul și analiza convergenței. În [5] este studiată metoda iteratiilor simple  $Ax^{k+1} = x^k$  pentru rezolvarea numerică a ecuațiilor cu diferențe de formă (1.4) corespunzătoare unei probleme la limită bilocală slab neliniară de formă (1.2). Această metodă generează un șir convergent  $\{x^k\}$  dacă funcția  $f$  este Lipschitz - continuă și dacă constanta Lipschitz  $L$  satisface relația  $L < 8$ . Să observăm că fiecare pas de iterație comportă rezolvarea unui sistem liniar cu matrice  $A$  și cu coloane termenilor liberi  $\Phi x^k$ , ceea ce reprezintă un volum substanțial de calcule. În cazuri particulare, de exemplu dacă  $A$  este inversă pentru orice  $x \in \mathbb{R}^n$ , diagonală sau bloc diagonală, se pot utiliza algoritmi speciali de stocare în memoria internă și de prelucrare [48], [25] și volumul de calcul devine rezonabil.

Fie  $B$  un spațiu Banach,  $A : B \rightarrow L(B)$  și  $\Phi : B \rightarrow B$ , operatori neliniari. Vom considera ecuația

$$(2.5) \quad A(x)x - \Phi x = 0$$

și următoarea metodă iterativă [49], [51]

$$(2.6) \quad A(x^k)x^{k+1} = \Phi x^k, \quad x^0 \text{ arbitrar,}$$

pe care o vom numi metoda iteratiilor simple. Să observăm că această metodă generalizează metodele clasice și că comportă de

esenței rezolvarea unei ecuații liniare la fiecare pas.

**TEOREMA 2.3.** Presupunem că operatorii  $\Lambda$  și  $\bar{\Phi}$  sînt Lipschitz continuu pe  $B$  (fie  $L_\Lambda$  și respectiv  $L_{\bar{\Phi}}$  constantele Lipschitz) și că operatorul  $\Lambda(x)$  are invers mărginit pentru orice  $x \in B$ . Presupunem de asemenea că  $\|\Lambda(x)^{-1}\| \leq \alpha$ ,  $\|\bar{\Phi}x\| \leq \beta$ ,  $\forall x \in B$  și că constantele  $L_\Lambda, L_{\bar{\Phi}}, \alpha, \beta$  satisfac relația

$$(2.7) \quad \alpha L_{\bar{\Phi}} + \alpha^2 \beta L_\Lambda < 1.$$

Atunci ecuația (2.5) are o soluție unică  $x^* \in B$  iar iterația (2.6) generează un șir  $\{x^k\}$  convergent la  $x^*$ .

Demonstrație. Fie  $T : B \rightarrow B$  definit de  $Tx = \Lambda(x)^{-1} \bar{\Phi}x$ . Evident,  $T$  este definit pentru orice  $x \in B$  iar iterația (2.6) este identică cu  $x^{k+1} = Tx^k$ . Avem

$$\begin{aligned} \|Tx - Ty\| &\leq \|\Lambda(x)^{-1} \bar{\Phi}x - \Lambda(x)^{-1} \bar{\Phi}y\| + \|\Lambda(x)^{-1} \bar{\Phi}y - \Lambda(y)^{-1} \bar{\Phi}y\| \leq \\ &\leq \|\Lambda(x)^{-1}\| \|\bar{\Phi}x - \bar{\Phi}y\| + \|\bar{\Phi}y\| \|\Lambda(x)^{-1} - \Lambda(y)^{-1}\| \leq \\ &\leq \alpha L_{\bar{\Phi}} \|x - y\| + \beta \|\Lambda(x)^{-1}\| \|\Lambda(x) - \Lambda(y)\| \|\Lambda(y)^{-1}\| \leq \\ &\leq (\alpha L_{\bar{\Phi}} + \alpha^2 \beta L_\Lambda) \|x - y\|. \end{aligned}$$

Prin urmare  $T$  este o contracție și teorema rezultă din principiul contracției.

**OBSERVAȚIA.** În rezultat similar se poate obține și dacă condițiile din teoremă au loc numai pe o anumită mulțime  $D$  din  $B$ . În acest caz este necesar să se impună anumite condiții suplimentare, de exemplu ca  $T(D)$  să fie inclusă în  $D$  sau ca ecuația (2.5) să aibă o soluție.

Teorema care urmează este în esență o variantă a teoremei 2.3.

**TEOREMA 2.4.** Presupunem că operatorii  $\Lambda$  și  $\bar{\Phi}$  sînt diferentiabili Fréchet pe  $B$  și că  $\Lambda(x)$  are invers mărginit pentru orice  $x \in B$ . Dacă în plus  $\|\Lambda(x)^{-1}\| \leq \alpha$  și

$$(2.8) \quad \|[A(z)^{-1} \bar{\Phi}x]'_x + \Lambda(x)^{-1} \bar{\Phi}'x\| \leq \beta < 1, \quad \forall x \in B.$$

atunci ecuația (2.5) are o soluție unică  $x^* \in B$  iar iteratiile (2.6) generează un sir  $\{x^k\}$  convergent la  $x^*$ .

Demonstrație. Vom aplica formula (2.1) pentru a calcula derivatele operatorului  $T$  definit ca mai sus.

Să notăm cu  $A^{-1}$  operatorul definit de  $A^{-1}x = A(x)^{-1}$  și să arătăm că  $A^{-1}$  este diferențiablel Fréchet pe  $B$ . Fie  $K : B \rightarrow L(B)$  un operator definit pentru orice  $x^0 \in B$  de  $Kh = A(x^0)^{-1} A'(x^0)h A(x^0)^{-1}$ . Se vede că operatorul  $K$  este liniar și mărginit. Avem

$$\begin{aligned} & \| A^{-1}x - A^{-1}x^0 - K(x - x^0) \| \leq \\ & \leq \| A(x)^{-1} - A(x^0)^{-1} + A(x)^{-1}A'(x^0)(x - x^0)A(x^0)^{-1} \| + \\ & + \| [A(x)^{-1} - A(x^0)^{-1}]A'(x^0)(x - x^0)A(x^0)^{-1} \| \leq \\ & \leq \| A(x)^{-1} [A(x) - A(x^0) - A'(x^0)(x - x^0)] A(x^0)^{-1} \| + \\ & + \| A(x)^{-1} - A(x^0)^{-1} \| \| A'(x^0) \| \| x - x^0 \| \| A(x^0)^{-1} \| \leq \\ & \leq (\alpha^2 \varepsilon + \alpha \| A'(x^0) \| \| A(x)^{-1} - A(x^0)^{-1} \|) \| x - x^0 \| . \end{aligned}$$

Deoarece  $A(x)^{-1} \rightarrow A(x^0)^{-1}$  dacă  $x \rightarrow x^0$  rezultă că operatorul  $K$  este derivata Fréchet a lui  $A^{-1}$ .

Acum conform formulei de derivare (2.1) rezultă

$$T'(x) = [A(x)^{-1} \Phi x]_x' + A(x)^{-1} \Phi'(x)$$

sau fel înalt  $\| T'(x) \| \leq \beta < 1$ ,  $\forall x \in B$  și ținând cont de formula de medie, avem

$$\| T y - T x \| \leq \sup_{z \in [0,1]} \| T'(x + z(y-x)) \| \| y - x \| \leq \beta \| y - x \|^2$$

$T$  este o contracție și teorema 2.4 rezultă din principiul contracției.

**OBSERVAȚIE.** Teorema 2.4 nu este un corolar al teoremei 2.3.

De exemplu, dacă  $B = \mathbb{R}$  iar  $A(x) = 2$ ,  $\Phi x = x$  atunci toate condițiile teoremei 2.4 sînt îndeplinite dar  $\Phi$  nu este o funcție mărginită. De asemenea, condiția (2.8) nu implică mărginirea deri-

vetelor Fréchet a operatorilor  $A$  și  $\Phi$  din care să rezulte continuitatea Lipschitz a acestora.

**2.2.2. Aplicație la rezolvarea ecuațiilor cu diferențe corespunzătoare problemelor la limită bileceale quasilineare.** Considerăm probleme la limită (1.10) și ecuațiile cu diferențe corespunzătoare (1.14). Vom scrie aceste ecuații sub o formă puțin modificată și anume vom pune  $A(x) = A_1 + h^2 A_2(x)$ , unde  $A_1 = -h^2 A$  și  $A_2(x) = \text{diag}[a(x_1), \dots, a(x_n)]$ ,  $A$  fiind matricea (1.1). De asemenea vom nota  $\Phi x = h^2 [f(t_1, x_1), \dots, f(t_n, x_n)]^T$ . Obținem astfel o ecuație neliniară de formă (2.5) pe un spațiu finit dimensional pentru rezolvarea căreia vom aplica iterația (2.6). Vom utiliza în  $\mathbb{R}^n$  norma  $\| \cdot \|$  definită de  $\|x\| = \max_{i=1, \dots, n} |x_i|$ , unde  $x_i$  sînt componentele lui  $x$  iar în spațiul  $L(\mathbb{R}^n)$  norma operatorială corespunzătoare. Vom face ipoteze că funcțiile  $a$  și  $f$  satisfac următoarele condiții :

$$(2.9) \quad \begin{aligned} |a(u)| &\leq M_a, \quad \forall u \in \mathbb{R}, \\ |a(u) - a(v)| &\leq L_a |u - v|, \quad \forall u, v \in \mathbb{R}, \\ |f(t, u)| &\leq M_f, \quad \forall t, u \in \mathbb{R}, \\ |f(t, u) - f(t, v)| &\leq L_f |u - v|, \quad \forall t, u, v \in \mathbb{R}. \end{aligned}$$

și vom presupune că constantele  $M_a, L_a, M_f, L_f$  satisfac relațiile

$$(2.10) \quad \begin{aligned} M_a &< 8, \\ \frac{L_f}{8 - M_a} + \frac{L_a M_f}{(8 - M_a)^2} &< 1. \end{aligned}$$

În aceste ipoteze vom arăta că toate condițiile teoremei 2.3 sînt satisfăcute.

Pentru simplitate vom presupune că  $n$  este un număr par. Dacă notăm cu  $a_{ij}^{-1}$  elementul  $(i, j)$  al matricii  $A_1^{-1}$ , atunci [48],

$$[24] \quad a_{ij}^{-1} = \begin{cases} \frac{i(n-i+1)}{n+1}, & i \leq j \\ \frac{j(n-i+1)}{n+1}, & i \geq j \end{cases}$$

Suma  $S_1$  a elementelor matricii  $A_1^{-1}$  de pe linia  $i$  este

$$S_1 = \sum_{j=1}^B a_{1j}^{-1} = \frac{i(n+1-i)}{2}.$$

Maximul lui  $S_1$  se obține pentru  $i = n + 1/2$ , astfel încît

$$\|A_1^{-1}\| = \max_i S_1 = \frac{(n+1)^2}{8}.$$

Pe de altă parte, norma matricii  $h^2 A_2(x)$  este mărginită de  $h^2 M_B$  și prin urmare dacă  $M_B < B$  atunci matricea  $A(x) = A_1 + h^2 A_2(x)$  este inversabilă și  $\|A(x)^{-1}\| \leq (n+1)^2 / (B - M_B)$ . Deci constanta  $\alpha$  din teorema 2.3 este  $\alpha = (n+1)^2 / (B - M_B)$ .

Acum ținînd cont de (2.9) avem

$$\|A(x) - A(y)\| = h^2 \max_i |s(x_i) - s(y_i)| \leq h^2 L_B \|x - y\|,$$

$$\|\bar{\phi}x - \bar{\phi}y\| = h^2 \max_i |f(t_i, x_i) - f(t_i, y_i)| \leq h^2 L_f \|x - y\|,$$

$$\|\bar{\phi}x\| = h^2 \max_i |f(t_i, x_i)| \leq h^2 M_f.$$

Prin urmare, celelalte constante din teorema 2.3 sînt  $L_A = h^2 L_B$ ,  $L_{\bar{\phi}} = h^2 L_f$ ,  $\beta = h^2 M_f$ . Inegalitatea (2.7) se reduce la (2.10). În acest mod, toate condițiile teoremei 2.3 sînt satisfăcute, ecuația (1.10) are soluția unică  $x^*$  iar șirul  $\{x^k\}$  generat de (2.6) converge la  $x^*$ .

**CAZ PARTICULAR.** Dacă  $s(u) = 0$  pentru orice  $u \in \mathbb{R}$ , atunci  $M_B = L_B = 0$  iar (2.10) se reduce la condiția cunoscută  $L_f < B$  [5].

**OBSERVAȚII.** 1. Se vede ușor că condiția (2.10) este independentă de  $n$ . Aceasta înseamnă că numărul de iterații depinde numai de precizia cu care dorim să obținem soluția  $x^*$ . În conformitate cu testele numerice efectuate (se vede paragraful 3.1), numărul de iterații se încadrează în limitele evaluate după relația (2.10), rămînd constant cînd  $n$  crește.

2. În cazuri particulare, condițiile de convergență ale ite-

rației (2.6) pot să fie îndeplinite în timp ce condițiile de convergență ale iterației simple ( $\Delta x^{k+1} = x^k$ ) nu sînt satisfăcute. De exemplu în cazul ecuațiilor cu diferențe corespunzătoare problemei la limită  $u'' - u \sin u + 1 = 0$ ,  $u(0) = u(1) = 0$ , condițiile de convergență ale iterației (2.6) sînt satisfăcute (even  $M_0 = L_0 = M_p = 1$ ,  $L_f = 0$  și  $L_f/(8 - M_0) + L_0 M_f / (8 - M_0)^2 = 1/49 < 1$ ) în timp ce condițiile de convergență ale iterației simple nu sînt satisfăcute (în acest caz  $f(t, u) = u \sin u - 1$  și  $f$  nu este Lipschitz continuă în raport cu  $u$ ).

3. Teorema 2.3 și aplicația de la acest punct se găsesc în [51].

Un rezultat similar relativ la ecuațiile cu diferențe (1.11) se poate obține aplicînd teorema 2.4. Vom presupune că  $a$  și  $f$  sînt mărginite și că au derivate parțiale în raport cu  $u$  mărginite; vom nota aceste margini cu  $M_0$ ,  $M_f$  și respectiv  $M'_0$ ,  $M'_f$ . Vom presupune de asemenea că  $M_0 < 8$  și că

$$(2.11) \quad \frac{M'_f}{8 - M_0} + \frac{M'_0 M_f}{(8 - M_0)^2} < 1.$$

Ca și mai sus,  $A(x)$  este o matrice inversabilă pentru orice  $x \in \mathbb{R}^n$  și  $\|A(x)^{-1}\| \leq (n+1)^2 / (8 - M_0)$  și întrucît  $A$  și  $\bar{\phi}$  sînt evident diferentiable Fréchet pe  $\mathbb{R}^n$ , rămîne de verificat relația (2.8).

Deoarece  $\|h^2 A_1^{-1} A_2(x)\| \leq h^2 (n+1)^2 M_0 / 8 = M_0 / 8 < 1$ , rezultă

$$\begin{aligned} A(x)^{-1} &= [I + h^2 A_1^{-1} A_2(x)]^{-1} A_1^{-1} = \\ &= \sum_{k=0}^{\infty} (-1)^k h^{2k} A_1^{-k} A_2(x)^k A_1^{-1}. \end{aligned}$$

Fie  $x^0$  un element arbitrar din  $\mathbb{R}^n$  și fie  $y^0 = A_1^{-1} \bar{\phi} x^0$ . Avem

$$[A(x)^{-1} x^0]_{x^0}^j = \sum_{k=1}^{\infty} (-1)^k h^{2k} A_1^{-k} [A_2(x)^k y^0]_{x^0}^j$$

și



$$\| [\Lambda(x)^{-1} \Phi_{x^0}]'_{x^0} \| \leq \sum_{k=1}^{\infty} h^{2k} \|\Lambda_1^{-1}\|^k \| [\Lambda_2(x)^k y^0]_{x^0}' \|.$$

dar  $[\Lambda_2(x)^k y^0]_{x^0}' = \text{diag} [k\alpha^{k-1}(x_1)\alpha'(x_1)y_1^0, \dots, k\alpha^{k-1}(x_n)\alpha'(x_n)y_n^0]$   
astfel incit

$$\begin{aligned} \| [\Lambda(x)^{-1} \Phi_{x^0}]'_{x^0} \| &\leq \|y^0\|_{M_0'} \sum_{k=0}^{\infty} k \alpha^{-k} M_0^{k-1} = \\ &= \frac{8 \|y^0\|_{M_0'}}{(8 - M_0)^2} \leq \frac{M_0' M_f}{(8 - M_0)^2}. \end{aligned}$$

Prin urmare, tinind cont ca  $\|\bar{\Phi}'(x^0)\| \leq h^2 M_f'$ , obtinem

$$\begin{aligned} \| [\Lambda(x)^{-1} \Phi_{x^0}]'_{x^0} + \Lambda(x^0)^{-1} \bar{\Phi}'(x^0) \| &\leq \\ &\leq \| [\Lambda(x)^{-1} \Phi_{x^0}]'_{x^0} \| + \|\Lambda(x^0)^{-1}\| \|\bar{\Phi}'(x^0)\| \\ &\leq \frac{M_f'}{8 - M_0} + \frac{M_0' M_f}{(8 - M_0)^2} \end{aligned}$$

astfel incit (2.8) este verificata avind in vedere (2.11).

**OBSERVATIA.** Daca  $e$  si  $f$  snt marginite si cu derivate partiale marginite in raport cu  $u$ , rezultă ca conditiile (2.9) snt satisfacute cu  $L_0 = M_0'$  si  $L_f = M_f'$ . Evident, daca  $M_0 < 8$  si (2.11) are loc, atunci este satisfacute si relatia (2.10) astfel incit acest ultim rezultat este un corolar al rezultatului precedent.

### 2.5. METODA DIRACIILOR ALTERNATE

In acest paragraf se studiaza o varianta a metodei directiilor alternate pentru ecuatii neliniare [57], varianta care pastreaza anumite avantaje de calcul de la ecuatiile cu diferente corespunzatoare problemelor la limita localele aleo neliniare. Toate consideratiile din acest paragraf au fost facute in spatiu finit dimensional dar ele se pot transpune fara modificari in spatiu Hilbert reale.

2.3.1. Introducere. Metoda direcțiilor alternante a fost considerată în cazul liniar de D.Peaceman și H.Rachford [44] și aplicată pentru rezolvarea numerică a ecuațiilor cu diferențe corespunzătoare problemelor la limită de tip eliptic sau parabolic. E.Kellogg [23] a extins această metodă pentru cazul neliniar. Rezultatele sale le-a aplicat pentru rezolvarea ecuației propagării radiațiilor (ecuație căldurii) cu condiții la limită neliniare de tipul Stefan Boltzman [4].

Metoda direcțiilor alternante comportă rezolvarea a două sisteme de ecuații neliniare la fiecare pas de iterație. În particular, în cazul ecuațiilor cu diferențe corespunzătoare problemelor la limită bilocale și/sau neliniare primul sistem este liniar cu matrice tridiagonală iar al doilea revine la rezolvarea unor ecuații cu câte o singură necunoscută fiecare. Evident, pentru probleme la limită neliniare de formă generală aceste avantaje nu se păstrează.

În acest paragraf se presupune o variantă a metodei direcțiilor alternante [57] pentru ecuații neliniare de o formă particulară, variantă în care primul sistem este întotdeauna liniar, păstrându-se astfel unul din avantajele metodei de la cazul și/sau liniar.

Fie următoarea ecuație neliniară

$$(2.12) \quad A(x)x + \Phi x = 0,$$

unde  $x \in \mathbb{R}^n$ ,  $x^T = (x_1, \dots, x_n)$  iar  $A : \mathbb{R}^n \rightarrow L(\mathbb{R}^n)$  și  $\Phi : \mathbb{R}^n \rightarrow \mathbb{R}^n$  sînt operatori neliniari. Metoda direcțiilor alternante pentru (2.12) dată în [23] va avea forma

$$(2.13) \quad \begin{aligned} r x^{k+1/2} + A(x^{k+1/2}) x^{k+1/2} &= r x^k - \Phi x^k, \\ r x^{k+1} + \Phi x^{k+1} &= r x^{k+1/2} - A(x^{k+1/2}) x^{k+1/2}. \end{aligned}$$

unde  $r$  este un număr real pozitiv. Ambele ecuații (2.13) sînt

neliniare și deci sînt iterații intermediară  $x^{k+1/2}$  și iterația următoare  $x^{k+1}$  se obțin prin rezolvarea unor sisteme neliniare.

Varianta pe care o propunem rezultă din 2.13 înlocuind valoarea lui  $A$  în punctul  $x^{k+1/2}$  cu valoarea lui  $A$  în punctul  $x^k$ , astfel încît (2.13) devine

$$(2.14) \quad r x^{k+1/2} + A(x^k) x^{k+1/2} = r x^k - \bar{\phi} x^k,$$

$$r x^{k+1} + \bar{\phi} x^{k+1} = r x^{k+1/2} - A(x^k) x^{k+1/2}.$$

Astfel prima ecuație este întotdeauna un sistem liniar cu matricea  $rI + A(x^k)$ .

2.3.2. Lema preliminară. Fie  $\langle \cdot, \cdot \rangle$  și  $\| \cdot \|$  produsul scalar obișnuit și respectiv norma euclidiană pe spațial  $\mathbb{R}^D$ . Vom presupune că  $A(x)$  este o matrice semipositiv definită pentru orice  $x \in \mathbb{R}^D$ . Atunci  $rI + A(x)$  este pozitiv definită și prima ecuație (2.14) are soluție unică în raport cu  $x^{k+1/2}$ . De asemenea, dacă  $\bar{\phi}$  este un operator continuu și monoton atunci  $rI + \bar{\phi}$  este continuu și strict monoton și conform cu teorema de surjectivitate a lui Minty (teorema 2.2), a doua ecuație (2.14) are de asemenea soluție unică în raport cu  $x^{k+1}$ . Prin urmare, relațiile (2.14) definesc în mod unic șirul  $\{x^k\}$  pentru orice valoare inițială  $x^0 \in \mathbb{R}^D$ .

LEMA 2.4. Dacă  $T : \mathbb{R}^D \rightarrow \mathbb{R}^D$  este continuu și strict monoton, atunci  $T^{-1}$  există și este Lipschitz continuu.

Demonstratie. Existența lui  $T^{-1}$  este imediată. Fie  $u, v \in \mathbb{R}^D$ . Există  $x, y \in \mathbb{R}^D$  astfel încît  $Tx = u, Ty = v$ , adică  $T^{-1}u = x, T^{-1}v = y$ . Din monotonia strictă a lui  $T$  rezultă

$$\| T^{-1}u - T^{-1}v \| \leq \frac{1}{c} \langle u - v, \frac{T^{-1}u - T^{-1}v}{T^{-1}u - T^{-1}v} \rangle \leq \frac{1}{c} \| u - v \|,$$

astfel încît  $T^{-1}$  este Lipschitz continuu cu constanta Lipschitz  $1/c$ .

Fie  $B$  un operator continuu și monoton și fie  $r$  un număr real pozitiv. Atunci există operatorul  $(rI + B)^{-1}$  și fie  $T_B = (rI - B)(rI + B)^{-1}$ . Următoarea lemă dată de Kellogg [23] este esențială pentru analiza convergenței metodei direcțiilor alternante în cazul neliniar precum și a variantei propuse.

**LEMA 2.5.** Dacă  $B$  este continuu și monoton atunci  $T_B$  este neexpansiv.

Mai exact, dacă  $x, y \in \mathbb{R}^D$  și  $x_1 = (rI + B)^{-1}x$ ,  $y_1 = (rI + B)^{-1}y$ , atunci

$$\|T_B x - T_B y\|^2 \leq \frac{a-b}{a+b} \|x - y\|^2,$$

unde

$$a = r^2 + \frac{\|Bx_1 - By_1\|^2}{\|x_1 - y_1\|^2}, \quad b = 2r \frac{\langle Bx_1 - By_1, x_1 - y_1 \rangle}{\|x_1 - y_1\|^2}.$$

Să presupunem că  $\langle A(x)u, u \rangle \geq \lambda \|u\|^2$  pentru orice  $x, u \in \mathbb{R}^D$  și fie  $B = A(x)$ ; atunci pentru orice  $x \in \mathbb{R}^D$  operatorul  $T_{A(x)}$  este definit și avem

$$a = r^2 + \frac{\|A(x)(x_1 - y_1)\|^2}{\|x_1 - y_1\|^2} \leq r^2 + \|A(x)\|^2,$$

$$b = 2r \frac{\langle A(x)(x_1 - y_1), x_1 - y_1 \rangle}{\|x_1 - y_1\|^2} \geq 2r\lambda.$$

Se poate vedea ușor că

$$\frac{a-b}{a+b} \leq \frac{r^2 + \|A(x)\|^2 - 2r\lambda}{r^2 + \|A(x)\|^2 + 2r\lambda}.$$

Dacă presupunem acum că  $\|A(x)\| \leq \beta$ ,  $\forall x \in \mathbb{R}^D$ , atunci

$$(2.15) \quad \frac{a-b}{a+b} \leq \frac{r^2 + \beta^2 - 2r\lambda}{r^2 + 2r\lambda} = \alpha,$$

și pentru  $r$  suficient de mare,  $\alpha < 1$  și  $T_{A(x)}$  este o contracție pe  $\mathbb{R}^D$ .

**LEMA 2.6.** Să presupunem că  $A(x)$  este o matrice pozitiv definită și că  $\|A(x)\| \leq \beta$ ,  $\forall x \in \mathbb{R}^D$  și fie  $r > \beta$ . Atunci

$$\| T_A(x) - T_A(y) \| \leq \frac{2r}{(r-\beta)^2} \| A(x) - A(y) \| .$$

Demonstratie. Avem

$$\begin{aligned} \| T_A(x) - T_A(y) \| &\leq \| (rI - A(x))(rI + A(x))^{-1} - (rI - A(x))(rI + A(y))^{-1} \| + \\ &+ \| (rI - A(x))(rI + A(y))^{-1} - (rI - A(y))(rI + A(y))^{-1} \| \leq \\ &\leq \| rI - A(x) \| \| (rI + A(x))^{-1} - (rI + A(y))^{-1} \| + \\ &+ \| (rI + A(y))^{-1} \| \| A(x) - A(y) \| . \end{aligned}$$

Ținând cont că  $\| r^{-1}A(y) \| \leq r^{-1}\beta < 1$  rezultă că

$$(rI + A(y))^{-1} = r^{-1}(I + r^{-1}A(y))^{-1} = r^{-1} \sum_{k=0}^{\infty} (-1)^k r^{-k} A(y)^k$$

și deci

$$\| (rI + A(y))^{-1} \| \leq r^{-1} \sum_{k=0}^{\infty} (r^{-1}\beta)^k = \frac{1}{r - \beta} .$$

De asemenea, printr-un calcul simplu obținem

$$\begin{aligned} \| (rI + A(x))^{-1} - (rI + A(y))^{-1} \| &\leq r^{-2} \| A(x) - A(y) \| \sum_{k=0}^{\infty} k (r^{-1}\beta)^{k-1} = \\ &= \frac{1}{(r - \beta)^2} \| A(x) - A(y) \| . \end{aligned}$$

Țin urmări

$$\begin{aligned} \| T_A(x) - T_A(y) \| &\leq \frac{1}{(r - \beta)^2} \| A(x) - A(y) \| \| rI - A(x) \| + \\ &+ \frac{1}{r - \beta} \| A(x) - A(y) \| \leq \frac{2r}{(r - \beta)^2} \| A(x) - A(y) \| . \end{aligned}$$

2.3.3. Analiza convergenței. Studiul convergenței metodei (2.14) are la bază ideile din [23], fără însă ca demonstrațiile din lucrarea amintită să se poată transpune în mod oarecăr la cazul nostru.

Fie  $y^k = (rI + \phi)x^k$ ,  $y^{k+1/2} = (rI + A(x^k))x^{k+1/2}$ . Din (2-14) rezultă

$$y^{k+1/2} = T_{\phi} y^k, \quad y^{k+1} = T_{A(x^k)} y^{k+1/2}.$$

Vom presupune că ecuația (2.12) are o soluție  $x^* \in \mathbb{R}^D$  și fie

$x_{\phi}^* = (rI + \phi)x^*$ ,  $x_A^* = (rI + A(x^*))x^*$ . Deoarece  $A(x^*)x^* = -\phi x^*$  rezultă că  $x_{\phi}^* = T_{A(x^*)} x_A^*$ ,  $x_A^* = T_{\phi} x_{\phi}^*$ .

**TEOREMA 2.5.** Presupunem că ecuația (2.12) are o soluție  $x^* \in \mathbb{R}^D$  și că  $A, \bar{\phi}$  satisfac următoarele condiții

- 1) matricea  $A(x)$  este pozitiv definită,  $\langle A(x)u, u \rangle \geq \lambda \|u\|^2$ ,  $\forall x, u \in \mathbb{R}^D$ ,
- 2)  $\|A(x)\| \leq \beta$  ,  $\forall x \in \mathbb{R}^D$ ,
- 3)  $\|A(x) - A(y)\| \leq L \|x - y\|$  ,  $\forall x, y \in \mathbb{R}^D$ ,
- 4)  $\bar{\phi}$  este continuu și monoton,
- 5) constantele  $\lambda$  și  $L$  verifică inegalitatea  
 $2\lambda > L \|x^*\|$  .

Atunci pentru  $r$  suficient de mare, iterația (2.14) definește un șir unic  $\{x^k\}$  care converge la  $x^*$ .

Demonstrație. Existența și unicitatea șirului  $\{x^k\}$  au fost analizate la punctul 2.3.2. Rămâne să arătăm convergența șirului  $\{x^k\}$  la  $x^*$ .

Din lemele 2.5, 2.6 și din condiția 3) rezultă

$$\begin{aligned} \|y^{k+1} - x^*\| &= \left\| T_{A(x^k)} y^{k+1/2} - T_{A(x^*)} x^* \right\| \leq \\ &\leq \left\| T_{A(x^k)} y^{k+1/2} - T_{A(x^k)} x^* \right\| + \left\| T_{A(x^k)} x^* - T_{A(x^*)} x^* \right\| \\ &\leq \alpha \|y^{k+1/2} - x^*\| + L \|x^*\| \frac{2r}{(r-\beta)^2} \|x^k - x^*\| = \\ &= \alpha \left\| T_{\bar{\phi}} y^k - T_{\bar{\phi}} x^* \right\| + \\ &+ L \|x^*\| \frac{2r}{(r-\beta)^2} \left\| (rI + \bar{\phi})^{-1} y^k - (rI + \bar{\phi})^{-1} x^* \right\| . \end{aligned}$$

Din condiția 4) rezultă că  $rI + \bar{\phi}$  este continuu și strict monoton cu constante  $r$  iar din lema 2.4 rezultă că  $(rI + \bar{\phi})^{-1}$  este Lipschitz continuu cu constante  $1/r$ . Ținând cont de acest fapt și de lema 2.5, avem

$$\begin{aligned} \|y^{k+1} - x^*\| &\leq \left[ \alpha + L \|x^*\| \frac{2}{(r-\beta)^2} \right] \|y^k - x^*\| \\ &\leq \left[ \alpha + 2L \|x^*\| \frac{r+\beta}{(r-\beta)^2} \right] \|y^k - x^*\| . \end{aligned}$$

să notăm cu  $\alpha_1$  constanta  $\alpha + 2L\|x^m\|(r + \beta)/(r - \beta)^2$ , unde  $\alpha$  este dat de (2.15). Vom impune condiția  $\alpha_1 < 1$  și atunci șirul  $\{y^k\}$  converge la  $x_{\Phi}^m$ ; dar această condiție este echivalentă cu

$$(4 - 2L\|x^m\|)r^3 + s_1r^2 + s_2r + s_3 > 0,$$

unde  $s_1, s_2, s_3$ , depind de  $\lambda, \beta, L, \|x^m\|$ . Pentru  $r$  suficient de mare, această condiție este satisfăcută întrucât  $2\lambda > L\|x^m\|$  conform cu ipoteza 5). Prin urmare  $\alpha_1 < 1$  și deci  $y^k \rightarrow x_{\Phi}^m$ ,  $k \rightarrow \infty$ . Acum deoarece  $x^k = (rI + \Phi)^{-1}y^k$  și  $(rI + \Phi)^{-1}$  este un operator continuu rezultă că  $x^k \rightarrow (rI + \Phi)^{-1}x^m = x^m$ . ■

#### 2.4. METODE DE TIP GRADIENT

În acest paragraf se studiază convergența unor metode de tip gradient utilizând în mod sistematic conceptul de operator ovasi-neexpansiv (definiția 2.2). Pe această bază se demonstrează convergența locală a unei metode de tip gradient generalizată [52] și se obțin în particular unele rezultate cunoscute [1], [12], [16]. Menționăm că rezultatul principal din acest paragraf (teorema 2.6) constituie generalizarea teoremei 2 din [32].

2.4.1. Introducere. În lucrarea [31], utilizând conceptul de operator ovasi-neexpansiv, s-au obținut condiții de convergență locală a metodei lui Newton și a metodei gradientului pentru ecuații neliniare pe spații finit dimensionale. Condițiile obținute în acest mod pentru metode lui Newton sînt asemănătoare cu cele din teoremele bine cunoscute de convergență globală ale lui Kantorovici [19], [21]; pentru metode gradientului condițiile obținute sînt de același tip.

Vom considera în acest paragraf ecuații de formă  $Fx = 0$ , unde  $F: D \subset \mathbb{R}^n \rightarrow \mathbb{R}^n$  este un operator nelinier (pe spațiile

$\mathbb{R}^n, \mathbb{R}^m$  vom considera normele euclidiene iar  $D$  este o mulțime deschisă din  $\mathbb{R}^n$ ). După cum se știe [40] metoda gradientului are forma

$$x^{k+1} = x^k - \lambda_k^{-1} (x^k)^T Fx^k, \quad k = 0, 1, \dots$$

unde  $\lambda_k$  reprezintă "lungimea pasului" (step length). Din punct de vedere geometric această metodă revine la deplasări succesive pe direcția gradientului funcțiunei  $f : \mathbb{R}^n \rightarrow \mathbb{R}$ ,  $fx = \|Fx\|^2$  cu pasul  $\lambda_k$ ,  $k = 0, 1, \dots$

În cele ce urmează vom considera iterația mai generală

$$(2.16) \quad x^{k+1} = x^k - \|F'(x^k)\|^{-2} F'(x^k)^T A(x^k) Fx^k, \quad k = 0, 1, \dots$$

unde  $A : \mathbb{R}^n \rightarrow L(\mathbb{R}^n)$  este un operator nelinier, iterație pe care o vom numi metoda gradientului generalizată. După cum se știe, metoda gradientului are convergență liniară; alegând în mod convenabil operatorul  $A$  se pot obține metode cu ordin de convergență superior. De exemplu, dacă se ia  $A(x) = [F'(x)F'(x)^T]^{-1} \|F'(x)\|^2$  atunci (2.16) coincide cu metoda lui Newton care are, după cum se știe, convergență patetică.

**2.4.2. Analiza convergenței.** Vom demonstra mai întâi o lemă simplă de tipul formulelor de medie din analize n-dimensionale.

**LEMA 2.7.** Fie  $D$  o mulțime deschisă din  $\mathbb{R}^n$  și  $F : D \rightarrow \mathbb{R}^m$  un operator diferentiabil Fréchet pe  $D$ . Atunci

$$(2.17) \quad Fy - Fx = [F'(x) + \mathcal{O}(x,y)](y-x), \quad \forall x, y \in D,$$

și  $\mathcal{O}(x,y) \rightarrow 0, y \rightarrow x$ .

Demonstratie. Plecăm de la identitatea evidentă

$$Fy - Fx = \left[ F'(x) + (Fy - Fx - F'(x)(y-x)) \frac{(y-x)^T}{\|y-x\|^2} \right] (y-x)$$

și luăm

$$\mathcal{O}(x,y) = (Fy - Fx - F'(x)(y-x)) \frac{(y-x)^T}{\|y-x\|^2}.$$

se vede că  $\|\mathcal{O}(x,y)\| = \|Fy - Fx - F'(x)(y-x)\| / \|y-x\| \rightarrow 0, y \rightarrow x$ .

**TEOREMA 2.6.** Fie  $F : D \subset \mathbb{R}^n \rightarrow \mathbb{R}^m$  un operator nelinier și



$x^k$  D o soluție a ecuației  $Fx = 0$ . Presupunem că  $F$  este diferențiabil Fréchet pe  $S = S(x^k, r) \subset D$ , aplicația  $G : D \rightarrow L(\mathbb{R}^n, \mathbb{R}^n)$  definită de  $G(x) = F'(x)^T$  este continuă pe  $S$  și matricea  $F'(x)$  este de rangul  $n$ ,  $\forall x \in S$ . Fie  $A : D - \{x^k\} \rightarrow L(\mathbb{R}^n)$  un operator continuu care satisface relația

$$(2.18) \quad \|A(x) - I\| \leq \eta < 1, \quad \forall x \in S - \{x^k\}.$$

Atunci  $x^k$  este punct de atracție pentru iteratia (2.16).

Demonstrație. Deoarece  $F'(x)$  este de rang  $n$  rezultă că  $\|F'(x)\| \neq 0$  pe  $S$ . Fie atunci operatorul  $T : S - \{x^k\} \rightarrow \mathbb{R}^n$  definit de

$$Tx = x - \|F'(x)\|^{-2} F'(x)^T A(x) Fx.$$

Ținând cont de (2.17) avem

$$\begin{aligned} Tx - x^k &= x - x^k - \|F'(x)\|^{-2} F'(x)^T A(x) [F'(x) + \mathcal{O}(x, x^k)] (x - x^k) = \\ &= [I - \|F'(x)\|^{-2} F'(x)^T A(x) F'(x) - \\ &\quad - \|F'(x)\|^{-2} F'(x)^T A(x) \mathcal{O}(x, x^k)] (x - x^k). \end{aligned}$$

Pentru prescurtarea scrierii vom nota  $F'(x) = F'$ ,  $A(x) = A$ ,  $\mathcal{O}(x, x^k) = \mathcal{O}$ . Obținem

$$(2.19) \quad \|Tx - x^k\| \leq (\|I - \|F'\|^{-2} (F')^T A F'\| + \|F'\|^{-2} \|A\| \|\mathcal{O}\|) \|x - x^k\|.$$

Fie  $z \in \mathbb{R}^n$ ,  $\|z\| = 1$ . Avem

$$\begin{aligned} \|z - \|F'\|^{-2} (F')^T A F' z\|^2 &\leq 1 - 2\|F'\|^{-2} \langle F' z, A F' z \rangle + \|F'\|^{-2} \|A F' z\|^2 = \\ &= 1 - \|F'\|^{-2} (\|F' z\|^2 - \|(A - I) F' z\|^2) \\ &= 1 - (1 - \|A - I\|^2) \|F'\|^{-2} \|F' z\|^2. \end{aligned}$$

Ținând cont de (2.18) rezultă

$$\|z - \|F'\|^{-2} (F')^T A F' z\|^2 \leq 1 - (1 - \eta^2) \|F'\|^{-2} \|F' z\|^2.$$

să observăm că  $\|F'(x)\| \leq \beta_1$ ,  $\forall x \in b_1(x^k, r) \subset S$  și deci  $\|F'(x)\|^{-2} \geq \beta_1^{-2}$  apoi că  $\|F'(x)z\| \geq \beta_2 > 0$ ,  $\forall x \in S$  și  $\|z\| = 1$  (în caz contrar  $F'(x)$  nu ar avea rangul  $n$ ). Prin urmare

$$(2.20) \quad \|I - \|F'\|^{-2} (F')^T A F'\| = \max_{\|z\|=1} \|z - \|F'\|^{-2} (F')^T A F' z\| \leq [1 - (1 - \eta^2) \beta_1^{-2} \beta_2^2]^{1/2}.$$

Să mai observăm că  $\|F'(x)\| \geq \beta_2$  și deci  $\|F'(x)\|^{-1} \leq \beta_2^{-1}$ ,  
 $\forall x \in S$ . Din (2.18) rezultă că  $\|A(x)\| \leq 1 + \eta$ ,  $\forall x \in S - \{x^*$   
 notăm  $\beta = [1 - (1 - \eta^2) \beta_1^{-2}] \beta_2^2]^{1/2}$ . Conform lemei 2.7,  $d(x, x^*) \rightarrow$   
 $\rightarrow 0$ ,  $x \rightarrow x^*$  și deci putem determina o constantă  $r_2$  astfel  
 încât  $S(x^*, r_2) \subset S_1$  și

$$\|d\| < \frac{(1 - \beta) \beta_2}{1 + \eta}, \quad \forall x \in S(x^*, r_2) - \{x^*\}.$$

Așa dar

$$\|F'\|^{-1} \|A\| \|d\| < 1 - \beta, \quad \forall x \in S(x^*, r_2).$$

Ținând cont acum și de (2.20) avem

$$\|I - \|F'\|^{-2} (F')^T A F'\| + \|F'\|^{-1} \|A\| \|d\| < 1$$

astfel încât din relația (2.19) rezultă

$$\|Tx - x^*\| < \|x - x^*\|, \quad \forall x \in S(x^*, r_2),$$

adică  $T$  este cuasi-contractiv pe  $S(x^*, r_2) - \{x^*\}$  și se aplică  
 lema 2.3.4

**OBSERVAȚIE.** Dacă operatorul  $A$  este definit și continuu în  
 $x^*$ , condiția (2.18) se poate înlocui cu

$$\|A(x^*) - I\| < 1.$$

În continuare vom aplica teorema 2.6 pentru a obține condiții de  
 convergență locală pentru unele metode iterativ cunoscute.

**2.4.3. Metoda gradientului.** Dacă în (2.16) luăm  $A = I$  obți-  
 nem metoda gradientului cu  $\lambda_k = \|F'(x^k)\|^{-2}$ , adică

$$(2.21) \quad x^{k+1} = x^k - \|F'(x^k)\|^{-2} F'(x^k)^T Fx^k.$$

Condiția (2.18) este evident satisfăcută și din teorema (2.6) re-  
 zultă

**COROLARIUL 1.** Fie  $F : D \subset \mathbb{R}^n \rightarrow \mathbb{R}^n$  un operator nelinier și  
 $x^* \in D$  o soluție a ecuației  $Fx = 0$ . Presupunem că  $F$  este dife-  
 rentialul Fréchet pe  $S(x^*, r) \subset D$  și că (matricea)  $F'(x)$  este  
 măximizată pe  $S(x^*, r)$  și de rang  $n$ . Atunci  $x^*$  este punct de  
 atracție pentru iterația (2.21).

Metoda gradientului a fost considerată printre primii de

H. Curry [8] precum și de M. Vainoerg [68], [69], K. Altman [1], [2], M. Nashed [36]. Acea formă (2.21) și pentru cazul particular  $m = 1$ , această metodă a fost considerată de M. Altman [1], [2]. De asemenea metoda gradientului a fost considerată în [41], [30] pentru cazul  $m = n$ , obținându-se condiții de convergență substanțial mai tari. Astfel se cere ca  $F$  să fie diferentiabil Fréchet pe o sferă  $S(x^0, r)$  și să satisfacă următoarele condiții :

1) matricea  $F'(x)$  să fie inversabilă și  $\|F'(x)\|^{-1} \leq \beta$ ,  $\forall x \in S(x^0, r)$ ,

2)  $\|F'(x) - F'(y)\| \leq \tau \|x - y\|$ ,  $\forall x, y \in S(x^0, r)$ ,

3)  $\beta \tau r < 2$ .

Această formă asemănătoare, dar cu condiții de asemenea mai tari, corolarul 1 apare în lucrarea [30].

**2.4.4. Metoda Newton - gradient combinată.** Fie din nou  $F : D \subset \mathbb{R}^n \rightarrow \mathbb{R}^m$  un operator neliniar,  $f_i$ ,  $i = 1, \dots, m$  componentele lui  $F$  și  $f'_i$  derivatele Fréchet ale componentelor, deci  $f'_i = (\partial f_i / \partial x_1, \dots, \partial f_i / \partial x_n)$  unde  $x_j$ ,  $j = 1, \dots, n$  sînt componentele unui element  $x \in \mathbb{R}^n$ . Vom presupune că  $\|f'_i(x)\| \neq 0$ ,  $i = 1, \dots, m$ ,  $x \in D$ . Luăm acum pe  $\lambda$  din teorema 2.6 de formă

$$\lambda(x) = \lambda \|F'(x)\|^2 B(x)^{-1}$$

unde

$$B(x) = \begin{pmatrix} \|f'_1(x)\|^2 & & & \\ & \cdot & & \\ & & \cdot & \\ & & & \cdot \\ & & & & \|f'_m(x)\|^2 \end{pmatrix}.$$

iar  $\lambda$  este un număr pozitiv. Obținem următoarea metodă iterativă, numită metoda Newton - gradient combinată [16],

$$x^{k+1} = x^k - \lambda F'(x^k)^T B(x^k)^{-1} F(x^k).$$

fiind cont că

$$A(x) - I = \begin{pmatrix} \lambda \frac{\|F'(x)\|^2}{\|f'_1(x)\|^2} - 1 & & 0 \\ & \cdot & \\ & & \cdot \\ 0 & & & \lambda \frac{\|F'(x)\|^2}{\|f'_n(x)\|^2} - 1 \end{pmatrix}$$

rezultă

$$\|A(x) - I\| = \max_i \left| \lambda \frac{\|F'(x)\|^2}{\|f'_i(x)\|^2} - 1 \right|$$

astfel încât condiția (2.18) este satisfăcută pe  $S = S(x^k, r) \subset D$  dacă

$$(2.22) \quad \lambda < \frac{2\|f'_i(x)\|^2}{\|F'(x)\|^2}, \quad i = 1, \dots, n \quad \forall x \in S.$$

Din teorema 2.6 obținem

**COROLARIU 2.** Fie  $F : D \subset \mathbb{R}^n \rightarrow \mathbb{R}^n$  un operator neliniar,  $F_i$ ,  $i = 1, \dots, n$  componentele lui  $F$  și  $x^k \in D$  o soluție a ecuației  $Fx = 0$ . Presupunem că  $F$  este diferentiabil Fréchet pe  $S = S(x^k, r) \subset D$  și că (matricea)  $F'(x)$  este mărginită pe  $S$  și de rang  $n$ ; presupunem de asemenea că  $\|f'_i(x)\| \neq 0$  pe  $S$ ,  $i = 1, \dots, n$  și că  $\lambda$  satisface (2.22). Atunci  $x^k$  este punct de atracție pentru metoda Newton - gradient combinată

Această metodă a fost considerată de H.Hart și T.Motakin [16]. Corolarul 2 este identic cu teorema centrală din lucrarea amintită (teorema 5.1) pentru cazul neliniar cu excepția limitei superioare pentru  $\lambda$  care în [16] este dată de  $1/(\lambda_1 + \dots + \lambda_n)$ ,  $\lambda_i$  fiind valorile proprii ale matricei  $F'(x^k)^T F'(x^k)$ .

**2.4.5. Metoda lui Fridman.** Să luăm acum pe  $A$  de forma

$$(2.23) \quad A(x) = \frac{\|F'(x)\|^2 \|F(x)\|^2}{\|F'(x)^T F(x)\|^2} I.$$

Se vede că, în acest caz, dacă  $F$  este diferentiabil Fréchet pe

$\delta = \delta(x^k, x) \subset D$ , atunci  $A$  este un operator diagonal definit pe  $\delta = \{x^k\}$ . Metoda gradientului generalizată (2.16) va avea forma

$$(2.24) \quad x^{k+1} = x^k - \frac{\|F_{x^k}\|^2}{\|F'(x^k)^T F_{x^k}\|^2} F'(x^k)^T F_{x^k}.$$

Să verificăm condiția (2.18). Avem

$$\|A(x) - I\| = \left| \frac{\|F'(x)\|^2 \|F_x\|^2}{\|F'(x)^T F_x\|^2} - 1 \right|$$

astfel înalt (2.15) este satisfăcută dacă

$$\frac{\|F'(x)\|^2 \|F_x\|^2}{\|F'(x)^T F_x\|^2} \leq \eta^2 < 2 \quad \forall x \in \delta.$$

Să presupunem că  $F'(x)$  este mărginită pe  $\delta$ ,  $\|F'(x)\| \leq \beta_1$ .

Vom impune condiția

$$(2.25) \quad \frac{\|F'(x)^T z\|}{\|z\|} \geq \mu > 0, \quad \forall x \in \delta, z \in \mathbb{R}^n$$

și vom cere ca  $\mu$  să satisfacă relația  $\beta_1 \mu^{-1} < 2$ . În acest caz  $A$  dat de (2.23) satisfacă relația (2.18). Să observăm de asemenea că în condiția (2.25) matricea  $F'(x)$  are rangul  $n$ . Pe baza teoremei 2.6 obținem următorul rezultat asupra metodei (2.24):

**COROLARIU 3.** Fie  $F : D \subset \mathbb{R}^n \rightarrow \mathbb{R}^m$  un operator nelinier și  $x^k \in D$  o soluție a ecuației  $Fx = 0$ . Presupunem că  $F$  este diferențiabil Fréchet pe  $\delta = \delta(x^k, x) \subset D$  și că (matricea)  $F'(x)$  este mărginită pe  $\delta$  ( $\|F'(x)\| \leq \beta_1, \forall x \in \delta$ ) și satisfacă relația (2.25). Presupunem de asemenea că constantele  $\beta_1$  și  $\mu$  verifică relația  $\beta_1 \mu^{-1} < \sqrt{2}$ . Atunci  $x^k$  este punct de atracție pentru iteratia (2.24).

Metoda 2.24 a fost considerată de V. Fridman [12], [15], pentru rezolvarea ecuațiilor (liniare sau neliniare) în spații Hilbert reale. Pentru cazul nelinier condițiile de convergență sînt

asemănătoare cu cele din corolarul 3. Să observăm că (2.24) coincide cu metoda gradientului considerată la punctul 2.4.1 în esență prin valoarea  $\lambda_k$  are valoarea  $\|F_x^k\|^2 / \|F'(x^k)^T F_x^k\|^2$ . În lucrarea citată V. Fridman a dedus această valoare din condiția de minimizare a funcționalei  $\|x^k - F'(x^k)F_x^k\|^2$  după parametrul  $\lambda$ , făcându-se apoi aproximarea  $F'(x^k)(x^k - x^*) \approx F_x^k$ .

2.4.6. Observație asupra metodei gradientului generalizată cu ordin superior de convergență. După cum am văzut (punctul 2.4.1) operatorul  $A$  se poate alege astfel încât metoda gradientului generalizată să coincidă cu metoda lui Newton. Să luăm deci  $n = n$  și

$$A(x) = \|F'(x)\|^2 (F'(x)^T)^{-1} F'(x)^{-1}.$$

Iterația (2.16) se reduce în acest caz la metoda cunoscută a lui Newton.

Vom presupune că

$$\|F'(x)\| \|F'(x)^{-1}\| \leq \eta < \sqrt{2}, \quad \forall x \in D(x^*, r)$$

unde  $r$  este un număr real pozitiv și fie  $z \in \mathbb{R}^n$ ,  $\|z\| = 1$ . Avem

$$\begin{aligned} \|z - \|F'(x)\|^2 (F'(x)^T)^{-1} F'(x)^{-1} z\|^2 &\leq \\ &\leq 1 - 2 \|F'(x)\|^2 \langle z, (F'(x)^{-1})^T F'(x)^{-1} z \rangle + \|F'(x)\|^4 \|F'(x)^{-1}\|^2 \|F'(x) z\|^2 \\ &= 1 - \|F'(x)\|^2 \|F'(x)^{-1} z\|^2 (2 - \|F'(x)\|^2 \|F'(x)^{-1}\|^2). \end{aligned}$$

Dacă noi presupunem că  $F'(x)$  este o matrice inversabilă pentru orice  $x \in D(x^*, r)$ , atunci  $\|F'(x)\|, \|F'(x)^{-1} z\|$  sînt mărginite inferior (fie  $\beta_1$  și  $\beta_2$  constantele pozitive respective) și prin urmare

$$\|I - \|F'(x)\|^2 (F'(x)^T)^{-1} F'(x)^{-1}\|^2 \leq 1 - \beta_1^2 \beta_2 (2 - \eta^2) < 1.$$

relație care constituie condiția (2.18) din teorema 2.6. Rezultă de aici că  $x^*$  este punct de atracție pentru metoda lui Newton. Dar acest rezultat este în mod practic neinteresant, întrucît se știe că metoda lui Newton este local convergentă cu singurele con-

diții ca  $F$  să fie diferențial Fréchet în punctul  $x^*$  iar matricea  $F'(x^*)$  să fie nonsingulară.

## 2.5. O METODĂ ITERATIVĂ SPECIALĂ PENTRU ECUAȚII

DE FORMA (1.11)

În [33], [30], [32] s-a studiat o metodă iterativă specială pentru rezolvarea ecuațiilor neliniare de forma (1.11) metodă care prezintă anumite avantaje de programare (paragraful 3.4). În acest paragraf se generalizează [34] unele rezultate din [33], [30], [32] prin schimbarea condițiilor de convergență. În particular, se obține metoda liniilor paralele, de asemenea cu condiții de convergență mai slabe.

2.5.1. Algoritmul de calcul și analiza convergenței. Vom considera ecuații de forma (1.11), deci de forma

$$(2.26) \quad A(x)x + \Phi x = 0,$$

unde  $A : D \subset \mathbb{R}^n \rightarrow L(\mathbb{R}^n)$  și  $\Phi : D \subset \mathbb{R}^n \rightarrow \mathbb{R}^n$  sînt operatori neliniari. Vom presupune că ecuația (2.26) are o soluție  $x^* \in D$  și vom considera următorul proces iterativ pentru aproximarea soluției

$$(2.27) \quad x^{k+1} = x^k - \lambda A(x^k)^T [A(x^k)x^k + \Phi x^k],$$

$\lambda$  fiind o constantă reală pozitivă.

Observații. 1. În esență această metodă este o variantă a metodei gradientului pentru ecuații de forma (2.26). Dacă  $A$  și  $\Phi$  sînt operatori constanți (2.27) coincide cu metoda gradientului pentru ecuații liniare, considerată de numeroși autori [46], [56], [9].

2. Metoda iterativă (2.27) a fost considerată în lucrările [33], [30], [32] unde s-au dat condiții de convergență locală iar în cazuri particulare s-au obținut unele rezultate cunoscute.

Vom considera pe spațiul  $\mathbb{R}^n$  norma euclidiană.

**TEOREMA 2.7.** Presupunem că operatorii  $\Lambda$  și  $\Phi$  sînt diferențiable Fréchet în punctul  $x^k$ , soluție a ecuației (2.26) și că matricea  $\Lambda(x^k)$  este nesingulară. Presupunem de asemenea că este îndeplinită următoarea condiție

$$(2.28) \quad \|\Lambda(x^k)^{-1}\| \left\| \left[ \Lambda(x)x^k \right]_{x^k} + \Phi'(x^k) \right\| < 1$$

și că  $\lambda \leq \|\Lambda(x^k)\|^{-2}$ .

Atunci  $x^k$  este punct de atracție pentru iterația (2.27).

Demonstrație. Fie  $T: \mathbb{R}^D \rightarrow \mathbb{R}^D$  definit de

$$Tx = x - \lambda \Lambda(x)^T \left[ \Lambda(x)x + \Phi(x) \right].$$

Utilizînd lema 2.2 avem

$$(2.29) \quad T'(x^k) = I - \lambda \Lambda(x^k)^T \left\{ \Lambda(x^k) + \left[ \Lambda(x)x^k \right]_{x^k} + \Phi'(x^k) \right\}.$$

Deoarece  $\lambda \|\Lambda(x^k)\|^2 \leq 1$  obținem pentru orice  $y \in \mathbb{R}^D$ ,  $\|y\| = 1$

$$\begin{aligned} \|T'(x^k)y\|^2 &= \|y - \lambda \Lambda(x^k)^T \left\{ \Lambda(x^k) + \left[ \Lambda(x)x^k \right]_{x^k} + \Phi'(x^k) \right\} y\|^2 \leq \\ &\leq 1 - 2\lambda \left\langle \left\{ \Lambda(x^k) + \left[ \Lambda(x)x^k \right]_{x^k} + \Phi'(x^k) \right\} y, \Lambda(x^k)y \right\rangle + \\ &+ \lambda \left\| \Lambda(x^k)y + \left\{ \left[ \Lambda(x)x^k \right]_{x^k} + \Phi'(x^k) \right\} y \right\|^2 \leq \\ &\leq 1 - \lambda \|\Lambda(x^k)y\|^2 + \lambda \left\| \left[ \Lambda(x)x^k \right]_{x^k} + \Phi'(x^k) \right\|^2 \leq \\ &1 - \lambda \left( \|\Lambda(x^k)^{-1}\|^{-2} - \left\| \left[ \Lambda(x)x^k \right]_{x^k} + \Phi'(x^k) \right\|^2 \right). \end{aligned}$$

Ținînd cont de condiția (2.28) rezultă că  $\|T'(x^k)\| < 1$  și convergența locală a metodei rezultă din teorema 2.1.

**OBSERVAȚIE.** În general  $\|T'(x^k)\| \neq 0$  și metoda (2.27) are numai convergență liniară. Acest fapt poate provoca în cazuri particulare creșterea substanțială a volumului de timp calculator, chiar dacă se lucrează exclusiv în memoria internă (paragraful 3.4).

Puteți da și următoarea variantă a teoremei 2.7 :

**TEOREMA 2.8.** Fie  $\Lambda$  și  $\Phi$  ca în teorema 2.7. În locul relației (2.28) vom considera că este satisfăcută relația



$$(2.30) \quad \langle \Lambda(x^*)y, \left\{ \left[ \Lambda(x)x^* \right]'_{x^*} + \Phi'(x^*) \right\} y \rangle \geq 0, \quad \forall y \in \mathbb{R}^n.$$

În consecință, presupunem că satisfacă relațiile

$$(2.31) \quad \lambda \leq \|\Lambda(x^*)\|^{-2} \\ \lambda < \|\Lambda(x^*)^{-1}\|^{-2} \|\Lambda(x^*)\|^{-2} \left\| \left[ \Lambda(x)x^* \right]'_{x^*} + \Phi'(x^*) \right\|^{-2}.$$

Atunci  $x^*$  este rădăcină de atracție pentru iterația (2.27).

Demonstrație. Utilizând expresia (2.29) a derivatei  $T'(x^*)$ , putem scrie

$$\begin{aligned} \|T'(x^*)y\|^2 &\leq 1 - \lambda \|\Lambda(x^*)y\|^2 - 2\lambda \langle \Lambda(x^*)y, \left\{ \left[ \Lambda(x)x^* \right]'_{x^*} + \Phi'(x^*) \right\} y \rangle \\ &\quad + 2\lambda^2 \|\Lambda(x^*)\|^2 \langle \Lambda(x^*)y, \left\{ \left[ \Lambda(x)x^* \right]'_{x^*} + \Phi'(x^*) \right\} y \rangle + \\ &\quad + \lambda^2 \|\Lambda(x^*)\|^2 \left\| \left[ \Lambda(x)x^* \right]'_{x^*} + \Phi'(x^*) \right\|^2. \end{aligned}$$

Acum, ținând cont de (2.30), (2.31) rezultă

$$\begin{aligned} \|T'(x^*)y\|^2 &\leq 1 - \lambda \|\Lambda(x^*)^{-1}\|^{-2} - \\ &\quad - \lambda \|\Lambda(x^*)\|^2 \left\| \left[ \Lambda(x)x^* \right]'_{x^*} + \Phi'(x^*) \right\|^2 < 1, \end{aligned}$$

și se aplică din nou teorema 2.1.

(OBSERVAȚIE. Teoremele 2.7 și 2.8 sînt prezentate în [30] pentru cazul unui spațiu Hilbert real de dimensiune finită și cu condiții de convergență mai tari. Astfel se cere ca operatorii  $\Lambda$  și  $\Phi$  să fie diferentiațibili frecvent pe o anumită sferă centrată în  $x^*$  și ca derivatele acestor operatori să fie mărginite.

2.5.2. Metoda liniilor paralele. Pe baza teoremei 2.8 se poate enunța o teoremă de convergență locală pentru metoda liniilor paralele.

Fie  $F: D \subset \mathbb{R}^n \rightarrow \mathbb{R}^n$  un operator nelinear și  $x^*$  o soluție a ecuației  $Fx = 0$ . Pentru a putea aplica teorema 2.8 vom scrie această ecuație sub formă  $Ix + (Fx - x) = 0$  astfel încît  $\Lambda(x) = I$  și  $\Phi x = Fx - x$ . Deoarece  $\Phi'(x) = F'(x) - I$ , condiția (2.30) devine

$$(2.32) \quad \langle F'(x^*)y, y \rangle \geq \|y\|^2, \quad \forall y \in \mathbb{R}^n,$$

Iar condițiile impuse lui  $\lambda$  (2.31) se reduc la

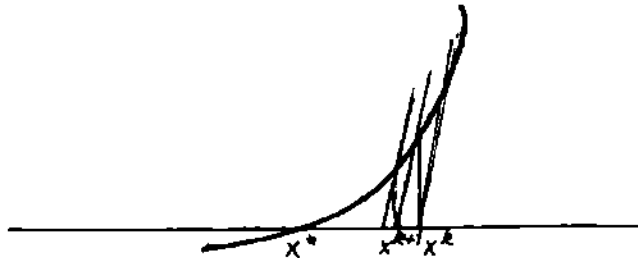
$$(2.33) \quad \lambda \leq 1, \quad \lambda < \|F'(x^*) - I\|^{-2}.$$

Iterația (2.27) va avea forma  $x^{k+1} = x^k - \lambda Fx^k$ , iteratie cunoscută sub numele de metoda liniilor paralele.

Pe baza teoremei 2.8 se obține :

**TEOREMA 2.9.** Presupunem că  $F$  este un operator diferențial Fréchet în punctul  $x^*$ , soluție a ecuației  $Fx = 0$  și că  $F'(x^*)$  este o matrice pozitiv definită cu constanta 1 [relația (2.22)]. Atunci  $x^*$  este punct de atracție pentru iteratia  $x^{k+1} = x^k - \lambda Fx^k$  unde  $\lambda$  este un număr pozitiv care satisface relațiile (2.33).

**Observații.** 1. În cazul  $n = 1$  metoda liniilor paralele are următoarea interpretare : iteratia următoare  $x^{k+1}$  se obține intersectând axa  $Ox$  cu o paralelă la o direcție fixă ( $\lambda$ ), dusă prin punctul de coordonate  $(x^k, f(x^k))$  (figura alăturată).



Este clar că în acest caz șirul  $\{x^k\}$  generat de metoda liniilor paralele converge dacă  $f$  este o funcție continuă strict crescătoare într-o vecinătate a soluției  $x^*$  și dacă  $\lambda < 1$ . Condiția (2.32) obținută pentru convergența metodei în cazul  $n$ -dimensional implică monotonia operatorului  $F$  într-o vecinătate a punctului  $x^*$ . Prin urmare teorema 2.9 reprezintă o generalizare naturală a metodei liniilor paralele de la cazul uni-dimensional.

2. Teorema 2.9 este prezentată în [30] cu condiția mai tare ca  $F$  să aibă derivata Fréchet mărginită pe o sferă centrată în  $x^*$ .

3. Metoda liniilor paralele a fost considerată de numeroși autori în spații finit dimensionale sau în spații Hilbert [67], [26], [38], [62].

2.5.3. Aplicație la ecuațiile cu diferențe corespunzătoare problemei Dirichlet eliptice slab neliniare. Considerăm problema Dirichlet eliptică slab neliniară (1.12) și ecuațiile cu diferențe standard (1.19). Vom scrie aceste ecuații sub o formă puțin modificată înmulțindu-le cu  $-h^2$ ; obținem astfel sistemul

$$\Delta x + \Phi x = 0,$$

unde  $\Delta$  este o matrice bloc triunghiulară de dimensiuni  $n \times n$  ( $n = m^2$ ) de forma

$$\Delta = \begin{pmatrix} \Delta & I & & 0 \\ I & \cdot & \cdot & \\ & \cdot & \cdot & I \\ 0 & & I & \Delta \end{pmatrix}, \quad \Phi = \begin{pmatrix} 4 & -1 & & 0 \\ -1 & \cdot & \cdot & \\ & \cdot & \cdot & -1 \\ 0 & & -1 & 4 \end{pmatrix}.$$

iar  $\Phi x$  este dat de  $h^2 [f(t_1, s_1, x_{11}), \dots, f(t_m, s_1, x_{m1}), \dots, f(t_1, s_m, x_{1m}), \dots, f(t_m, s_m, x_{mm})]^T$ .

Pentru rezolvarea numerică a sistemului aplicăm metoda iterativă (2.27). Vom presupune că funcția  $f$  are derivată parțială în raport cu  $u$  pe  $[0,1] \times [0,1] \times \mathbb{R}$  și că

$$|f_u(t, s, u)| \leq \beta, \quad x(t, s, u) \in [0,1] \times [0,1] \times \mathbb{R}.$$

În acest caz este clar că  $\Phi$  este diferențiablel Fréchet pe  $X_0$  și

$$\|\Phi'(x^k)\| = \max_{1,j} h^2 |f_u(t_1, s_j, x_{1j}^k)| \leq h^2 \beta.$$

Pe de altă parte ținând cont că valorile proprii ale matricii  $\Delta$

$$\text{sunt } \lambda_j = 4 \left( \sin^2 \frac{j\pi h}{2} + \sin^2 \frac{j\pi h}{2} \right), \text{ avem}$$

$$\|\Delta\| = \max_{1,j} 4 \left( \sin^2 \frac{j\pi h}{2} + \sin^2 \frac{j\pi h}{2} \right) < 8,$$

$$\|\Delta^{-1}\| = \max_{1,j} \left[ 4 \left( \sin^2 \frac{j\pi h}{2} + \sin^2 \frac{j\pi h}{2} \right) \right]^{-1} = \left( 8 \sin^2 \frac{\pi h}{2} \right)^{-1}.$$

de unde rezultă

$$\|A^{-1}\| \|\Phi'(x^m)\| \leq \frac{h^2 \beta}{8 \sin^2 \frac{\pi h}{2}} \rightarrow \frac{\beta}{2\pi^2}, \quad h \rightarrow \infty.$$

Prin urmare, dacă punem condiția  $\beta < 2\pi^2$ , atunci pentru  $n$  suficient de mare  $\|A^{-1}\| \|\Phi'(x^m)\| < 1$  și condiția (2.28) din teorema 2.7 este satisfăcută. Să mai observăm că deoarece  $\|A\| < 8$  constante  $\lambda$  se poate lua  $1/64$  (în acest caz  $\lambda = 1/64 < \|A\|^{-2}$ ). Ținând cont și de teorema 1.5 obținem

PROPOZIȚIA 1. Presupunem că  $f$  are derivată parțială în raport cu  $u$  pe  $[0,1] \times [0,1] \times \mathbb{R}$  și că

$$|f_u(t,s,u)| \leq \beta < 2\pi^2, \quad \forall (t,s,u) \in [0,1] \times [0,1] \times \mathbb{R}.$$

Atunci, pentru  $n$  suficient de mare, ecuația  $Ax + \Phi x = 0$  are soluție unică  $x^m \in \mathbb{R}^n$  care este punct de atracție pentru iterațiile

$$x^{k+1} = x^k - 64^{-1} A (Ax^k + \Phi x^k).$$

OBSERVAȚIE. După cum rezultă din testele numerice efectuate (paragraful 3.4) rata de convergență a acestei metode de calcul este scăzută. Dar acest rezultat are o semnificativă importanță de principiu. Teoremele 1.5 și 1.6 asigură existența și unicitatea soluțiilor ecuațiilor cu diferențe standard și respectiv convergența acestora la soluția problemei continue (1.12) dacă  $|f_u| \leq \beta < 2\pi^2$ ; prin urmare, este interesant să dispunem și de o metodă numerică de calcul care să asigure obținerea soluțiilor ecuațiilor cu diferențe în aceleași condiții. Metoda considerată satisface în parte acest deziderat, condiția principală care se cere pentru convergență ( $|f_u| \leq \beta < 2\pi^2$ ) fiind de aceeași natură cu condiția principală din teoremele 1.5 și 1.6.

Un rezultat similar se poate obține și prin aplicarea metodei liniilor paralele. Vom scrie ecuațiile cu diferențe sub forma  $Ax + \Phi x = 0$ , unde  $A$  are forma (1.16) dar cu semn schimbat iar

$f$  este definit în 1.3.3. Cel mai mică valoare proprie a lui  $A$  este  $\lambda_1 = 8h^{-2} \sin^2 \frac{\sqrt{2}h}{2}$  și  $\lambda_1 \rightarrow 2\pi^2$ ,  $h \rightarrow 0$ . Luăm  $Fx = Ax + \Phi x$  și facem presupunerea că  $f_{\min} \geq -\eta$ , obținem

$$\begin{aligned} \langle F'(x)y,y \rangle &= \langle [A + \Phi'(x)]y,y \rangle = \langle Ay,y \rangle + \langle \Phi'(x)y,y \rangle \\ &\geq (\lambda_1 - \eta) \|y\|^2 \rightarrow (2\pi^2 - \eta) \|y\|^2. \end{aligned}$$

Condiția (2.32) se reduce la  $2\pi^2 - \eta > 1$  sau  $\eta < 2\pi^2 - 1$ . Din teorema 2.9 rezultă

COROLARUL 2. Presupunem că  $f$  are derivată parțială în raport cu  $u$  pe  $[0,1] \times [0,1] \times \mathbb{R}$  și că

$$f_{,u}(t,s,u) \geq -\eta > -2\pi^2 + 1, \quad \kappa(t,s,u) \in [0,1] \times [0,1] \times \mathbb{R}.$$

Atunci, pentru  $n$  suficient de mare, ecuația  $Ax + \Phi x = 0$  are soluție unică  $x^* \in \mathbb{R}^D$  care este punct de atracție pentru metoda liniilor paralele

$$x^{k+1} = x^k - \lambda(Ax^k + \Phi x^k).$$

Rezultate asemănătoare se pot enunța și pentru ecuațiile cu derivate corespunzătoare problemei la limită oțelului slab polinomial (1.2).

## 2.6. METODA LUI FRIDMAN

Ținând cont de eficiența deosebită a metodei lui Fridman pentru rezolvarea ecuațiilor neliniare (paragraful 3.3) vom prezenta în cele ce urmează o analiză separată a convergenței acestei metode în spații finite dimensionale [53], [56]. Condițiile de convergență sînt substanțial mai slabe decît cele din corolarul 3 (paragraful 2.4.5), sau decît cele din lucrarea [12].

2.6.1. Introducere. După cum s-a mai precizat, metoda lui Fridman (2.24) este o metodă de tip gradient în care lungimea pasului este  $\lambda_k = \|Fx^k\|^2 / \|F'(x^k)^T Fx^k\|^2$ . Această valoare se obține printr-o anumită aproximație a valorii  $\lambda$  care minimizează funcționala  $\|x^k - F'(x^k)^T Fx^k\|^2$ .

Metoda lui Fridman se poate obține și pe calea următoare :

Porcăm de la metoda lui Newton  $x^{k+1} = x^k - F'(x^k)^{-1} Fx^k$  și determinăm iterația următoare  $x^{k+1}$  rezolvând sistemul liniar

$$F'(x^k)s = F'(x^k)x^k - Fx^k.$$

Să notăm  $F'(x^k) = A$ ,  $b = F'(x^k)x^k - Fx^k$ . Vom rezolva acest sistem cu metoda iterativă propusă de Altman [1]

$$z^{j+1} = z^j - \frac{\|Az^j - b\|^2}{\|A^T(Az^j - b)\|^2} A^T(Az^j - b),$$

care converge cu singura condiție ca  $A$  să fie nesingulară. Soluția acestui sistem  $z^j$  este tocmai iterația următoare  $x^{k+1}$ . Întrucât  $z^j$  (sau  $x^{k+1}$ ) este apropiat de  $x^k$  vom lua  $z^0 = x^k$  și vom lua în procesul iterativ de mai sus o singură iterație, deci vom face aproximația  $z^j \approx z^1$ . Efectuând calculele se obține

$$(2.34) \quad x^{k+1} = x^k - \frac{\|Fx^k\|^2}{\|F'(x^k)^T Fx^k\|^2} F'(x^k)^T Fx^k,$$

adică tocmai metoda lui Fridman (2.24).

Să observăm că în cazul  $n = 1$  această metodă coincide cu metoda lui Newton.

**2.6.2. Analiza convergenței.** Vom demonstra mai întâi o lemă ajutătoare. Ca și în paragraful precedent vom considera norma euclidiană pe spațiul  $\mathbb{R}^n$ .

**LEMA 2.8.** Presupunem că  $F$  este un operator diferențial Fréchet pe o sferă deschisă  $S = S(x^0, r)$  și că următoarele condiții sînt îndeplinite

- 1)  $\|F'u - F'(v)\| \leq K\|u - v\|$  ,  $\forall u, v \in S$ .
- 2) există  $F'(x)^{-1}$  și  $\|F'(x)^{-1}\| \leq B$  ,  $\forall x \in S$ .
- 3)  $rKB < 1$ .

Atunci

$$(2.35) \quad 2 \langle y - x, F'(x)^T(Fy - Fx) \rangle \gg \|Fy - Fx\|^2 \quad , \quad \forall x, y \in S.$$

Demonstrație. Ținând cont de condiția 1) putem aplica formula de medie cunoscută

$$\| Fy - Fx - F'(x)(y - x) \| \leq \frac{1}{2} K \|y - x\|^2, \quad \forall x, y \in S.$$

Dacă notăm  $Fy - Fx - F'(x)(y - x) = R(x, y)$  și utilizăm această relație și condițiile 2), 3) obținem pentru orice  $x, y \in S$

$$\begin{aligned} \| F'(x)(y - x) \| &\geq \| F'(x)^{-1} \|^{-1} \|y - x\| \\ &\geq \mu^{-1} \|y - x\| \geq \mu \|y - x\| > \frac{1}{2} K \|y - x\|^2 \\ &\geq \|R(x, y)\|^2. \end{aligned}$$

Așadar

$$\begin{aligned} 2 \langle y - x, F'(x)^T (Fy - Fx) \rangle - \|Fy - Fx\|^2 &= \\ = 2 \langle F'(x)(y-x), F'(x)(y-x) + R(x, y) \rangle - \|F'(x)(y-x) + R(x, y)\|^2 &= \\ = \|F'(x)(y-x)\|^2 - \|R(x, y)\|^2 > 0. \end{aligned}$$

**OBSERVAȚII.** 1. Lema rămâne valabilă în spații Hilbert reale cu singură modificare ca în condiția 2) să presupunem că operatorul  $F'(x)$  are inversa mărginit pentru orice  $x \in S$ .

2. Dacă pentru un  $x^0 \in S$  există o vecinătate  $V \subset S$  a lui  $x^0$  astfel încât  $y \in V, y \neq x^0 \Rightarrow Fy \neq Fx^0$  atunci din continuitatea lui  $F$  și a lui  $F'$  rezultă că  $\langle y - x, F'(x^0)^T (Fy - Fx) \rangle > 0$  pe o anumită sferă centrată în  $x^0$  și pentru  $x \neq y$ . Aceste înseamnă că operatorul  $F'(x^0)^T F$  este monoton. O astfel de situație apare ca naturală dacă se ține cont că metoda (2.34) poate fi considerată ca o metodă a liniilor paralele aplicată operatorului  $F'(x^0)^T F$ .

În particular, dacă  $x^*$  este soluție a ecuației  $Fx = 0$  și luăm  $y = x^*$ , relația (2.35) devine

$$(2.36) \quad 2 \langle x - x^*, F'(x)^T Fx \rangle \geq \|Fx\|^2.$$

**TEOREMA 2.10.** Presupunem că toate condițiile din lema 2.8 sînt satisfăcute și că  $x^*$  este soluție a ecuației  $Fx = 0$ . Atunci șirul  $\{x^k\}$  generat de (2.34) converge la  $x^*$ .

Demonstrație. Vom arăta că operatorul  $T : b - \{x^m\} \rightarrow \mathbb{R}^n$

definit de

$$Tx = x - \frac{\|Fx\|^2}{\|F'(x)^T Fx\|^2} F'(x)^T Fx$$

este cuasi-contractiv pe  $b - \{x^m\}$ .

AVEM

$$\begin{aligned} \|Tx - x^m\|^2 &= \|x - x^m - \frac{\|Fx\|^2}{\|F'(x)^T Fx\|^2} F'(x)^T Fx\|^2 = \\ &= \|x - x^m\|^2 - 2 \frac{\|Fx\|^2}{\|F'(x)^T Fx\|^2} \langle x - x^m, F'(x)^T Fx \rangle + \frac{\|Fx\|^4}{\|F'(x)^T Fx\|^2} \\ &= \|x - x^m\|^2 - \frac{\|Fx\|^2}{\|F'(x)^T Fx\|^2} (2 \langle x - x^m, F'(x)^T Fx \rangle - \|Fx\|^2). \end{aligned}$$

Ținând cont de (2.36) rezultă

$$\|Tx - x^m\|^2 < \|x - x^m\|^2.$$

Prin urmare  $T$  este cuasi-contractiv și deci putem aplica lema 2.3.

OBSERVAȚII. 1. Condițiile lemei 2.3 sînt asemănătoare cu cele din teorema lui Kantorovici [20].

2. Condițiile de convergență în cazul nostru sînt mai slabe decît cele impuse de Fridman [12].



## CAPITOLUL 3.

### ALGORITMI DE CALCUL SI PROGRAME FORTRAN

In acest capitol se analizează algoritmi de calcul corespunzător metodelor numerice prezentate în capitolul 2 și se dau schemele logice și programele FORTRAN corespunzătoare. Exemplele numerice considerate sînt ecuații cu diferențe corespunzătoare unor probleme la limită neliniare concrete (ecuații diferențiale ordinare sau cu derivate parțiale) selectate astfel încît să se pună în evidență particularitățile metodelor numerice aplicate. În redactarea schemelor logice s-au folosit simbolurile convenționale obișnuite [64], [35] și s-au dat explicații cu caracter general.

#### 3.1. METODA ITERATIILOR SIMPLE

În acest paragraf se consideră ecuația (2.5) și metoda iterativă (2.6) (metoda iterațiilor simple), pentru care se prezintă un program FORTRAN general. Exemplul tratat la punctul 3.1.3 reprezintă ecuațiile cu diferențe corespunzătoare unei probleme la limită bilocală slab neliniară de formă (1.10).

##### 3.1.1. Algoritmul de calcul. Metoda iterativă (2.6).

$$A(x^k)x^{k+1} = \Phi x^k,$$

comportă ca rezolvare principală, rezolvarea unui sistem liniar cu matricea  $A(x^k)$  și termenii liberi  $\Phi x^k$ , la fiecare pas de iterație. Algoritmul de calcul se poate concepe pentru ecuații neliniare de formă (2.5) carecure sau pentru ecuații particulare, de exemplu pentru ecuații cu diferențe corespunzătoare unor probleme la limită neliniare. În cazul general este necesară o procedură pentru rezolvarea sistemelor liniare carecure sau utiliza-

res suprogrameelor corespunzătoare din biblioteca matematică (RESOL, DRESOL, etc., în cazul sistemului PALIX) ; în cazuri particulare se pot utiliza proceduri speciale în scopul reducerii consumului de timp și de memorie.

Vom trata în continuare cazul general și cazul ecuațiilor cu diferențe corespunzătoare unei probleme la limită olocale slab neliniare.

Cazul general. Principalele etape de calcul sînt :

Step 1. Se atribuie lui  $x$  valoarea  $x^0$  ; prin  $x$  notăm iterația curentă ( $x^k$ ) iar  $x^0$  se citește dintr-un fișier de intrare sau se generează cu instrucția DATA ;

Step 2. Se calculează matricea  $A$  și termenul liber  $B$  utilizînd valoarea  $x$  (iterația curentă) ;

Step 3. Se calculează iterația următoare  $y$  prin rezolvarea sistemului liniar  $Ay = B$  ;

Step 4. Se compară iterația actuală  $x$  cu iterația următoare  $y$  ; dacă  $\|x - y\| \approx \epsilon$  procesul de calcul se oprește ; în caz contrar se înlocuiește  $x$  cu  $y$  și se continuă etapa a doua.

Cazul ecuațiilor cu diferențe (1.4). Vom înmulți ecuațiile (1.4) cu  $-h^2$  astfel încît obținem

$$\Delta x = \Phi x ,$$

unde matricea  $A$  este dată de (1.1), exceptînd factorul  $-h^2$  și  $\Phi x = -h^2(f(t_1, x_1), \dots, f(t_n, x_n))^T$ . Întrucît matricea  $A^{-1}$  se poate determina explicit [48], [24], vom scrie procesul iterativ (2.6) sub forma

$$(3.1) \quad x^{k+1} = A^{-1} \Phi x^k .$$

Este clar că în acest caz calculul se simplifică substanțial, rezolvarea unui sistem liniar la fiecare pas de iterație înlocuindu-se cu operația mai simplă de înmulțire a unei matrici cu un

vector. Că mai observăm că intrucît valoarea numerică a unui element a lui  $A^{-1}$  depinde numai de cei doi indici ai elementului, este suficient să generăm succesiv cite o linie a matricii  $A^{-1}$ , ceea ce permite stînerea succesivă a elementelor produsului  $A^{-1} \phi x^k$ . Se evită astfel stocarea matricii  $A^{-1}$  și un consum mare de memorie.

Principalele etape de calcul sînt :

Step 1. Se atribuie lui  $x$  valoarea inițială  $x^0$ ;

Step 2. Se calculează iteratia următoare  $y$  prin înmulțirea matricii  $A^{-1}$  cu  $\phi x$ ,  $y = A^{-1} \phi x$ ;

Step 3. Se compară iteratia curentă  $x$  cu iteratia următoare  $y$ ; dacă  $\|x - y\| \approx 0$ , procesul de calcul se oprește; în caz contrar se înlocuiește  $x$  cu  $y$  și se continuă cu etapele 2 și 3.

În cazul ecuațiilor cu derivate (1.11) principalele etape de calcul sînt cele prezentate în cazul general.

### 3.1.2. Scheme logice și programe FURMAN.

Cazul general. Rezolvarea sistemului liniar se realizează cu un subprogram propriu numit FURMAN, cu trei parametri formali  $A, d, N$ , reprezentînd respectiv matricea coeficienților, coloana termenilor liberi și dimensiunea sistemului. Subprogramul utilizează procedura obișnuită de eliminare Gauss; după apel subprogramul furnizează soluția în  $x$  și  $d$ . În cazul în care determinantul sistemului este zero (această situație este testată cu o constantă EPS a subprogramului), calculul este oprit și se editează un mesaj corespunzător.

Generarea matricii  $A$  și a termenilor liberi  $d$  se realizează cu subprogramul  $\Delta C(N, A, d, HP, X)$ .

$N$  = dimensiunea sistemului;

$A$  = matricea sistemului de dimensiune  $N \times N$  —  $A(x^k)$ ;

$d$  = coloana termenilor liberi ( $N \times 1$ ) —  $d = \phi(x^k)$ ;

$$HP = 1./(\mathbb{N} + 1)^2 ;$$

$$X = \text{itera\c t\i e curent\c a} \text{ --- } x^k.$$

Procedura ITBDM descrie metoda itera\c iilor simple, put\i nd fi sto-  
cast\c a intr-o bibliotec\c a surd\c a. In acest caz utilizatorului fi revin-  
de doar sarcina de-a apela aceasta rutin\c a, preciz\i nd itera\c ia  
ini\c ial\c a  $x_0$ , dimensiunea sistemului ( $\mathbb{N}$ ), precizie de calcul ( $\mathbb{EPS}$ ),  
num\c arul maxim de itera\c ii  $LK$  precum \c i matricile  $A, B$  prin sub-  
rutine AC. ITBDM va furniza un cod prin care utilizatorul va pu-  
tea deduce modul in care s-au desf\c a\c urat calculele :

KOD = 0      SOLUTIE NORMAL\c A

KOD = 2      DEP\c ASIREA NUM\c ARULUI DE ITERA\c TII.

Dup\c a calculul fiec\c arei itera\c ii se imprim\c a num\c arul curent al  
itera\c iei \c i componentele itera\c iei curente ; num\c arul de itera\c ii  
este limitat de  $LK$ .

Schema logic\c a este dat\c a in figura 3.1 iar programul FORTRAN  
corespunz\c ator este prezentat in continuare.

Blocul 1. Ini\c ializarea pe zero a indicelui itera\c iilor  $K$   
si a codului de func\c ionare al programului, precizarea pasului de  
discretizare  $H$  ;

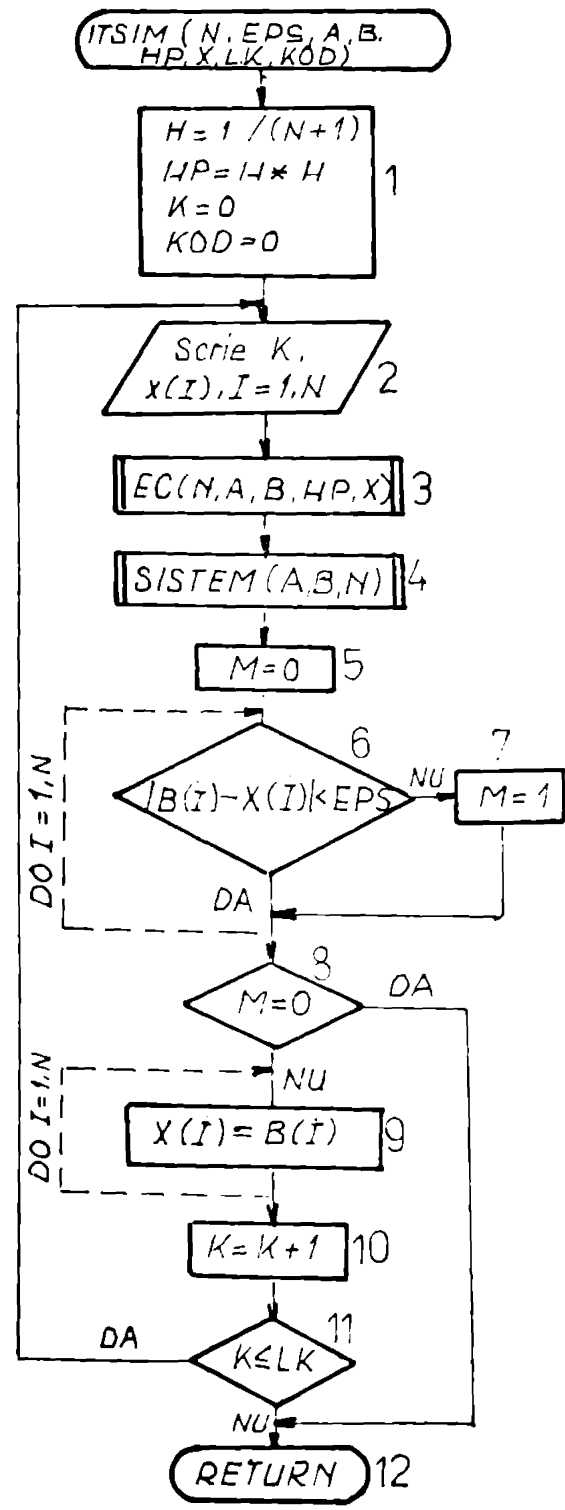
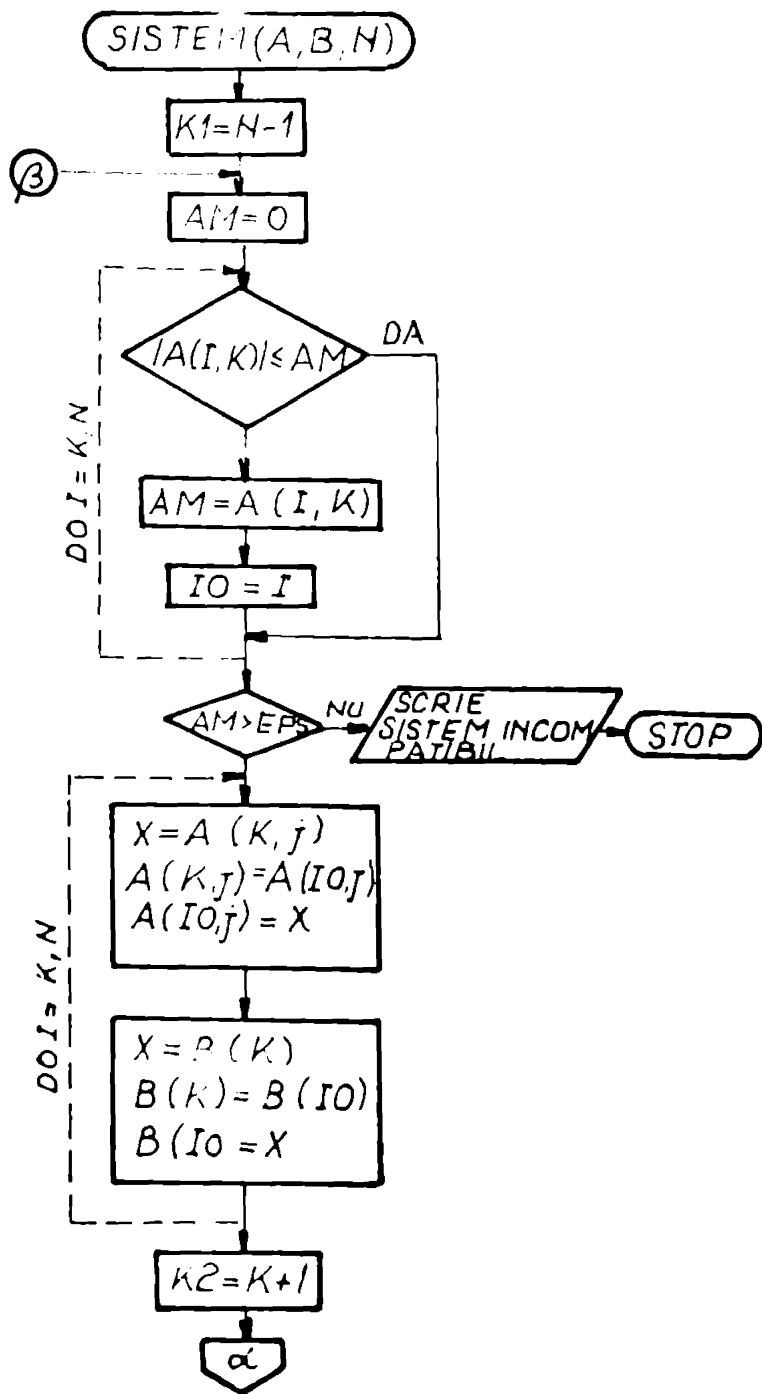
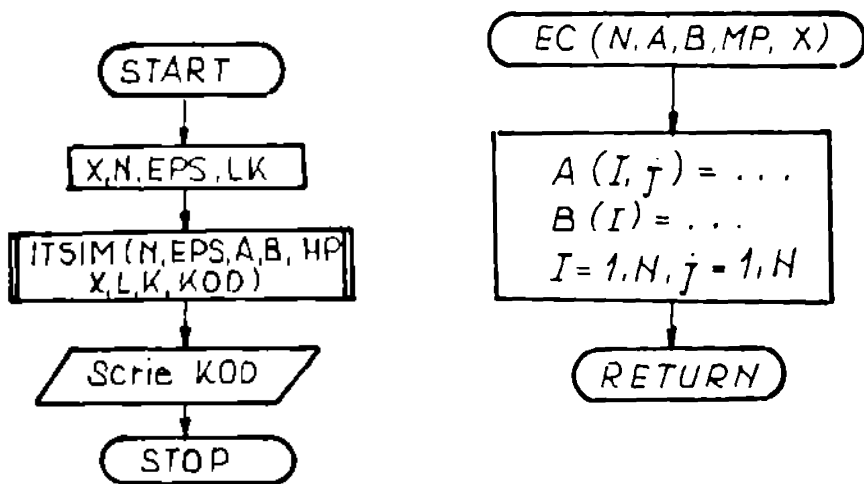
Blocul 2. Tip\c arirea indicelui itera\c iilor si a componentelor  
itera\c iei curente  $X$  ;

Blocul 3. Generarea matricii  $A$  si a coloanei termenilor li-  
beri  $B$  utiliz\i nd itera\c ia curent\c a  $X$ , prin subrutine AC ;

Blocul 4. Apelarea subprogramului SIBFDM pentru calculul ite-  
ra\c iei urm\c atoare  $y$  ; componentele acestea se ob\c in in zona  $B$  ;

Blocurile 5,6,7,8,12. Efectuarea testului  $\|y - x\| = \|B - x\| =$   
 $= 0$  (s-a considerat norma max si o constant\c a  $\mathbb{EPS}$  a programu-  
lui) si oprirea calculelor (blocul 12) dac\c a testul este verificat,

Blocul 9. Inlocuirea itera\c iei curente  $X$  cu itera\c ia urm\c a-  
toare  $B$ .



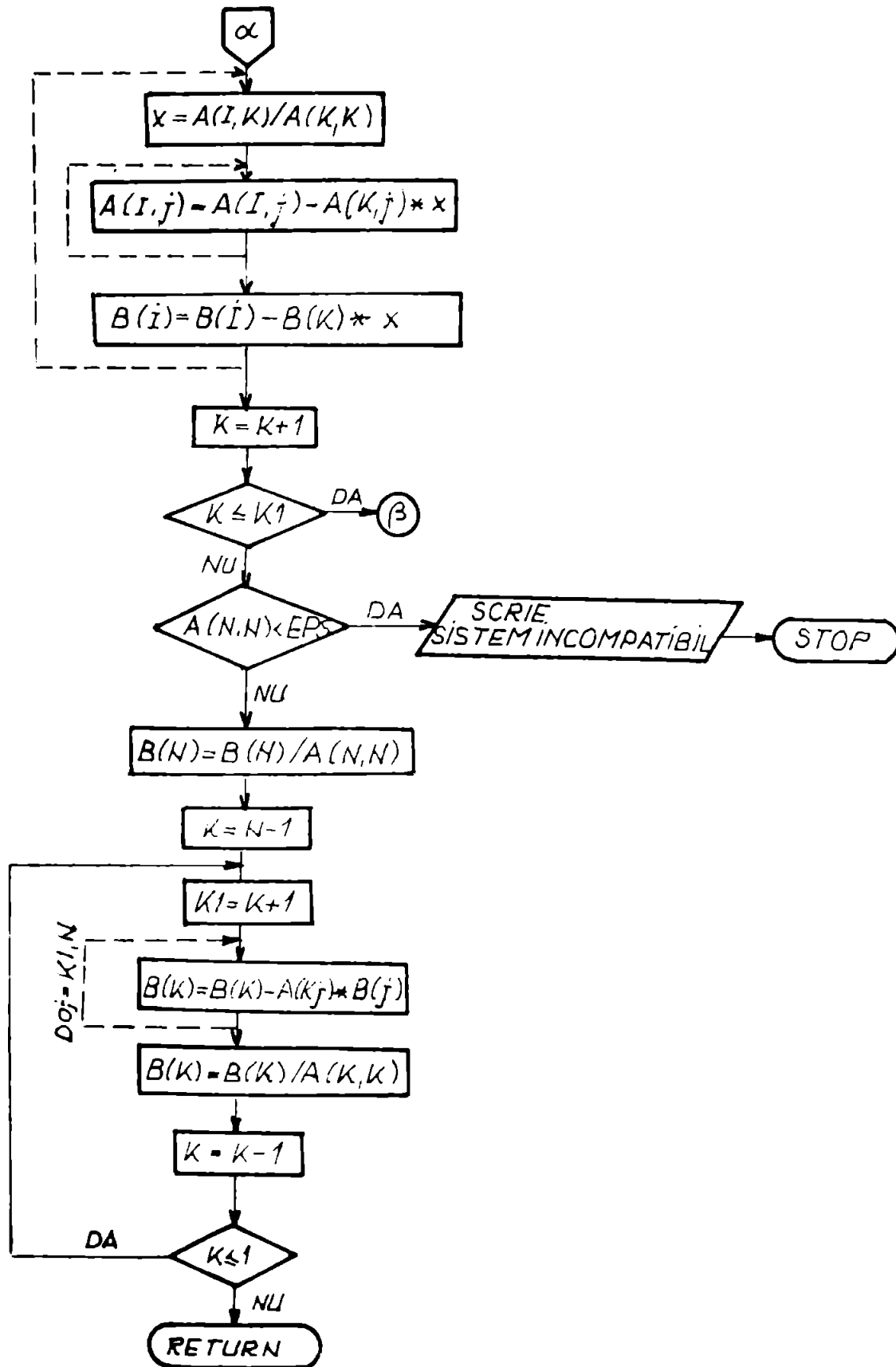


Fig. 3.1.

Blocurile 10 și 11. Actualizarea indicelui iterațiilor și  
limitarea valorii acestuia la LK.

```
DIMENSION X(6),A(6,6),B(6)
DATA X/600./
DATA N,SPS,LK/6,0.001,100/
CALL ITSDM(N,SPS,A,B,HP,I,LK,KOD)
WRITE(108,1)KOD
1 FORMAT(1X,'KOD=',I3)
STOP
END
```

C PRECIZAM SISTEMUL  $A(X)X=FIX$  PRIN  $A=A(X)$  SI  $B=FIX$

```
SUBROUTINE SC(N,A,B,HP,X)
DIMENSION A(N,N),B(N),X(N)
DO 10 I=1,N
DO 10 J=1,N
10 A(I,J)=0.
A(1,1)=2+HP*SDM(X(1))
A(1,2)= -1
A(N,N)=2+HP*SDM(X(N))
A(N,N-1)= -1
B(1)=HP
B(N)=HP
L=N-1
DO 5 I=2,L
A(I,I-1)= -1
A(I,I+1)= -1
A(I,I)=2+HP*SDM(X(I))
5 B(I)=HP
RETURN
END
```

C REZOLVAREA SISTEMULUI

```
SUBROUTINE SISTEM(A,B,N)
DIMENSION A(N,N),B(N)
SPS=1.A-B
K1=N-1
DO 10 K=1,K1
AM=0
DO 11 I=K,N
```

```
IF(ABS(A(I,K)).LE.AM)GO TO 11
AM=ABS(A(I,K))
IO=I
11 CONTINUE
IF(AM.GT.EPS)GO TO 20
22 WRITE(108,21)
21 FORMAT(5X,'SISTEM LINIAR INCOMPATIBIL')
STOP
20 DO 12 J=K,N
X=A(K,J)
A(K,J)=A(IO,J)
12 A(IO,J)=X
X=B(K)
B(K)=B(IO)
B(IO)=X
K2=K+1
DO 13 I=K2,N
X=A(I,K)/A(K,K)
DO 14 J=K,N
14 A(I,J)=A(I,J)-A(K,J)*X
13 B(I)=B(I)-B(K)*X
10 CONTINUE
IF(ABS(A(N,N)).LT.EPS)GO TO 22
B(N)=B(N)/A(N,N)
K=N-1
23 K1=K+1
DO 15 J=K1,N
15 B(K)=B(K)-A(K,J)*B(J)
B(K)=B(K)/A(K,K)
K=K-1
IF(K.GE.1)GO TO 23
RETURN
END
```

C METODA ITERATIILOR SIMPLA  $A(X)X-F(X)=0$

```
SUBROUTINE ITDIM(N,AP0,A,B,HP,X,LE,K0)
DIMENSION ION(N,N),B(N),X(N)
H=1./N+1)
HP=H*H
K=0
K0=0
WRITE(108,20)
```



```

20 FORMAT(IX,'PIERATIA',10X,'SOLUTIA')
4 PRINT 1,K,(X(I),I=1,N)
1 FORMAT(IX,I3,6X,(10F12.6))
CALL AC(N,A,B,HP,X)
CALL SISTEM(A,B,N)
M=0
DO 2 I=1,N
IF(ABS(B(I)-X(I)).GE.APB)M=1
2 CONTINUE
IF(M.EQ.0)RETURN
DO 30 I=1,N
30 X(I)=B(I)
K=K+1
IF(K.LE.IK)GO TO 4
K=2
RETURN
END

```

Pentru  $N=6$  în două iterații s-a obținut soluția (LISTING 1)  
 $x=(0,060677 \quad 0,100942 \quad 0,121048 \quad 0,121048 \quad 0,100942 \quad 0,060677)$ .

Cazul ecuațiilor cu diferențe (1.4). Produsul dintre matricea  $A^{-1}$  și  $\Phi x$  se efectuează fără generarea matricei  $A^{-1}$ , ținând cont că

$$a_{ij}^{-1} = \begin{cases} \frac{i(n-j+1)}{n+1} & , i \leq j \\ \frac{j(n-i+1)}{n+1} & , i > j. \end{cases}$$

Componentele lui  $\Phi x$  se calculează cu ajutorul unei funcții definite  $F$  cu doi parametri  $T$  și  $Z$ , reprezentând respectiv valorile actuale ale lui  $t_j$  și  $x_j$  (partea dreaptă a funcției definite coincide cu  $f$ ). În general într-o problemă la limită de formă (1.2) funcția  $f$  este definită cu o singură formulă explicită, astfel încât utilizarea unei funcții definite apare ca cel mai simplu și mai natural procedeu de a calcula componentele lui  $\Phi x$ ; dacă  $f$  este definită în alt mod, calculul acestor componente se va efectua într-un subprogram iar în programul principal se vor prevedea instrucțiunile de apel corespunzătoare.

Ce și în cazul general, după calculul fiecărei iterații se imprimă numărul curent al iterației și componentele iterației curente ; numărul de iterații este limitat de  $LK$ .

Schema logică este dată în figura 3.2 iar programul FORTRAN corespunzător este prezentat în continuare.

Blocurile 1,2,3,4. Precizarea funcției  $f(t,u)$ , a pasului de discretizare, a preciziei de calcul, a numărului maxim de iterații,  $\alpha$ ,  $\beta$  și a iterației inițiale  $x_0$  ;

blocul 5. Tipărirea indicelui iterațiilor și a componentelor iterației curente  $X$  ;

blocurile 6,7. Limitarea numărului de iterații la  $LK$  și oprirea programului în caz de depășire (blocul 8) ;

Blocurile 10,11,12,13,14,15. Calculul iterației următoare  $Y$  ;

Blocurile 9,16,17,18,8. Efectuarea testului  $\|Y-\lambda\| \approx 0$  (s-a considerat norma max și o constantă EPS a programului) și oprirea calculului (blocul 8) dacă testul este verificat.

Blocul 19. Înlocuirea iterației curente  $X$  cu iterație următoare  $Y$  ;

```
DIMENSION Y(100),X(100)
F(TJ,Z)=TJ-TJ+Z**3
DATA N,EPS,ALFA,BETA,LK/6,0.00001,0.,1.,100/
H=1./(N+1)
HP=H**H
K=0
T=H
DO 1 I=1,N
X(I)=(BETA-ALFA)*T+ALFA
1 T=T+H
7 WRITE(108,2)K,(X(I),I=1,N)
2 FORMAT(5X,'ITERATIA',I4/(5X,10F10.6)
K=K+1
IF(K.GT.LK)STOP
M=0
DO 3 I=1,N
```

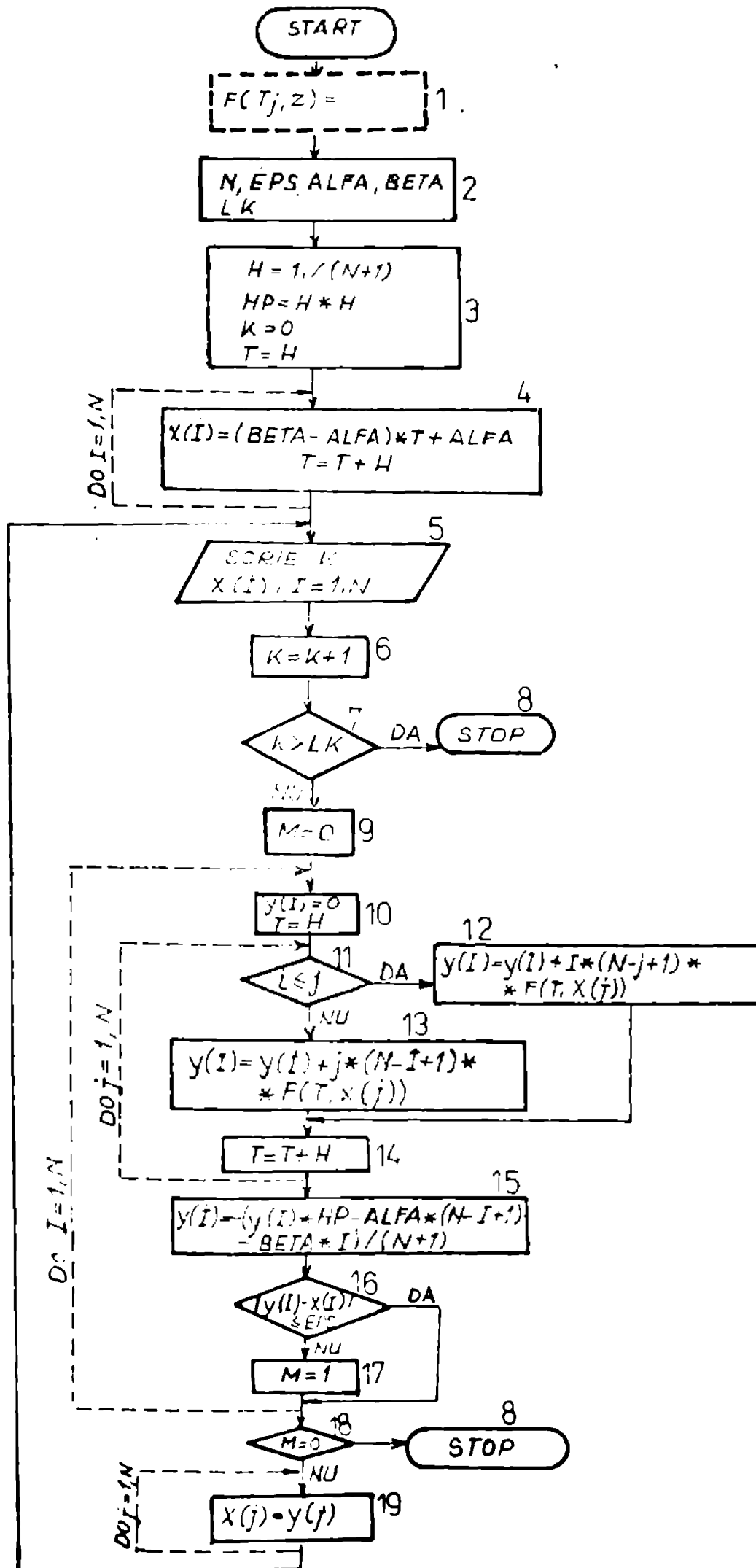


Fig. 3.2.

```

Y(I)=0
T=H
DO 4 J=1,N
  IF(I,LE,J)GO TO 5
  Y(I)=Y(I)+J*(N-I+1)*F(T,X(J))
  GO TO 4.
5 Y(I)=Y(I)+I*(N-J+1)*F(T,X(J))
4 T=T+H
  Y(I)= -(Y(I)+HP-ALPHA*(N-I+1)-SEYAN*I)/(N+1)
  IF(ABS(Y(I)-X(I)).LE.EPS)GO TO 3
N=N-1
3 CONTINUE
  IF(N.EQ.0)STOP
  DO 6 J=1,N
6 X(J)=Y(J)
  GO TO 7
END

```

după 4 iterații, pentru  $N=6$  s-a obținut soluția (LISTING 2)  
 $x = (0.136618, 0.273288, 0.410374, 0.548871, 0.690741, 0.839337).$

Cealaltă ecuație cu diferențe (1.11). Considerăm ecuația

(1.11) sub forma

$$A(x)x = \Phi x$$

cu

$$(3.2) \quad A(x) = \begin{pmatrix} 2+h^2e(x_1) & -1 & & & 0 \\ -1 & & 2+h^2e(x_2) & -1 & & \\ & & & & & & \\ & & & & & & & -1 \\ 0 & & & & -1 & & 2+h^2e(x_n) \end{pmatrix}$$

și

$$(3.3) \quad \Phi x = -h^2 \begin{pmatrix} f(t_1, x_1) \\ \vdots \\ f(t_n, x_n) \end{pmatrix}$$

Generarea elementelor matricii  $A$  o vom face cu ajutorul unei funcții definite  $\Lambda(x)$  cu parametrul  $x$ , reprezentând valorile actuale ale lui  $x_j$  (partea dreaptă a funcției definite coincide

de cu  $s(u)$ ). În mod esențial componentele lui  $\Phi x$  le vom calcula cu funcția definită  $F$  cu doi parametri  $T_j$  și  $X$ , reprezentând respectiv valorile actuale ale lui  $t_j$  și  $x_j$  (partea dreaptă a funcției definite coincide cu  $f$ ). În general într-o problemă de limită de formă (1.10) funcțiile  $f$  și  $s(u)$  sînt definite cu o singură formulă explicită, astfel încît utilizarea funcțiilor explicite apare ca cel mai simplu și mai natural procedeu de a calcula componentele lui  $\Phi x$  și  $A(x)$ .

Rezolvarea sistemului liniar se realizează cu subprogramul `SISTEM` prezentat la cazul general. După calculul fiecărei iterații se imprimă numărul curent al iterației și componentele iterației curente, numărul de iterații limitîndu-se la 100. Schema logică (Fig.3.3) și programul `FORTRAN`, le vom prezenta în continuare.

Blocul 1. Precizarea funcției  $s(u)$  și  $f(t,u)$ .

Blocul 2. Matricea  $A(x^k)$  fiind o matrice rară, vom pune pe zero toate elementele ei urmînd să generăm numai elementele diferite de zero (blocurile 6,7). Se precizează pasul de discretizare și precizia de calcul.

Blocurile 3 și 4. Alegerea iterației inițiale  $x_0$ .

Blocul 5. Tipărirea indicelui iterațiilor și a componentelor iterației curente.

Blocurile 6,6',7. Generarea matricei  $A(x^k)$  și a lui  $\Phi x^k = B$ .

Blocul 8. Se apelează subprogramul `SISTEM` pentru calculul iterației următoare ; componentele acesteia se obțin în zona  $B$ .

Blocurile 9,10,11,12,13. efectuarea testului  $\|x^{k+1} - x^k\|_2 = \|B - X\| \approx 0$  ( $\epsilon$ -se considerat norma max și o constantă  $\Delta P$  a programului) și oprirea calculului (blocul 13) dacă testul este verificat.

Blocul 14. Înlocuirea iterației curente  $X$  cu iterația ur-

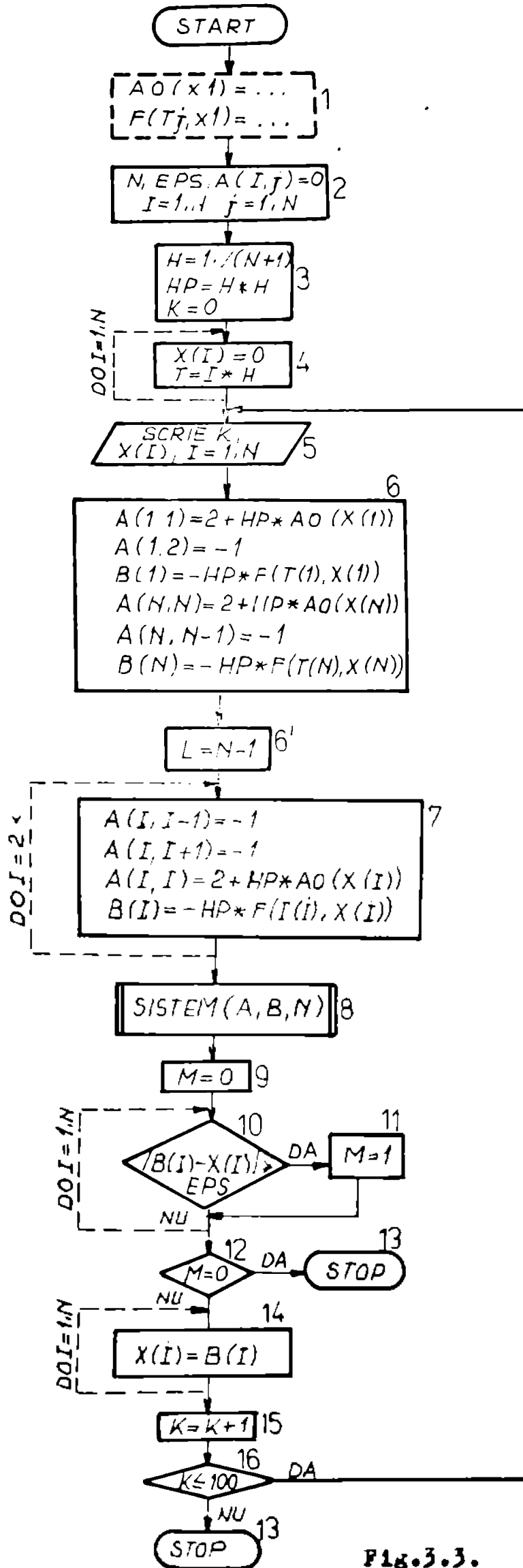


Fig.3.3.

măteare B.

Blocurile 15,16,13. Actualizarea indicelui iterațiilor și  
limitarea valorii acestuia la 100.

```
DIMENSION A(10,10),B(10),X(10),T(10)
AO(X1)=SIN(X1)
P(TJ,X1)=TJ-TJ+X1-X1-1
DATA N,SPS,A/10,0.00001,100=0./
H=1./(N+1)
HF=H*H
K=0
DO 10 I=1,N
X(I)=0.
10 T(I)=I*H
WRITE(108,20)
20 FORMAT(1X,'ITERATIA',10X,'SOLUTIA')
5 WRITE(108,1)K,(X(I),I=1,N)
1 FORMAT(1X,I3,6X,(10F12.6))
A(1,1)=2+HF*AO(X(1))
A(1,2)= -1
A(1)= -HF*P(T(1),X(1))
A(N,N)=2+HF*AO(X(N))
A(N,N-1)= -1
A(N)= -HF*P(T(N),X(N))
L=N-1
DO 2X=2,L
A(I,I-1)= -1
A(I,I+1)= -1
A(I,I)=2+HF*AO(X(I))
2 B(I)= -HF*P(T(I),X(I))
CALL SYSTEM(A,B,N)
M=0
DO 3 I=1,N
IF(ABS(B(I)-X(I)).GE.SPS)M=1
3 CONTINUE
IF(M.EQ.0)STOP
DO 4 I=1,N
4 X(I)=B(I)
K=K+1
IF(K.LT.100)GO TO 5
STOP
END
```

Urmează succrutina LISTAM descriaă la cazul general.

Iterațiile succesive pentru diferite valori ale lui N sînt:

N=10 LISTING 3

NO.	$x_1$	$x_2$	...	$x_{10}$
0	0.000000	0.000000	...	0.000000
1	0.041372	0.074380	...	0.041322
2	0.040948	0.073646	...	0.040948
3	0.040952	0.073654	...	0.040952

N=6 LISTING 4

NO.	$x_1$	$x_2$	...	$x_6$
0	0.000000	0.000000	...	0.000000
1	0.061224	0.102041	...	0.061224
2	0.060637	0.100942	...	0.060637
3	0.060644	0.100954	...	0.060644

### 3.2. METODA DIRECTIILOR ALTERNANTE

În acest paragraf se consideră ecuația (2.12) și metoda iterativă (2.13) sub forma (2.14), pentru care se prezintă un program FORTRAN general. Exemplele tratate la punctele 3.2.2, 3.2.3 reprezintă ecuațiile cu diferențe (1.4) corespunzătoare unei probleme la limită olocală slab neliniară de formă (1.2), respectiv (1.11) corespunzătoare problemei la limită olocală ovaaliniară (1.10).

#### 3.2.1. Algoritmul de calcul. Metoda iterativă

$$r x^{k+1/2} + \Delta(x^k) x^{k+1/2} = r x^k - \bar{\phi} x^k$$

$$r x^{k+1} + \bar{\phi} x^{k+1} = r x^{k+1/2} - \Delta(x^k) x^{k+1/2}$$

comportă pentru rezolvarea primei ecuații, rezolvarea unui sistem liniar cu matricea  $rI + \Delta(x^k)$  și termenii liberi  $r x^k - \bar{\phi} x^k$ , iar pentru cea de-a doua ecuație rezolvarea unui sistem neliniar, la fiecare pas de iterație. Pentru ecuațiile neliniare de formă 2.14



cerere, algoritmul de calcul necesită o procedură specială - SISTEM (§3.1.2) sau utilizarea subprogramelor corespunzătoare din biblioteca matematică (REBOL, REBOL, etc., în cazul sistemului PALIX) pentru rezolvarea sistemului liniar. Ca de-a doua ecuație 2.12 scriem sub formă

$$rx^{k+1} + \bar{\Phi}x^{k+1} - r = 0 \quad \text{unde}$$

$$r = [rI - A(x^k)] x^{k+1/2}$$

comportă rezolvarea a  $n$  ecuații cu o singură necunoscută

$$(3.4) \quad rx_i^{k+1} + \bar{\Phi}_i x_i^{k+1} - r_i = 0 \quad i = \overline{1, n},$$

pentru care putem aplica una din metodele cunoscute (Newton, coordel, secantei etc.). Vom trata în continuare cazul general, cazul ecuațiilor cu diferențe corespunzătoare problemei (1.2) și (1.7).

Cazul general. Dacă  $\bar{\Phi}_i \in C^2(\mathbb{R})$  și  $d\bar{\Phi}_i/dx_i \neq 0, i = \overline{1, n}$ , cele  $n$  ecuații (3.4) pot fi rezolvate folosind metoda secantei, pornind cu valoarea inițială  $x_i^k$  ( $x_i^{k+1}$  se va afla în apropierea acestuia). Principalele etape de calcul sînt următoarele :

Step 1. Se atribuie lui  $X$  - iterația curentă ( $x^k$ ) valoarea  $x^0$  ;

Step 2. Se generează matricea  $A(x^k)$  și  $\bar{\Phi}x^k$  utilizînd valoarea  $X$  ;

Step 3. Se rezolvă sistemul liniar:  $AX^{k+1/2} = B$ , cu  $A = rI + A(x^k)$  și  $B = rx^k - \bar{\Phi}x^k$  utilizînd subrutina SISTEM (§3.1.2). În  $B$  vom obține  $x^{k+1/2}$ .

Step 4. Se rezolvă cu metoda secantei fiecare din cele  $n$  ecuații (3.4) pentru a obține  $x_i^{k+1}, i = \overline{1, n}$ . Salvînd în prealabil pe  $X$  în  $Y$ , noua iterație  $x^{k+1}$  va fi păstrată tot în  $X$ .

Step 5. Se compară valoarea iterației  $Y$  cu noua iterație  $X$  ; dacă  $\|X-Y\| \approx \epsilon$  procesul de calcul se oprește ; în caz contrar se continuă cu etapele a doua.

Cazul ecuațiilor cu diferențe 1.4. Vom considera ecuația sub

forma  $Ax + \Phi x = 0$  unde

$$(3.5) \quad A = \begin{pmatrix} 2 & -1 & & & 0 \\ -1 & 2 & -1 & & \\ & \cdot & \cdot & \cdot & \\ & & \cdot & \cdot & \cdot \\ & & & -1 & 2 & -1 \\ 0 & & & & -1 & 2 \end{pmatrix}, \quad \Phi x = h^2 \begin{pmatrix} f(t_1, x_1) - \alpha/h^2 \\ f(t_2, x_2) \\ \cdot \\ \cdot \\ f(t_{n-1}, x_{n-1}) \\ f(t_n, x_n) - \beta/h^2 \end{pmatrix}$$

$A$  este Lipschitz continuu și strict monoton iar  $\Phi$  este continuu și monoton [30]. Vom rezolve sistemul cu metoda direcțiilor alternate după algoritmul descris la cazul general.

Exemplu ecuațiilor cu diferențe 1.11. Considerăm ecuația (1.11)

sub forma  $A(x)x + \Phi x = 0$  cu

$$(3.6) \quad A(x) = \begin{pmatrix} 2 + h^2 s(x_1) & -1 & & & 0 \\ -1 & & 2 + h^2 s(x_2) & -1 & \\ & \cdot & & \cdot & \\ & & \cdot & \cdot & \cdot \\ & & & \cdot & \cdot & \cdot \\ 0 & & & & -1 & \\ & & & & -1 & 2 + h^2 s(x_n) \end{pmatrix}$$

și

$$(3.7) \quad \Phi x = h^2 \begin{pmatrix} f(t_1, x_1) \\ \cdot \\ \cdot \\ \cdot \\ f(t_n, x_n) \end{pmatrix}.$$

Vom face ipoteza că  $s(x)$  este Lipschitz continuu și  $s(x) \geq 0$   $\forall x \in R$ . Avem  $A(x) = A_1 + h^2 A_2(x)$  cu  $A_1$  și  $A_2$  precizate în § 2.2.2. Vom aplica metoda direcțiilor alternate (2.14). Pentru convergența metodei este suficient să arătăm că  $A(x)$  este continuu Lipschitz și strict monoton, iar  $\Phi$  continuu și monoton; atunci existența soluției  $x^*$  a ecuației de mai sus, existența șirului  $x^{1/2}, x^1, \dots$  și convergența acestuia la  $x^*$  rezultă din teorema 2.5.

Faptul că  $A(x)$  este continuu Lipschitz este evident, iar monotonie strictă a lui  $A(x)$  rezultă din faptul că  $A(x)$  este o matrice pozitiv definită. Într-adevăr, întrucât cea mai mică valoare proprie a lui  $A_1$  este  $\lambda_1 = 2 - 2 \cos[\pi/(n+1)]$ , cea mai mică valoare proprie a lui  $A(x)$  este

$$\inf_{\|x\|=1} \langle A(x)x, x \rangle \geq \lambda_1 + \frac{1}{(n+1)^2} (x_1^2 s(x_1) + \dots + x_n^2 s(x_n)) \geq \lambda_1.$$

Atunci

$$\langle A(x)x - A(x)y, x - y \rangle = \langle A(x)(x - y), x - y \rangle \geq \lambda_1 \|x - y\|^2.$$

Dă presupunem că  $f$  este continuu diferențiable pe  $[0,1] \times \mathbb{R}^1$  și că  $f_u(t,u) \geq 0$ ,  $\forall (t,u) \in [0,1] \times \mathbb{R}^1$ . Atunci este evident că  $\Phi$  este funcție concavă pe  $\mathbb{R}^n$ . Derivata Fréchet a lui  $\Phi$  este dată de

$$\Phi'(x) = \begin{pmatrix} h^2 f_{x_1}(t_1, x_1) & & 0 \\ & \cdot & \\ & & \cdot \\ 0 & & & h^2 f_{x_n}(t_n, x_n) \end{pmatrix}$$

și este evident o matrice semipositiv definită. Prin urmare

$$\begin{aligned} \langle \Phi y - \Phi x, y - x \rangle &= \left\langle \int_0^1 \Phi'(x + t(y-x))(y-x) dt, y-x \right\rangle = \\ &= \int_0^1 \langle \Phi'(x + t(y-x))(y-x), y-x \rangle dt \geq 0, \end{aligned}$$

adică  $\Phi$  este monoton.

Pentru rezolvarea numerică, folosim algoritmul descris la cazul general.

### 3.2.2. Scheme logice și programe FORTRAN

Cazul general. Componentele lui  $\Phi$  se vor calcula cu subprogramul de tip FUNCTION  $F$  cu parametrii formali  $X, I, N, T, MP$  reprezentând :

$X$  = componente  $i$  a iterăției curente ;

$I$  = ordinal componentei ;

$N$  = dimensiunea sistemului ; dacă sistemul se obține prin discretizarea unor ecuații diferențiale (1.4, 1.11) va preciza și pasul de discretizare  $H = 1/(N+1)$ .

$T = t_1$  fiind programul este folosit la rezolvarea sistemelor obținute prin discretizarea unor ecuații diferențiale.

$$MP = 1/(N+1)^2 = M \cdot M.$$

Generarea matricii  $A(x^k)$  se face cu subrutina MATR de parametrii formali  $A, X, N, MP$ . În  $A$  vom avea matricea (de tipul  $n \times n$ ) pentru iterația curentă  $X$ .

Procedura MDA descrie metoda direcțiilor alternante care poate fi stocată într-o bibliotecă de subprograme sursă. Utilizatorul va apela această subrutină generând în programul principal prin DATA :  $N, EPS$  (precizia de calcul),  $r$  (notat prin  $R$ )  $\alpha$  și  $\beta$  dacă sistemul se obține prin discretizarea unei probleme la limită olocală și  $LK$  - numărul maxim de iterații. Prin subprogramele MATR și F va preciza matricile  $A(x)$  respectiv  $\Phi x$ . Subrutina MDA va furniza codul de funcționare al programului :

KOD = 0 SOLUȚIA NORMALĂ

KOD = 1 APLICAREA NUMĂRULUI DE ITERAȚII.

După fiecare iterație se imprimă numărul curent al iterației și componentele acesteia. Prezentăm în continuare schema logică - fig.3.4. și programul FORTRAN corespunzător.

Blocul 1. Inițializarea pe zero a indicelui iterațiilor  $K$  și a codului de funcționare al programului ; precizarea pasului de discretizare  $H$  ;

Blocul 2. Se pornește cu iterație (inițială) care are toate componentele nule ;

Blocul 3. Tipărirea indicelui iterațiilor și a componentelor iterației curente  $X$  ;

Blocul 4. Generarea matricii  $A(x^k)$  utilizând iterație curentă  $X$  cu subrutina MATR ;

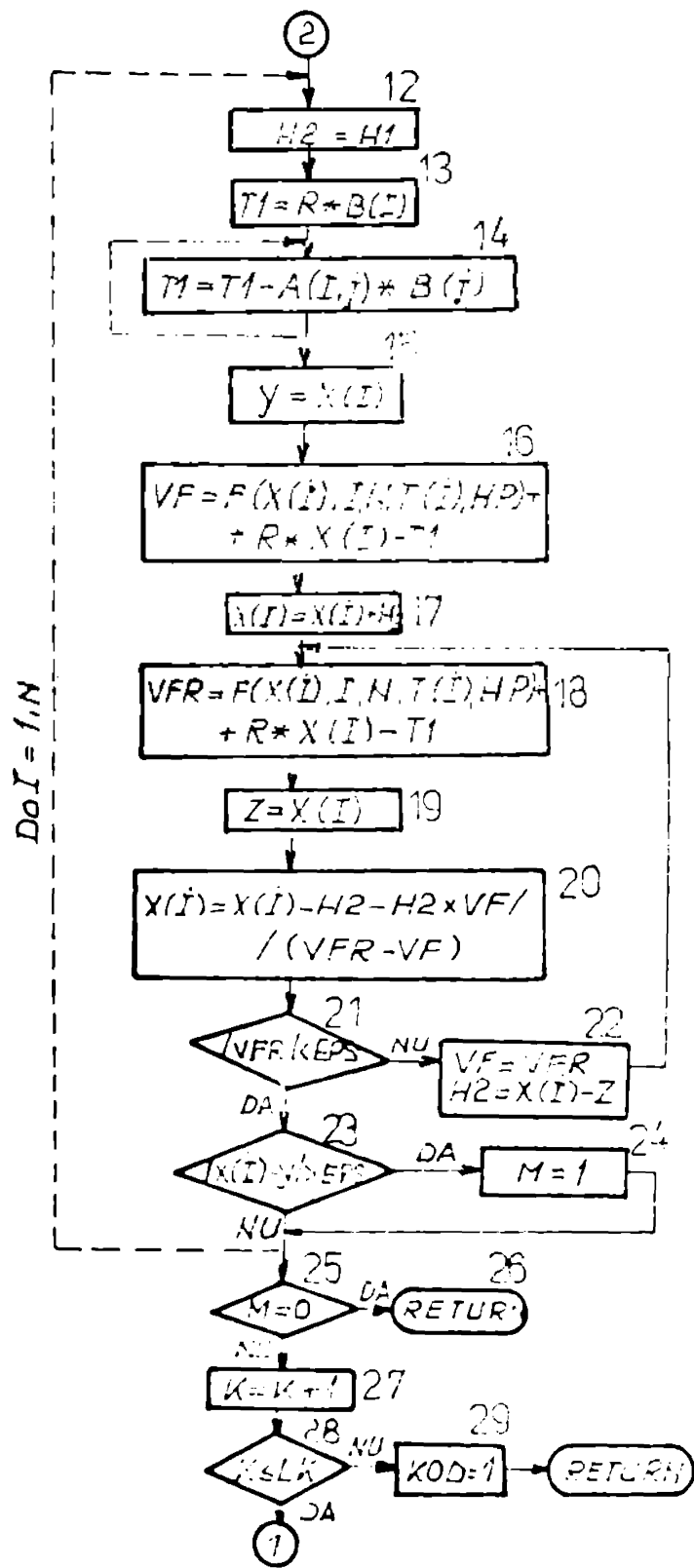
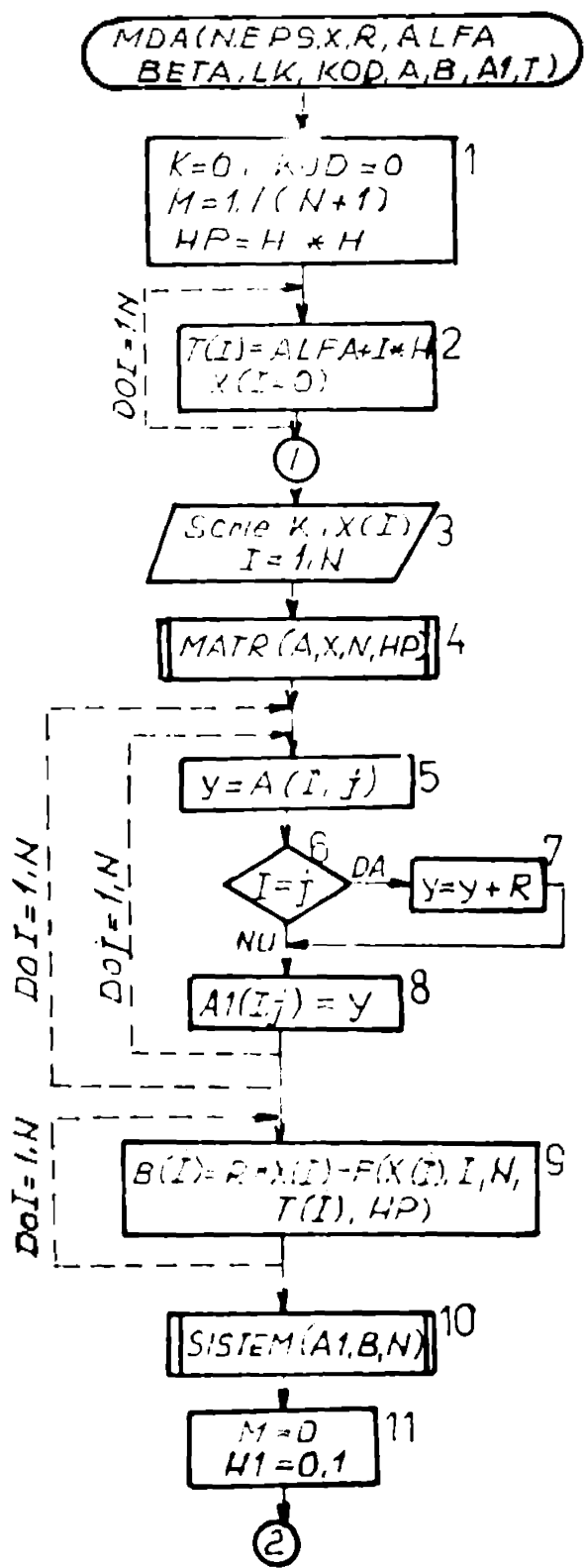
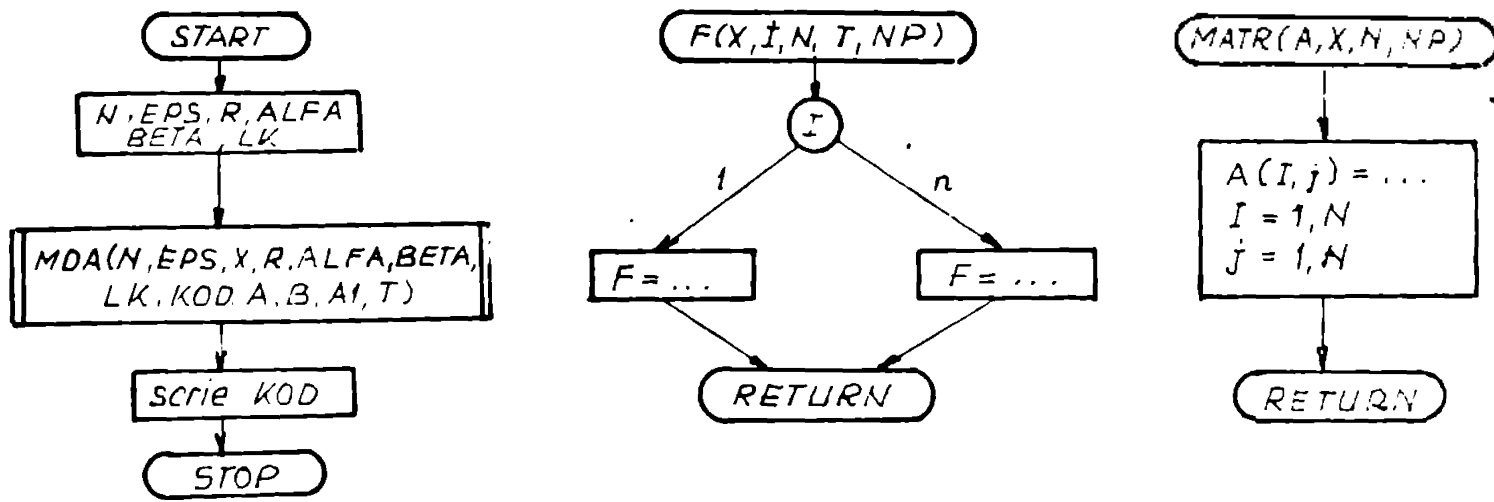


Fig. 3.4.

Blocurile 5,6,7,8. Calculul elementelor matricii  $A_1(x) = rI + A(x^k)$  ;

Blocul 9. se generează  $b = rx^k - \phi x^k$  utilizând iterația curentă, cu subprogramul F.

Blocul 10. se rezolvă sistemul liniar  $A_1 x^{k+1/2} = b$  folosind subrutina `SISTEM` ; în sens  $b$  vom obține  $x^{k+1/2}$ .

Blocurile 11,12,13,14,15,16,17,18,19,20,21,22. Rezolvarea sistemului neliniar. Pentru fiecare din cele  $n$  ecuații (3.4) se utilizează metode secantei. se obține  $x^{k+1}$ .

Blocurile 23,24,25,26. efectuarea testului  $\|x^{k+1} - x^k\| = \|X-Y\| \approx 0$  (se considerat norme max și constante `EPS` a programului), oprirea calculelor (blocul 26) dacă testul este verificat.

Blocurile 27,28,29. Actualizarea indicelui iterațiilor, limitarea valorii acestuia la `LK` și fixarea cedului pe 1 în caz de depășire.

```
DIMENSION X(6),B(6),A(6,6),A1(6,6),T(6)
DATA N, EPS, R, ALFA, BETA, LK/6, C.0001, 2., 0., 0., 300/
CALL MDA(N, EPS, X, R, ALFA, BETA, LK, KOD, A, B, A1, T)
PRINT 1, KOD
1 FORMAT(10X, 'KOD=', I1)
STOP
END

C METODA DIRECTIILOR ALTERNATE
SUBROUTINE MDA(N, EPS, X, R, ALFA, BETA, LK, KOD, A, B, A1, T)
DIMENSION X(N), B(N), A(N,N), A1(N,N), T(N)
K=0
KOD=0
M=1./(N+1)
MP=MM
DO 20 I=1, N
T(I)=ALFA+I*MM
20 X(I)=0.
PRINT 2
2 FORMAT(1X, 'ITERATIA', 10X, 'SOLUTIA')
```

```
1 PRINT 3,K,(X(I);I=1,N)
3 FORMAT(1X,I3,6X,(10F12.6))
  CALL MATR(A,X,N,MP)
  DO 4 I=1,N
  DO 4 J=1,N
  Y=A(I,J)
  IF(I.EQ.J)Y=Y+R
4 A1(I,J)=Y
  DO 5 I=1,N
5 B(I)=R*X(I)-F(X(I),I,N,T(I),HP)
  CALL SISTEM(A1,B,N)
  M=0
  H1=0.1
  DO 6 I=1,N
  H2=H1
  T1=R*H1(I)
  DO 7 J=1,N
7 T1=T1-A(I,J)*H2(J)
  Y=X(I)
  VF=F(X(I),I,N,T(I),MP)
  VF=VF+R*X(I)-T1
  X(I)=X(I)+H2
11 VFR=F(X(I),I,N,T(I),HP)+R*X(I)-T1
  Z=X(I)
  X(I)=X(I)-H2-H2*VF/(VFR-VF)
  IF(ABS(VFR).LT.EPS)GO TO 10
  VF=VFR
  H2=X(I)-Z
  GO TO 11
10 IF(ABS(X(I)-Y).GT.EPS)M=1
6 CONTINUE
  IF(M.EQ.0)STOP
  K=K+1
  IF(K.LE.LK)GO TO 1
  KOD=1
  RETURN
  END
```

```
C PRECIZAREA FUNCTIEI  $\phi$  x
  FUNCTION F(X,I,N,T,HP)
  F=-HP
  RETURN
```

C MATRICES A(X)

```
SUBROUTINE MATR(A,X,N,HP)
  DIMENSION A(N,N),X(N)
  DO 1 I=1,N
  DO 1 J=1,N
  1 A(I,J)=0
  A(1,1)=2+HP*6*IN(X(1))
  A(N,N)=2+HP*6*IN(X(N))
  A(1,2)= -1
  A(N,N-1)= -1
  L=N-1
  DO 2 I=2,L
  A(I,I)=2+HP*6*IN(X(I))
  A(I,I-1)= -1
  2 A(I,I+1)= -1
  RETURN
  END
```

C RESOLVEMEA SISTEMULUI LINIAR

```
SUBROUTINE SISTEM(A,B,N)
  DIMENSION A(N,N),B(N)
  MP=1.E-8
  M1=N-1
  DO 10 K=1,M1
  AM=0
  DO 11 I=K,N
  IF(ABS(A(I,K))-LE.AM)GO TO 11
  AM=ABS(A(I,K))
  IO=I
  11 CONTINUE
  IF(AM.GT.MP)GO TO 20
  22 WRITE(108,21)
  21 FORMAT(15X,'SISTEM LINIAR INCOMPATIBIL')
  STOP
  20 DO 12 J=K,N
  X=A(K,J)
  A(I,J)=A(IO,J)
  12 A(IO,J)=X
  Y=B(K)
  B(K)=B(IO)
  B(IO)=Y
  K2=K+1
  DO 13 I=K2,N
```



```

X=A(I,A)/A(A,K)
DO 14 J=A,N
14 A(I,J)=A(I,J)-A(A,J)*X
13 B(I)=B(I)-b(A)*X
10 CONTINUE
IF(A3E(A(N,N).LT.EPS)GO TO 22
B(N)=b(N)/A(N,N)
K=N-1
23 K1=K+1
DO 15 J=K1,N
15 B(K)=B(K)-A(K,J)*B(J)
B(K)=B(K)/A(K,K)
K=K-1
IF(K.GE.1)GO TO 23
RETURN
END

```

Am considerat ecuația  $A(x)x + \Phi x = 0$  cu

$$A(x) = \begin{pmatrix} 2+\sin x_1 & -1 & & & 0 \\ -1 & 2+\sin x_2 & -1 & & \\ & \cdot & \cdot & \cdot & \\ & & \cdot & \cdot & -1 \\ 0 & & & -1 & 2+\sin x_n \end{pmatrix}, \Phi x = h^2 \begin{pmatrix} -1 \\ -1 \\ \vdots \\ -1 \end{pmatrix}$$

Pentru  $n = 6$ ,  $h^2 = 1/(n+1)^2$ , după 27 iterații s-a obținut soluția (LISTING 5)

$x = (0.060412, 0.100537, 0.120544, 0.120544, 0.100537, 0.060412)$ .

Cazul ecuațiilor cu diferențe 1,4. Fie ecuația

$$\begin{aligned}
 u'' &= u^3 & u \in \mathbb{R} \\
 u(0) &= 0 \\
 u(1) &= 1.
 \end{aligned}$$

A și  $\Phi x$  vor fi cei precizați de (3.5) unde  $f(t,u) = u^3$ .

Pentru compararea rezultatelor obținute prin această metodă, cu cele obținute prin metoda iterațiilor simple, am luat, în subrutina MDA prezentată la cazul general, iterația inițială - iterație de componente  $x_i = (\beta - \alpha)t_i + \alpha$ ,  $i = \overline{1, n}$ . Ciclul de etichetă 20 din această subrutină va deveni :

```
DO 20 I=1,N
  T(I)=ALPHA+I*H
20 X(I)=(BETA-ALPHA)*T(I)+ALPHA
```

Cu  $\epsilon = 0.0001$ ,  $r = 2$ ,  $n = 6$ ,  $\alpha = 0$ ,  $\beta = 1$ ,  $\Delta$  și  $\Phi$   $x$  cei precizați mai sus, structura programului este următoarea :

```
DIMENSION X(6),B(6),A(6,6),A1(6,6),T(6)
DATA N,EPS,E,B,ALPHA,BETA,LK/6,0.0001,2.,0.,1.,300/
CALL MDA(N,EPS,X,E,ALPHA,BETA,LK,KOD,A,B,A1,T)
PRINT 1,KOD
1 FORMAT(10X,'KOD=',I1)
STOP
END
```

```
C PRECIZAM FUNCTIA F(T,X)
FUNCTION F(X,I,N,T,HP)
  IF(I.EQ.N)GO TO 1
  F=HP*X**3
  RETURN
1 F=HP*X**3-1
  RETURN
END
```

```
C MATRICA A
SUBROUTINE MATR(A,X,N,HP)
  DIMENSION A(N,N),X(N)
  DO 1 I=1,N
    DO 1 J=1,N
1  A(I,J)=0
  A(1,1)=2
  A(N,N)=2
  A(1,2)= -1
  A(N,N-1)= -1
  L=N-1
  DO 2 I=2,L
  A(I,I)=2
  A(I,I-1)= -1
2  A(I,I+1)= -1
  RETURN
END
```

```
C METODA DIRSCTIZIAR ALTERNATE
SUBROUTINE MDA(N,EPS,X,E,ALPHA,BETA,LK,KOD,A,B,A1,T)
:
```

RETURN

END

C REZOLVAREA SISTEMULUI LINIAR

SUBROUTINE SYSTEM(A,B,N)

:

RETURN

END

După 18 iterații (LLSING 6) am obținut soluția

$x = (0.106076, 0.273659, 0.410831, 0.549320, 0.691090, 0.839531)$

Cazul ecuațiilor cu diferențe 1.11. Algoritmul de calcul

descrie în figura 3.4 pentru rezolvarea ecuației cu diferențe

(1.11) (corespunzătoare ecuației 1.10) scrisă sub formă  $A(x)x +$

$+ \phi x = 0$ , cu  $A(x)$  și  $\phi x$  precizați în (3.6) respectiv (3.7)

pentru  $a(x) = \sin^2 x$ ,  $f(t,x) = -1$ , luând pentru  $EPS = 0.0001$ ,

$N = 6$ ,  $R = 2$ ,  $ALFA = BETA = 0$ , determină următorul program FORTRAN:

```
DIMENSION X(6),B(6),A(6,6),A1(6,6),T(6)
```

```
DATA N, EPS, R, ALFA, BETA, LK/6, 0.0001, 2., 0., 0., 300/
```

```
CALL MDA(N, EPS, X, R, ALFA, BETA, LK, KOD, A, B, A1, T)
```

```
PRINT 1, KOD
```

```
1 FORMAT(10X, 'KOD=', I1)
```

```
STOP
```

```
END
```

C FUNCȚIA F(T,X)

```
FUNCTION F(X,I,R,T,HP)
```

```
F = -HP
```

```
RETURN
```

```
END
```

C MATRICEA A(X)

```
SUBROUTINE MATH(A,X,N,HP)
```

```
DIMENSION A(N,N),X(N)
```

```
DO 1 I=1,N
```

```
DO 1 J=1,N
```

```
1 A(I,J)=0
```

```
A(I,1)=2+HP**6*IN(X(1))**2
```

```
A(N,N)=2+HP**6*IN(X(N))**2
```

```
A(1,2) = -1
```

```
A(N,N-1) = -1
```

```
I=N-1
```

```

DO 2 I=2,L
A(I,I)=2+EPSIN(X(I))**2
A(I,I-1)= -1
2 A(I,I+1)= -1
RETURN
END

```

C METODA DIRECȚIILOR ALTERNATE

```

SUBROUTINE SDI(N,EP,X,R,ALFA,BETA,L,KDD,A,B,AL,T)
:
:
RETURN
END

```

C REZOLVAREA SISTEMULUI LINIAR

```

SUBROUTINE SDITM(A,B,N)
:
:
RETURN
END

```

In 28 iterații am găsit soluția (LISTING 7) :

$x = (0.060951, 0.101540, 0.121817, 0.121817, 0.101540, 0.060951)$

### 3.5. METODA LUI FRIDMAN

In acest paragraf vom prezenta algoritmul de calcul pentru metoda 2.34 și programul FORTRAN corespunzător. Subrutina ce descrie metoda lui Fridman este astfel organizată încât ea poate fi stocată într-o bibliotecă surdă. Cel ce dorește să utilizeze metoda lui Fridman (pentru rezolvarea sistemelor neliniare) va trebui să precizeze sistemul  $Fx = 0$ , derivate Fréchet a lui  $F$  și să apeleze subrutina FRIDMAN [58].

3.5.1. Algoritmul de calcul. Considerăm ecuația  $Fx = 0$  cu  $F : D \subset \mathbb{R}^D \rightarrow \mathbb{R}^D$ ,  $F$  operator neliniar, diferențialul Fréchet pe  $D$ . Vom utiliza norma euclidiană  $\|\cdot\|_2$  pe spațiul  $\mathbb{R}^D$  și norma de aplicație liniară corespunzătoare pe  $L(\mathbb{R}^D)$ . In condițiile teoremei 2.10 (in care evident se consideră norma euclidiană) șirul 2.34

$$x^{k+1} = x^k - \frac{\|F x^k\|^2}{\|F'(x^k)F x^k\|^2} F'(x^k)^T F x^k$$

converge la soluția  $x^*$  a ecuației  $Fx = 0$ . Am notat cu  $A^T$  transpusa unei matrici  $A$ . Distingem următoarele etape principale de calcul.

Etapa 1. Se atribuie lui  $X$  - iteratia curentă  $x^k$ , valoarea  $x^0$  ;

Etapa 2. Se calculează  $\|Fx^k\|^2$ . Dacă  $\|Fx^k\|^2 \approx 0$  procesul de calcul se oprește ; în caz contrar se continuă cu etapa 3.

Etapa 3. Se calculează  $F'(x^k)^T Fx^k$  ;

Etapa 4. Se calculează  $\|F'(x^k)^T Fx^k\|^2$  ;

Etapa 5. Dacă la etapa 4 se obține zero, sau dacă se depășește numărul de iterații (propus), procesul de calcul se oprește ; în caz contrar se calculează iteratia următoare tot în  $X$ . Se reiau operațiile cu etapa 2.

3.3.2. Schemă logică și programul FDRIRAN. La fiecare pas de iteratie cu metoda 2.34 avem nevoie de derivata Fréchet  $F'(x^k)$ ,  $\in \mathbb{R}^{n \times n}$ . Dacă notăm cu  $f_1, f_2, \dots, f_n$  componentele lui  $F$  atunci

$$F'(x) = \begin{pmatrix} \frac{\partial f_1(x)}{\partial x_1} & \dots & \frac{\partial f_1(x)}{\partial x_n} \\ \dots & \dots & \dots \\ \frac{\partial f_n(x)}{\partial x_1} & \dots & \frac{\partial f_n(x)}{\partial x_n} \end{pmatrix}$$

Calculul fiecărui element al derivatei Fréchet îl vom efectua cu subprogramul FUNCTION DIF de parametri formali  $X, I, J, N$  :

$X$  = tablou de dimensiune  $n$  în care vom avea iteratia curentă  $x^k$  ;

$I$  = indicele de linie al elementului derivatei Fréchet, calculată pentru  $X$  ;

$J$  = indicele de coloană al aceluiași element ;

$N$  = dimensiunea  $n$  a sistemului.

Calculul valorii funcției  $f_i$  îl vom realiza cu subprogramul

FUNCTION F de parametrii  $X, I, N$  a căror semnificație am prezentat-o mai sus cu precizarea că aici  $I$  specifică rangul componentei funcției  $F$ . După apel în  $F$  vom avea valoarea funcției  $f_i$  pentru necunoscutele  $x_i$ ,  $i = \overline{1, n}$ . Prima instrucție executabilă a subprogramului este un  $G\phi N$  calculat de forma

$$G\phi T(1, 2, \dots, N), I$$

unde  $1, 2, \dots, N$  sînt etichete în subprogram corespunzătoare funcțiilor  $f_1, f_2, \dots, f_N$ .

Produsul  $F'(x^k)^T Fx^k$  îl vom obține în PR, tabelu de dimensiune  $N$  al subrutinei FRIDMAN. Această subrutină de parametrii formali  $N, EPS, LK, X, KOD, PR$  descrie metoda lui Fridman, al cărui algoritm de rezolvare îl prezentăm în figure 3.5. Terminarea programului este condiționată de îndeplinirea condiției  $\|Fx^k\|^2 \leq EPS$ ,  $EPS$  fiind o constantă a programului, în exemplul considerat  $EPS = 1.E-4$ . Subrutina furnizează prin parametrul  $KOD$ , codul de funcționare al programului :

- $KOD = 0$  SOLUȚIE NORMALĂ
- $KOD = 1$  ÎMPĂRTIRE CU ZERO ( $S1=0$ )
- $KOD = 2$  DEPĂȘIREA NUMĂRULUI DE ITERAȚII  $LK$ .

Subrutina FRIDMAN poate fi stocată într-o bibliotecă sursă. Utilizatorul va preciza în programul principal dimensiunea  $n$  a sistemului, a produsului PR - tot  $N$ , va genera prin DATA pe lungă  $N$ ,  $EPS$  și iteratie inițială  $x^0$ . Prin F și DIF (după algoritmul din figure 3.5) va stabili funcție respectiv derivata Fréchet a funcției  $F$ .

Prezentăm în continuare scheme logice și programul FORTRAN. Am considerat ca exemplu ecuația

$$Fx = 0 \quad \text{cu} \quad Fx = \begin{pmatrix} x_1 \\ \cos x_1 + x_2 \\ \vdots \\ \cos x_9 + x_{10} \end{pmatrix}.$$

$F'(x)$  va fi :

$$F'(x) = \begin{pmatrix} 1 & & & & & & & & 0 \\ -\sin x_1 & 1 & & & & & & & \\ & & -\sin x_2 & 1 & & & & & \\ & & & & \ddots & & & & \\ & & & & & & & & \\ & & & & & & & & \\ & & & & & & -\sin x_9 & & 1 \end{pmatrix}$$

Blocul 1. Inițializarea pe zero a indicelui iterațiilor  $K$  și a codului de funcționare al programului.

Blocul 2. Tipărirea indicelui iterațiilor și a componentelor iterației curente  $X$ .

Blocurile 3,4,5,6. Se calculează  $\|F_x^k\|^2$ . Dacă  $\|F_x^k\|^2 \approx 0$  procesul de calcul se oprește (blocul 6). Se consideră norma  $\max$  și constanta  $\Delta PS$  a programului.

Blocurile 7,8. Calculul lui  $PR = F'(x^k)^T F_x^k$ ;

Blocurile 9,10. Calculul normei la pătrat, pentru  $PR(S1 = \|PR\|^2)$ .

Blocurile 11,12,13,14,15,16. Se precizează codul de funcționare al programului; oprirea calculului dacă  $KOD = 1$  sau  $KOD = 2$  (blocul 16);

Blocurile 17,18. Actualizarea indicelui iterațiilor; calculul iterației următoare:

C METODA LUI FRIDMAN PENTRU SISTEME NELINIARE. VARIANTA 1.

```

DIMENSION X(4),PR(4)
DATA N,SPS,IK,X/4,1.E-4,100,0.5,-1.2,0.3,0.8/
CALL FRIDMAN(N,SPS,IK,X,KOD,PR)
PRINT 1,KOD
1 FORMAT(10X,'KOD=',I1)
STOP
END

```

C PRECIZAREA ECUAȚIEI  $F(X)=0$

```

FUNCTION F(X,I,N)
DIMENSION X(N)
GO TO(1,2,3,4),I
1 F=X(1)-X(1)-1

```

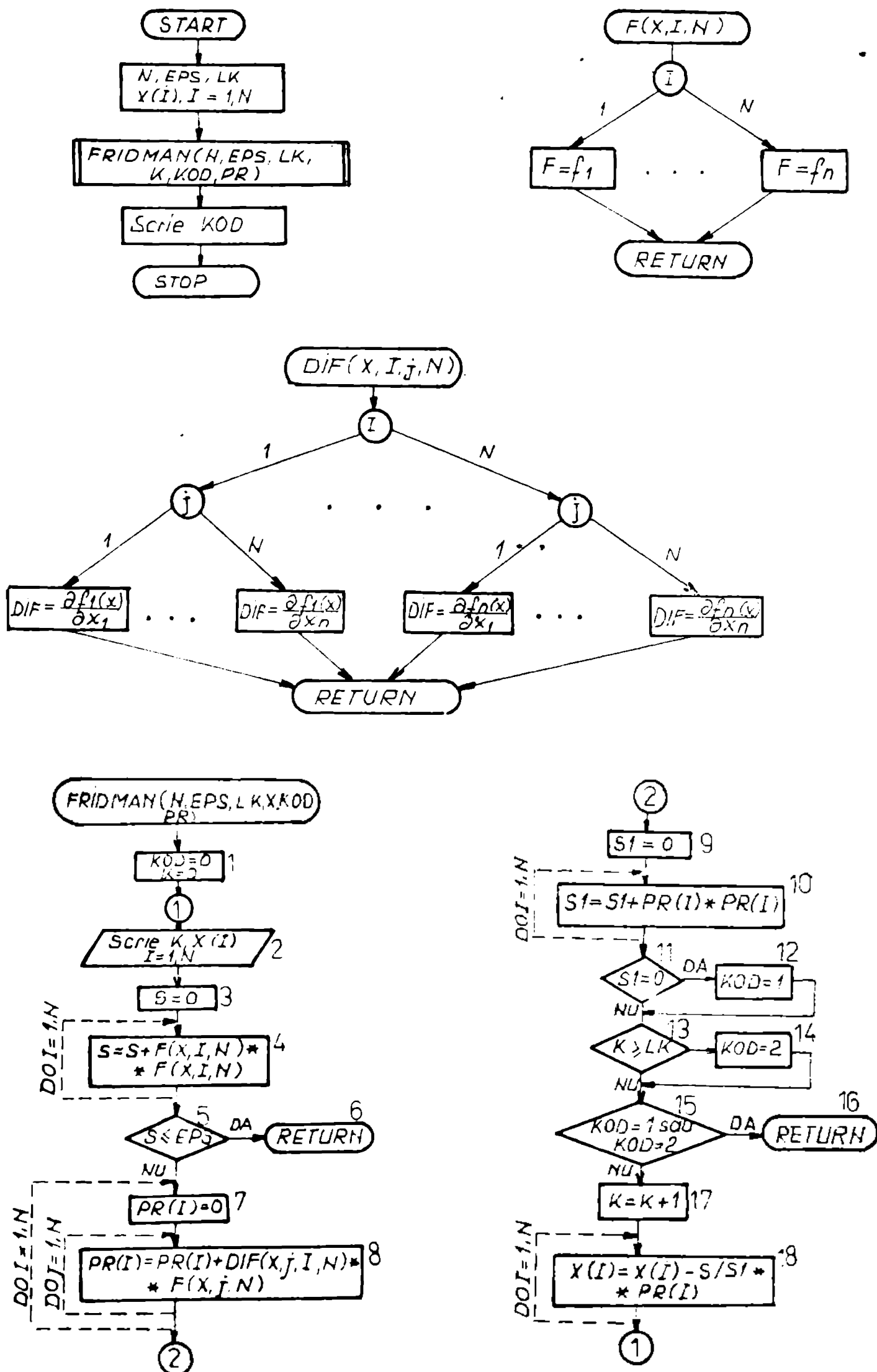


Fig. 3.5.



```
RETURN
2 F=X(1)*X(3)+1
RETURN
3 F=X(1)+X(2)+b*LN(X(3))
RETURN
4 F=COB(X(3))-X(4)*2
RETURN
END
```

C DERIVATA FRECHET

```
FUNCTION DIF(X,I,J,N)
DIMENSION X(N)
GO TO(1,2,3,4),I
1 GO TO(11,12,13,14),J
2 GO TO(21,22,23,24),J
3 GO TO(31,32,33,34),J
4 GO TO(41,42,43,44),J
11 DIF=2*X(1)
RETURN
12 DIF=0.
RETURN
13 DIF=0
RETURN
14 DIF=0.
RETURN
21 DIF=X(3)
RETURN
22 DIF=0.
RETURN
23 DIF=X(1)
RETURN
24 DIF=0.
RETURN
31 DIF=1.
RETURN
32 DIF=1.
RETURN
33 DIF=COB(X(3))
RETURN
34 DIF=0.
RETURN
41 DIF=0.
```

```
RETURN
42 DIF=0.
RETURN
43 DIF= -DIF(X(3))
RETURN
44 DIF= -2*DIF(X(4))
RETURN
END
```

C METODA LUI FRIDMAN

```
      SUBROUTINE FRIDMAN(N,KPS,LK,X,KOD,PR)
      DIMENSION X(N),PR(N)

C
C 1. N=DIMENSIUNEA SISTEMULUI
C 2. KPS=PRECIZIA DE CALCUL
C 3. LK=LIMITA MAXIMĂ A NR.DE ITERATII
C 4. X=TABLAU DE DIMENSIUNEA N IN CARE AVEM ITERATIA CUREN
C    TA(INITIAL AICI VA FI IO GENERAT PRIN DATA)
C 5. KOD=COD DE ERORARE
C      KOD=0. SOLUTIE NORMALĂ
C      KOD=1 IMPARTIRE CU ZERO(S1=3)
C      KOD=2 DEPĂȘIREA NUMĂRULUI DE ITERATII
C
      KOD=0.
      K=0
      PRINT 2
2  FORMAT(LX,' ITERATIA ',10X,' SOLUTIA ')
1  PRINT 3,K,(X(I),I=1,N)
3  FORMAT(LX,I2,6X,(10F12.6))
      S=0.
      DO 7 I=1,N
7  S=S+F(X,I,N)-F(X,I,N)
      IF(S.LE.-KPS)RETURN
      DO 6 I=1,N
      PR(I)=0.
      DO 6 J=1,N
6  PR(I)=PR(I)+DIF(X,J,I,N)-F(X,J,N)
      S1=0.
      DO 8 I=1,N
8  S1=S1+PR(I)-PR(I)
      IF(S1.EQ.0)KOD=1
      IF(K.GE.LK)KOD=2
```

```
IF(KOD.EQ.0.OR.KOD.EQ.2)RETURN
K=K+1
DO 9 I=1,N
9 X(I)=X(I)-S/SL*PR(I)
GO TO 1
END
```

VARIANTA 1, clasică, pentru metoda lui Fridman, prezentată mai sus presupune calculul valorii lui  $f_1(x)$  și al  $\partial f_1 / \partial x_j$  în momentul în care se solicită valoarea acestora pentru  $x^k$ . Deci nu se generează în memoria centrală valorile tuturor componentelor lui  $F$  și ale tuturor componentelor derivatei Fréchet în  $x^k$ . Totuși numărul mare de instrucțiuni folosit pentru descrierea (precizarea) lor, reduce în parte acest avantaj, întrucât este descris calculul și pentru componentele nule ale derivatei Fréchet.

În cazul matricelor rare de dimensiuni mari, schema de memorare standard și chiar tehnica prezentată în Varianta 1, devin inefficiente. În acest caz este indicat să se memoreze numai elementele nenule, salvând astfel memoria și timp de calcul. Întrucât zona de memorare a matricii nu va fi identică cu matricea originală, este necesar ca tehnicile de memorare să încorporeze pe lângă elementele nenule și mijloace de identificare a pozițiilor acestor elemente în matrice.

Se cunosc mai multe tehnici de memorare a matricelor rare [3]. Pentru metoda lui Fridman și metoda Gradientului (§3.4.2), când derivata Fréchet este o matrice rară se folosește memorarea compactă aleatoare [58]. Memorarea compactă aleatoare constă în utilizarea unei zone primare, VALA, conținând numai elementele nenule ale matricii și a două zone secundare conținând indicii de linie, ILIN și de coloană, ICOL, ai elementelor nenule. Acestea fiecare element al matricii, nenul, este identificat individual, este poziția sa în matricea să fie memorată în ordine aleatoare. Avantajele memorării compacte aleatoare constau în faptul că noi elemente nenule



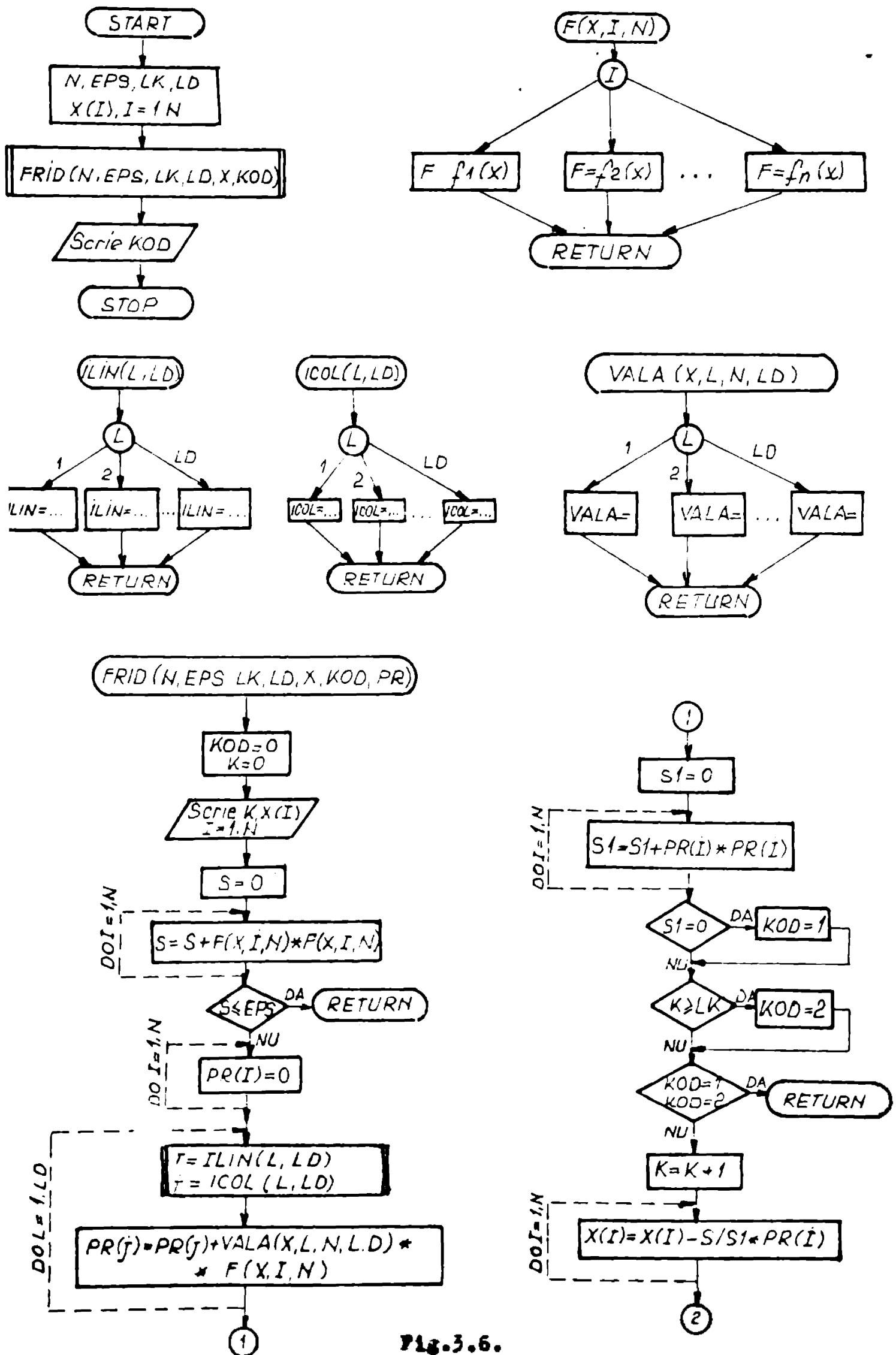
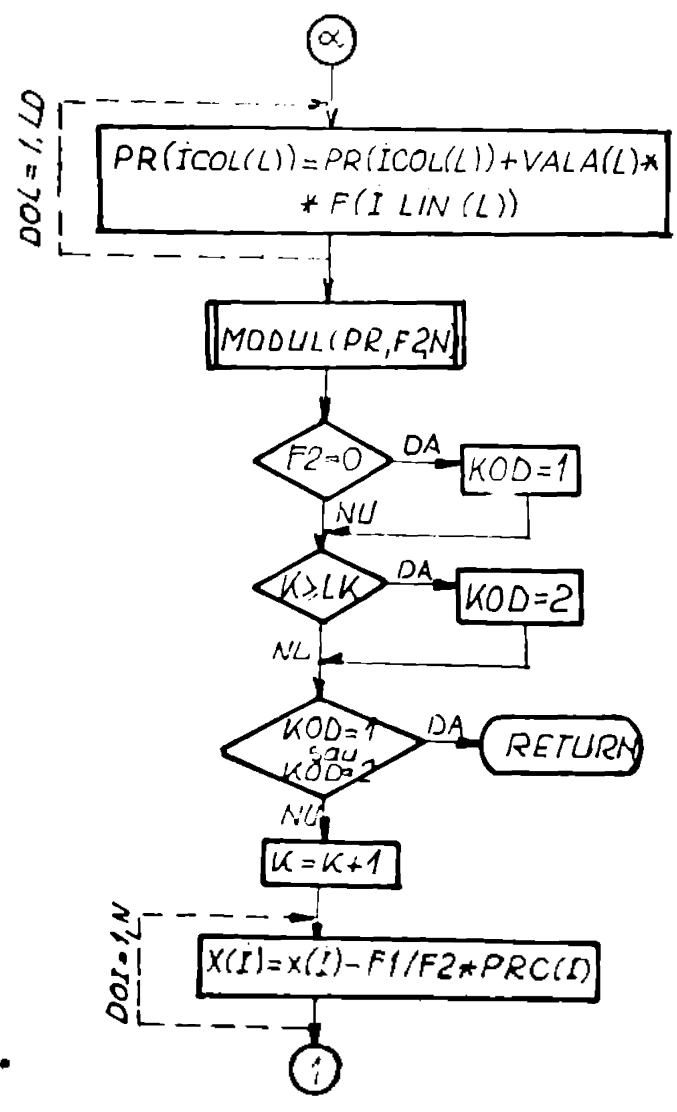
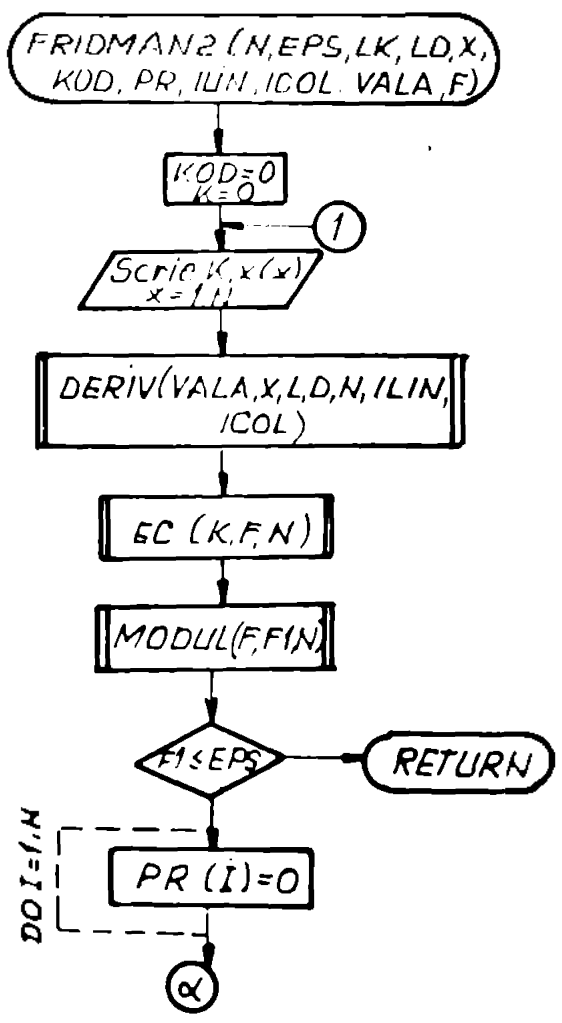
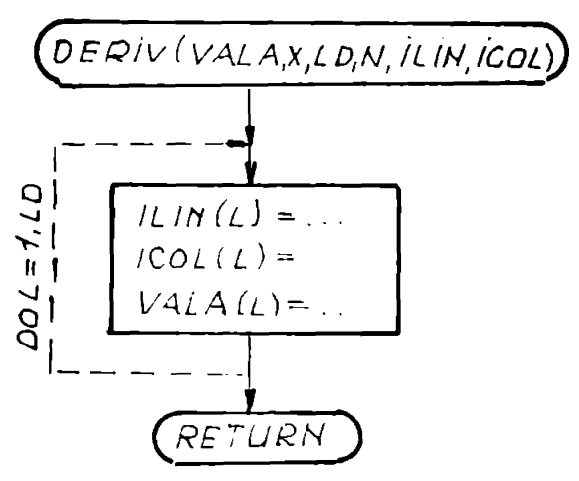
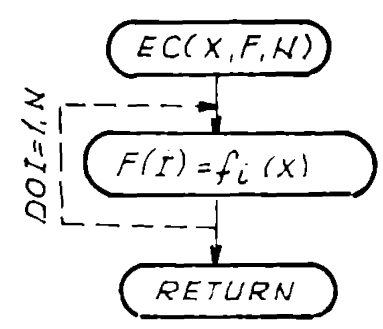
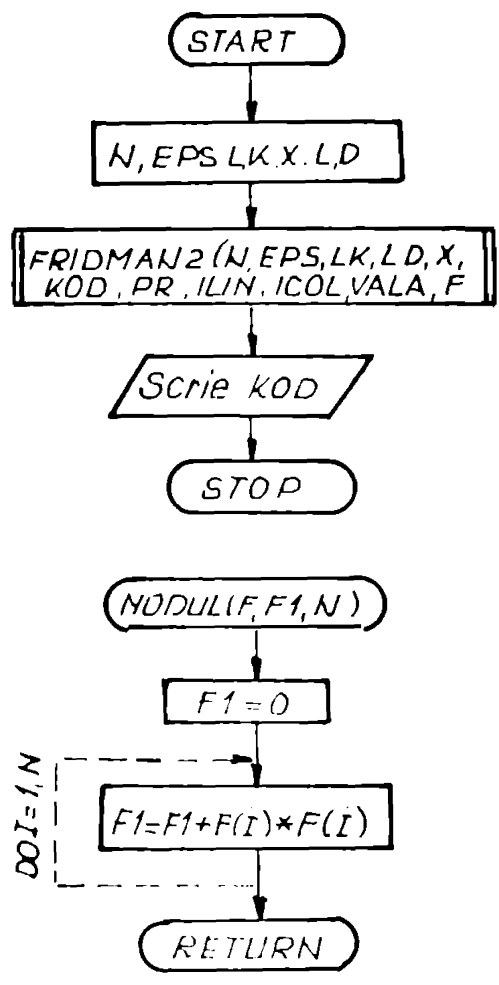


Fig. 3.6.



este o matrice rară și deci este indicată memorarea compactă ale-  
toare. Indicii de linie, coloană și elementelor nenule ai lui  $F'(x)$ ,  
elementele nenule sînt precizate în ordinea în care apar coloană  
după coloană.

Prezentăm programele FORTRAN pentru Varianta 2 și Varianta 3  
așfel încît subrutinele FRID (Varianta 2) și FRIDMAN2 (Varianta 3),  
să poată fi stocate într-o bibliotecă sursă.

Pentru apelarea subrutinei FRID care descrie metoda lui FRID-  
MAN utilizînd tehnica descrisă la Varianta 1, cu ideile de la me-  
morarea compactă aletoare, utilizatorul va preciza :

- Caută  $Fx = 0$  prin subprogramul FUNCTION F cu structură  
de la Varianta 1 ;

- Elementele nenule ale derivatei Fréchet prin subprogramul  
FUNCTION VALA de parametrii X,L,N cu

X = tablou de dimensiune n, în care se reține iteratia cu-  
rentă  $x^k$  ;

L = numărul de ordine al elementului nenul din derivata Fré-  
chet (luat în considerare) ;

N = dimensiunea n a sistemului ;

- Indicii de linie și elementelor nenule, în ordinea dată în  
VALA , prin subprogramul FUNCTION LIN (L) ;

- Indicii de coloană și elementelor nenule, în ordinea dată  
în VALA, prin subprogramul FUNCTION ICOL (L).

La apelarea subrutinei FRIDMAN 2, care este și cea mai indica-  
tă pentru metoda lui Fridman cînd se lucrează cu matrice rare, se  
va descrie :

- Caută  $Fx = 0$  prin subprogramul FUNCTION F ;

- Derivata Fréchet prin subrutina DERIV de parametrii

VALA = tablou de dimensiune LD ce conține elementele  
nenule ale derivatei, LD fiind numărul de elemente nenule ale deri-  
vatei Fréchet ;

X = tablou de dimensiune n, in care se retine itera-  
tie curentă  $x^k$  ;

N = dimensiunea sistemului n ;

ILIN = tablou de dimensiune LD ; conține indicii de  
linie si elementelor nenule ale derivatei, cu ordinea din VALA ;

ICOL = tablou de dimensiune LD ; conține indicii de  
colosă si elementelor nenule ale derivatei, cu ordinea din VALA ;

C METODA LUI PRIMAN PENTRU SISTEME NELINIARE. VARIANTA 2.

```
DIMENSION X(10),PR(10)
DATA N,SPB,IK,X,LD/10,1.E-3,50,10,0.3,19/
CALL PRID(N,SPB,IK,LD,X,KOD,PR)
PRINT 1,KOD
1 FORMAT(10X,'KOD=',I1)
STOP
END
```

C PRECIZAREA ECUAȚIEI  $F(X)=0$ .

```
FUNCTION F(X,I,N)
DIMENSION X(N)
GO TO(1,2,3,4,5,6,7,8,9,10),I
1 F=X(1)
RETURN
2 F=COS(X(1))+X(2)
RETURN
3 F=COS(X(2))+X(3)
RETURN
4 F=COS(X(3))+X(4)
RETURN
5 F=COS(X(4))+X(5)
RETURN
6 F=COS(X(5))+X(6)
RETURN
7 F=COS(X(6))+X(7)
RETURN
8 F=COS(X(7))+X(8)
RETURN
9 F=COS(X(8))+X(9)
RETURN
10 F=COS(X(9))+X(10)
```



RETURN

END

C ELEMENTSIA NENUA ALS DERIVATEI FRECHET

FUNCTION VALA(X,L,N)

DIMENSION X(N)

GO TO(1,2,3,4,5,6,7,8,9,10,11,12,13,14,15,16,17,18,19),L

1 VALA=1.

RETURN

2 VALA= -SIN(X(1))

RETURN

3 VALA=1.

RETURN

4 VALA= -SIN(X(2))

RETURN

5 VALA=1

RETURN

6 VALA= -SIN(X(3))

RETURN

7 VALA=1

RETURN

8 VALA= -SIN(X(4))

RETURN

9 VALA=1

RETURN

10 VALA= -SIN(X(5))

RETURN

11 VALA=1

RETURN

12 VALA= -SIN(X(6))

RETURN

13 VALA=1

RETURN

14 VALA= -SIN(X(7))

RETURN

15 VALA=1

RETURN

16 VALA= -SIN(X(8))

RETURN

17 VALA=1

RETURN

18 VALA= -SIN(X(9))

```

RETURN
19 VALA=1
RETURN
END

```

C INDICII DE LINIE AI ELEMENTELOR MENULE IN ORDINEA DATEI IN VALA.

```

FUNCTION ILIN(I)
GO TO(1,2,3,4,5,6,7,8,9,10,11,12,13,14,15,16,17,18,19).L
1 ILIN=1
RETURN
2 ILIN=2
RETURN
3 ILIN=2
RETURN
4 ILIN=3
RETURN
5 ILIN=3
RETURN
6 ILIN=4
RETURN
7 ILIN=4
RETURN
8 ILIN=5
RETURN
9 ILIN=5
RETURN
10 ILIN=6
RETURN
11 ILIN=6
RETURN
12 ILIN=7
RETURN
13 ILIN=7
RETURN
14 ILIN=8
RETURN
15 ILIN=8
RETURN
16 ILIN=9
RETURN
17 ILIN=9
RETURN
18 ILIN=10

```

```
RETURN
19 ILIN=10
RETURN
END
```

C INDICII DE CĂLĂRI AI ELEMENTELOR NENULE DUPĂ ORDINEA DIN VALA.

```
FUNCTION ICOL(L)
DO FOR (1,2,3,4,5,6,7,8,9,10,11,12,13,14,15,16,17,18,19),L
1 ICOL=L
RETURN
2 ICOL=L
RETURN
3 ICOL=L
RETURN
4 ICOL=L
RETURN
5 ICOL=L
RETURN
6 ICOL=L
RETURN
7 ICOL=L
RETURN
8 ICOL=L
RETURN
9 ICOL=L
RETURN
10 ICOL=L
RETURN
11 ICOL=L
RETURN
12 ICOL=L
RETURN
13 ICOL=L
RETURN
14 ICOL=L
RETURN
15 ICOL=L
RETURN
16 ICOL=L
RETURN
17 ICOL=L
RETURN
```

```
18 ICOL=9
   RETURN
19 ICOL=10
   RETURN
   END
```

C METODA LUI FRIDMAN

```
   SUBROUTINE FRID(N, EPS, IK, LD, X, KOD, PR)
   DIMENSION X(N), PR(N)
   KOD=0
   K=0
   PRINT 2
2  FORMAT(1X, 'ITERATIA', 10X, 'SOLUTIA')
1  PRINT 3, K, (X(I), I=1, N)
3  FORMAT(1X, 12, 6X, (10F12.6))
   S=0
   DO 4 I=1, N
4  S=S+F(X, I, N)-F(X, I, N)
   IF(S.LE.EPS) RETURN
   DO 5 I=1, N
5  PR(I)=0
   DO 6 L=1, LD
   J=ICOL(L)
   I=ILIN(I)
6  PR(J)=PR(J)+VALA(X, L, N)-F(X, I, N)
   S1=0
   DO 7 I=1, N
7  S1=S1+PR(I)-PR(I)
   IF(S1.EQ.0) KOD=1
   IF(K.GE.IK) KOD=2
   IF(KOD.EQ.1.OR.KOD.EQ.2) RETURN
   K=K+1
   DO 8 I=1, N
8  X(I)=X(I)-S1/PR(I)
   GO TO 1
   END
```

Considerind  $x^0 = (0.3, 0.3, 0.3, 0.3, 0.3, 0.3, 0.3, 0.3, 0.3, 0.3)$ , după  
13 iterații (LISTING 9) se obține soluția  
 $x = (0.000000, -0.995968, -0.554246, -0.854521, -0.665221, -0.502156,$   
 $-0.697052, -0.785152, -0.705464, -0.769332).$

C METODA LUI FRIDMAN PENTRU SISTEME NELINIARE.ECA.VARIANTA 3.

```
DIMENSION X(10),PR(10),ILIN(19),ICOL(19),VALA(19),F(10)
DATA N,EPS,LK,X,LD/10,1.E-3,300,10=0.3,19/
CALL FRIDMAN2(N,EPS,LK,LD,X,KOD,PR,ILIN,ICOL,VALA,F)
PRINT,1,KOD
1 FORMAT(10X,'KOD=',I1)
STOP
END
```

C PRECIZAREA ECUATIEI F(X)=0

```
SUBROUTINE SC(X,F,N)
DIMENSION X(N),F(N)
F(1)=X(1)
DO 1 I=2,N
1 F(I)=COS(X(I-1))+X(I)
RETURN
END

SUBROUTINE MODUL(F,F1,N)
DIMENSION F(N)
F1=0.
DO 1 I=1,N
1 F1=F1+F(I)**2
RETURN
END
```

C PRECIZAREA DERIVATEI FRECHET PRIN VALA,ILIN,ICOL

```
SUBROUTINE DERIV(VALA,X,LD,N,ILIN,ICOL)
DIMENSION VALA(LD),X(N),ILIN(LD),ICOL(LD)
L=1
DO 3 I=1,9
ICOL(L)=I
ILIN(L)=I
L=L+1
ICOL(L)=I
ILIN(L)=I+1
L=L+1
3 CONTINUE
ICOL(19)=10
ILIN(19)=10
DO 1 I=1,19,2
1 VALA(I)=1
DO 2 I=2,18,2
I1=I/2
```

```
2 VALA(I) = -SIN(X(IL))
RETURN
END
```

### C METODA LUI FRIDMAN

```
SUBROUTINE FRIDMAN2(N, EPS, IK, LD, X, KOD, PR, ILIN, ICOL, VALA, F)
DIMENSION X(N), PR(N, VALA(LD)), ILIN(LD), ICOL(LD), F(N)
KOD=0
K=0
PRINT 2
2 FORMAT(1X, 'ITERATIA', 10X, 'SOLUTIA')
1 PRINT 3, K, (X(I), I=1, N)
3 FORMAT(1X, I3, 6X(10F12.6))
CALL DERIV(VALA, X, LD, N, ILIN, ICOL)
CALL SC(X, F, N)
CALL MODUL(F, F1, N)
IF(F1, LD, EPS) RETURN
DO 4 I=1, N
4 PR(I)=0
DO 5 L=1, LD
5 PR(ICOL(L)) = PR(ICOL(L)) + VALA(L) * F(ILIN(L))
CALL MODUL(PR, F2, N)
IF(F2.EQ.0) KOD=1
IF(K.GE.IK) KOD=2
IF(KOD.EQ.1.OR.KOD.EQ.2) RETURN
K=K+1
DO 6 I=1, N
X(I) = X(I) - F1/F2 * PR(I)
6 CONTINUE
GO TO 1
END.
```

Am considerat aceeași exemplu de la varianta 2, aceeași iterație inițială și precizie de calcul și, după 13 iterații (firese să fie astfel), am obținut aceeași soluție.

### 3.4. METODA GRADIENTULUI

Pentru metoda iterativă (2.21) este prezentată o subrutină FORTRAN cu numele GRADIENT, o implementare eficientă, a metodei Gradientului pentru ecuații de formă  $Fx = 0$  cu derivata Fréchet

o matrice rară. Escherich este astfel organizată încât poate fi stocată într-o bibliotecă rară. Pentru utilizarea ei în vederea rezolvării sistemelor neliniare se va preciza sistemul  $Fx = 0$  și derivata Fréchet a lui  $F$ .

3.4.1. Algoritmul de calcul. Considerăm ecuația  $Fx = 0$  cu  $F : D \subset \mathbb{R}^n \rightarrow \mathbb{R}^n$ ,  $F$  operator neliniar și  $x^0 \in D$  o soluție a ecuației. Presupunem că  $F$  este diferentțiabil Fréchet pe  $S(x^0, r) \subset D$  și că matricea  $F'(x)$  este mărginită pe  $S(x^0, r)$  și de rang  $n$ . Atunci (§ 3.4 Corolarul 1)  $x^0$  este punct de atracție pentru iterația (2.21)

$$x^{k+1} = x^k - \|F'(x^k)\|^{-2} F'(x^k)^T Fx^k.$$

Alegând ca valoare de plecare  $x^0 \in D$ , vom obține o soluție aproximativă  $x^k$  a ecuației, pentru care avem  $\|F(x^k)\|^2 < \varepsilon$  parcurgând următoarele etape :

E1. Se atribuie lui  $X$  - iterația curentă  $x^k$ , valoarea  $x^0$ .

E2. Se calculează  $\|F(x^k)\|^2$ . Dacă  $\|F(x^k)\|^2 \approx 0$  procesul de calcul se oprește ; în caz contrar se continuă cu etape 3 ;

E3. Se calculează  $F'(x^k)^T Fx^k$  ;

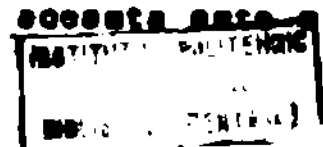
E4. Se calculează  $\|F'(x^k)\|^2$  ;

E5. Dacă la etapa 4 se obține zero, sau dacă se depășește numărul de iterații (propus), procesul de calcul se oprește, în caz contrar se continuă cu etape 6 ;

E6. Se calculează iterația următoare tot în  $X$ . Se reinu operațiile cu E2.

3.4.2. Schemă logică și programul FORTRAN. Ca și la metoda lui Fridman, pentru metoda 2.21, la fiecare pas de iterație avem nevoie de derivata Fréchet  $F'(x^k) \in L(\mathbb{R}^n)$ .

În § 3.3.2 am prezentat avantajele memorării compacte ale matricelor rare. Și pentru metoda Gradientului, am utilizat pentru stocarea derivatei Fréchet, oind ~~secreta este~~



matrice rară, tehnica memorării compacte aleatoare utilizată la variante 2 a metodei lui Fridman (Listing 12) cât și memorarea compactă aleatoare cu stocare în memoria centrală (Listing 11).

Vom prezenta în cele ce urmează schema logică (fig.3.8) și programul FORTMAN, pentru metoda Gradientului, utilizând pentru  $F'(x^k)$  matrice rară, memorarea compactă aleatoare (cu stocare în memoria centrală) fiind cea mai eficientă.

Programul poate fi folosit întotdeauna și când  $F'(x^k)$  nu este matrice rară, dar în această situație, memorarea compactă aleatoare nu aduce nici un avantaj în raport cu memorarea clasică.

Subrutina AC(X,F,N) calculează valoarea lui  $f_i$  pentru  $x^k$ ,  $f_i$ ,  $i = \overline{1,n}$  fiind componentele lui F

$$F = \begin{pmatrix} f_1(x) \\ f_2(x) \\ \vdots \\ f_n(x) \end{pmatrix} .$$

X = tabelou de o dimensiune cu n elemente ce conține iterația curentă  $x^k$  ;

N = dimensiunea n a sistemului ;

F = tabelou de o dimensiune, cu componentele  $f_i(x^k)$ ,  $i = \overline{1,n}$  ;  
Pentru calculul elementelor nenule ale derivatei Fréchet în  $x^k$ , folosim subrutina DERIV(VALA,X,LD,N,ILIN,ICOL).

VALA = conține elementele nenule ale derivatei Fréchet în  $x^k$ , iterația curentă ; este un vector cu LD elemente

X = vector cu n elemente ; iterația curentă  $x^k$  ;

LD = numărul de elemente nenule ale derivatei Fréchet ;

N = dimensiunea n a sistemului ;

ILIN = vector cu LD elemente ; conține indicii de linie ai elementelor nenule, în ordinea din VALA ;

ICOL = vector cu LD elemente ; conține indicii de coloană ai elementelor nenule, în ordinea dată în VALA ;



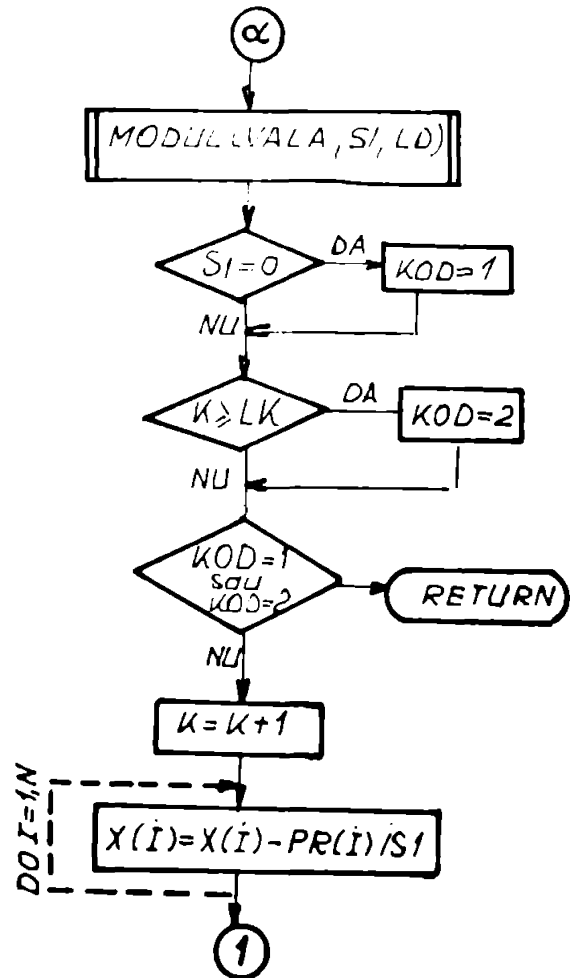
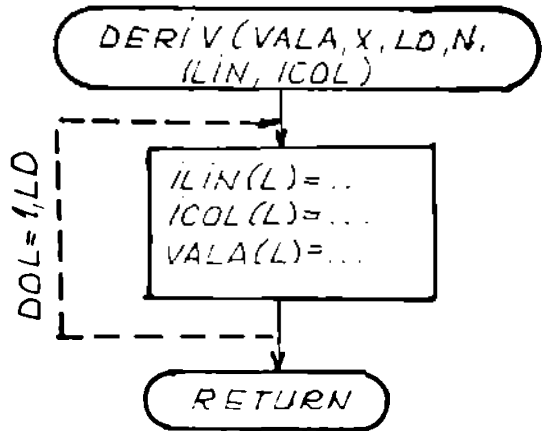
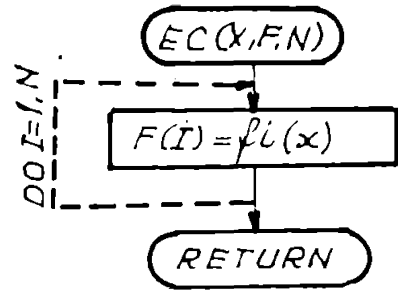
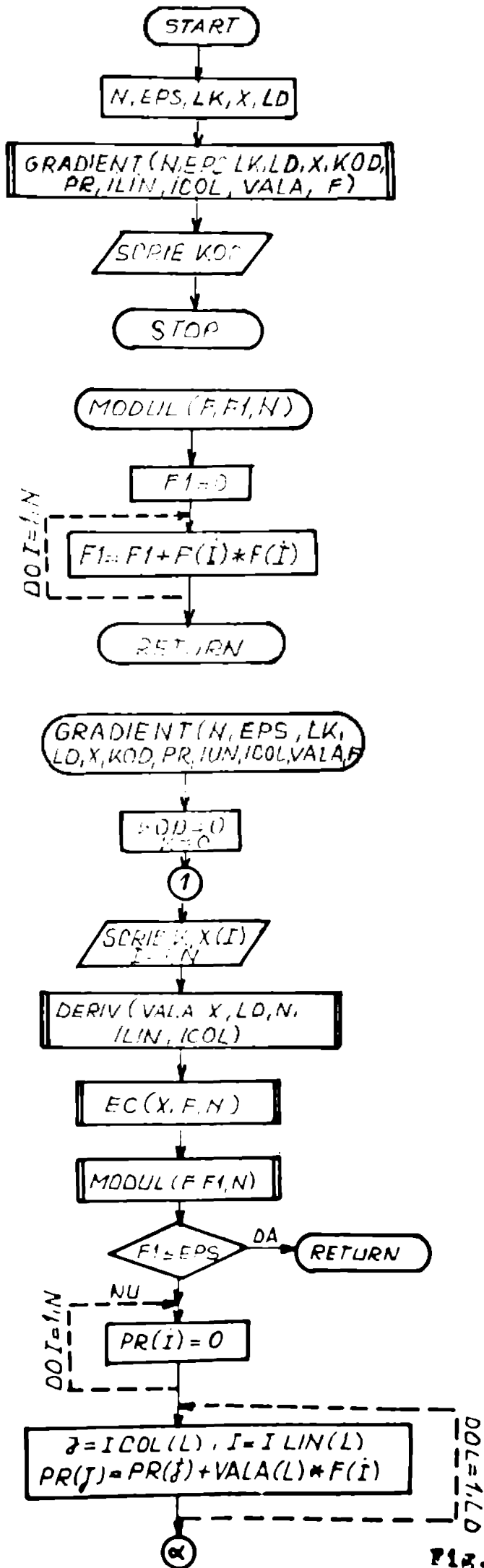


Fig. 3.8.

Observație. Deoarece norma de aplicație liniară a unei matrici corespunzătoare normei euclidiene este dificil de calculat, se poate utiliza o normă care o majorează, de exemplu  $\|A\|_2 = (\sum s_{ij}^2)^{1/2}$ , unde  $s_{ij}$ ,  $i, j = \overline{1, n}$  sînt elementele matricii  $A$ .

Astfel pentru  $\|F'(x^k)\|^2$  cu observația de mai sus și  $\|F(x^k)\|^2$  vom folosi subrutina  $MÓDUL(F, F1, N)$  în care

$F$  = este un vector cu  $n$  elemente, a cărui normă dorim s-o calculăm ;

$F1$  = conține parametrul normei vectorului  $F$  ;

$N$  = numărul de elemente ale vectorului  $F$  ;

### C METODA GRADIENTULUI PENTRU SISTEME NELINIARE. MCA.

```
DIMENSION X(10), PR(10), ILIN(19), ICOL(19), VALA(19), F(10)
DATA N, EPS, LK, X, LD/10, 1.E-3, 300, 10*0.3, 19/
CALL GRADIENT(N, EPS, LK, LD, X, KOD, PR, ILIN, ICOL, VALA, F)
PRINT 1, KOD
1 FORMAT(10X, 'KOD', I1)
STOP
END
```

### C PRECIZAREA ECUAȚIEI $F(X)=0$

```
SUBROUTINE EC(X, F, N)
DIMENSION X(N), F(N)
F(1)=X(1)
DO 1 I=2, N
1 F(I)=CÓD(X(I-1))=X(I)
RETURN
END
```

### C PRECIZAREA DERIVATEI FRECHET PRIN VALA, ILIN, ICOL

```
SUBROUTINE DERIV(VALA, X, LD, N, ILIN, ICOL)
DIMENSION VALA(LD), X(N), ILIN(LD), ICOL(LD)
L=1
DO 3 I=1, 9
ICOL(L)=I
ILIN(L)=I
L=L+1
ICOL(L)=I
ILIN(L)=I+1
L=L+1
```

```

3 CONTINUE
  ICOL(19)=10
  ILIN(19)=10
  DO 1 I=1,19,2
1 VALA(I)=1
  DO 2 I=2,18,2
  IL=I/2
2 VALA(I)= ->IN(X(IL))
  RETURN
  END

```

```

C CALCULUL PATRATULUI NORMEI
  SUBROUTINE MODUL(F,F1,N)
  DIMENSION F(N)
  F1=0.
  DO 1 I=1,N
1 F1=F1+F(I)*F(I)
  RETURN
  END

```

```

C METODA GRADIENTULJI
  SUBROUTINE GRADIENT(N,EPS,LK,LD,X,KOD,PR,ILIN,ICOL,VALA,F)
  DIMENSION X(N),PR(N),VALA(LD),ILIN(LD),ICOL(LD),F(N)
  KOD=0
  K=0
  PRINT 2
2 FORMAT(1X,'ITERATIA',10X,'SOLUTIA')
1 PRINT 3,K,(X(I),I=1,N)
3 FORMAT(1X,I3,6X,(10F12.6))
  CALL DERIV(VALA,X,LD,N,ILIN,ICOL)
  CALL EC(X,F,N)
  CALL MODUL(F,F1,N)
  IF(F1.LE.EPS)RETURN
  DO 4 I=1,N
4 PR(I)=0.
  DO 7 L=1,LD
  J=ICOL(L)
  I=ILIN(L)
7 PR(J)=PR(J)+VALA(L)*F(L)
  CALL MODUL(VALA,S1,LD)
  IF(S1.EQ.0)KOD=1
  IF(K.GE.LK)KOD=2
  IF(KOD.EQ.1.OR.KOD.EQ.2)RETURN

```

```
K=K+1
DO 9 I=1,N
9 X(I)=X(I)-PR(I)/S1
GO TO 1
END
```

În program am ales exemplul de la metodele lui Fridman, aceeași iterație inițială, aceeași precizie de calcul. Este cunoscut faptul că metoda Gradientului este mai lent convergentă (având convergență liniară) decât metodele lui Fridman. De astă dată soluția, în aceleași condiții ca la Fridman, am obținut-o în 114 iterații, spre deosebire de metodele lui Fridman, când soluția se obține în numai 13 iterații.

### 3.5. REZOLVAREA NUMERICĂ A UNOR SISTEME DE ECUAȚII NELINIARE ÎNTELETE ÎN ELECTROENERGETICĂ.

Studiul unor probleme de electroenergetică conduce adesea la rezolvarea unor sisteme de ecuații neliniare de formă

$$(3.8) \quad I_p = \sum_{q=1}^n Y_{pq} U_q \quad \text{sau}$$

$$(3.9) \quad S_p^N = U_p^N I_p^N \quad , \quad p = 1, \dots, n$$

pentru care se cunoaște matricea de admitență  $Y_{pq}$ . În plus, dacă  $p$  este nod consumator se mai cunoaște valoarea puterii  $S_p$  și se cere determinarea tensiunii  $U_p$ . Dacă  $p$  este nod generator se cunosc valorile  $H_p(\delta)$  și  $J_p$ , se cere determinarea lui  $U_p$  și  $I_p(\delta)$ . Dacă  $p$  este nod de balanșare se cunoaște  $|U_p|$  iar sistemul (3.8) permite ușor determinarea lui  $S_p$ .

Rezolvarea numerică a sistemelor de această formă, [50], constituie o parte a contractului Institutului Politehnic pe probleme de electroenergetică.

3.5.4 Algoritmii de calcul. Am analizat un asemenea sistem cu diverse metode numerice (Newton, Gauss-Seidel). Cele mai bune rezultate s-au obținut cu o variantă a metodei Gauss-Seidel : forma

pătratică a metodei Gauss-Seidel.

Prezentăm mai jos câteva elemente ale metodei și schema logică a programului (Fig.3.9) :

a) Pentru nodurile consumatoare scriind sistemul (3.8) sub formă

$$(3.10) \quad I_p = Y_{pp} U_p + \sum_{\substack{q=1 \\ q \neq p}}^n Y_{pq} U_q \quad \text{și folosind 3.9, obținem}$$

$$(3.11) \quad S_p^N = U_p^N Y_{pp} U_p + U_p^N \sum_{\substack{q=1 \\ q \neq p}}^n Y_{pq} U_q \quad \text{de unde}$$

$$(3.12) \quad U_p U_p^N = \frac{S_p^N}{Y_{pp}} - \frac{1}{Y_{pp}} \left( \sum_{\substack{q=1 \\ q \neq p}}^n Y_{pq} U_q U_p^N \right).$$

Notînd

$$S_p = P_p + jQ_p = U_p = e_p + jf_p \cdot Y_{pq} = G_{pq} + jB_{pq}$$

$$(3.13) \quad \frac{S_p^N}{Y_{pp}} = C_1 + jC_2 + \frac{1}{Y_{pp}} \sum_{\substack{q=1 \\ q \neq p}}^n Y_{pq} U_q = C_3 + jC_4$$

valorile lui  $C_1, C_2, C_3, C_4$  se pot calcula din datele cunoscute, iar relația (3.12) devine

$$(3.14) \quad e_p^2 + f_p^2 = C_1 + jC_2 - (C_3 + jC_4)(e_p - jf_p).$$

Îgălînd părțile reale, respectiv imaginare se obține sistemul

$$(3.15) \quad \begin{cases} e_p^2 + f_p^2 = C_1 - C_3 e_p - C_4 f_p \\ 0 = C_2 + C_3 f_p - C_4 e_p \end{cases}$$

sau echivalent

$$(3.16) \quad \begin{cases} f_p = -\frac{1}{C_3} (C_4 e_p - C_2) \\ (C_3^2 + C_4^2) e_p^2 + (C_3^2 + C_3 C_4^2 - 2C_2 C_4) e_p + (C_2^2 - C_1 C_3^2 - C_2 C_3 C_4) = 0. \end{cases}$$

Din ecuația a doua a sistemului rezultă două valori pentru  $e_p$ .

Se alege valoarea cea mai mare cu care se calculează  $f_p$  și apoi

$U_p$ .

b) Pentru nodurile generatoare se scrie sistemul (3.8) sub formă :

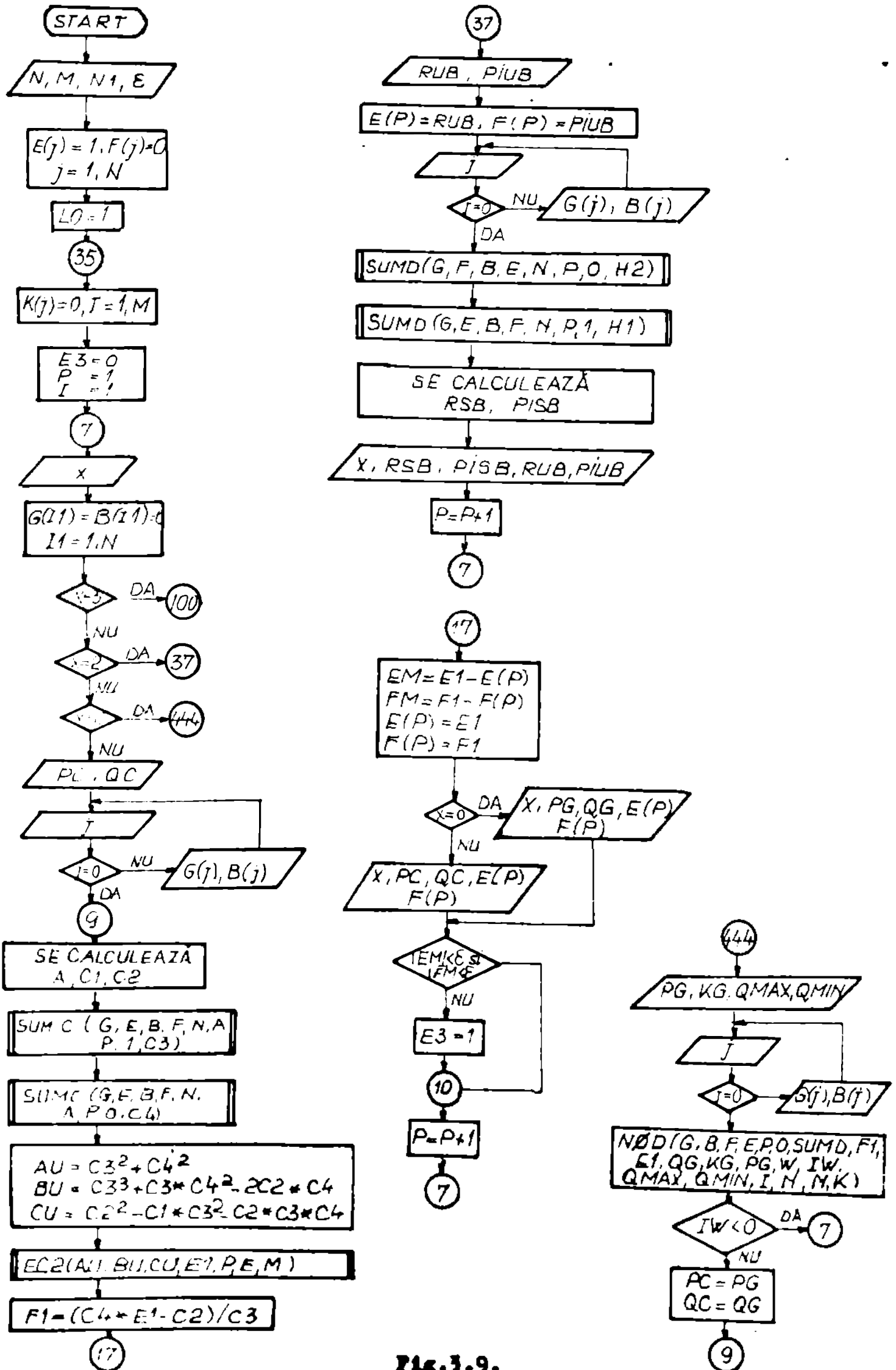


Fig. 3.9.

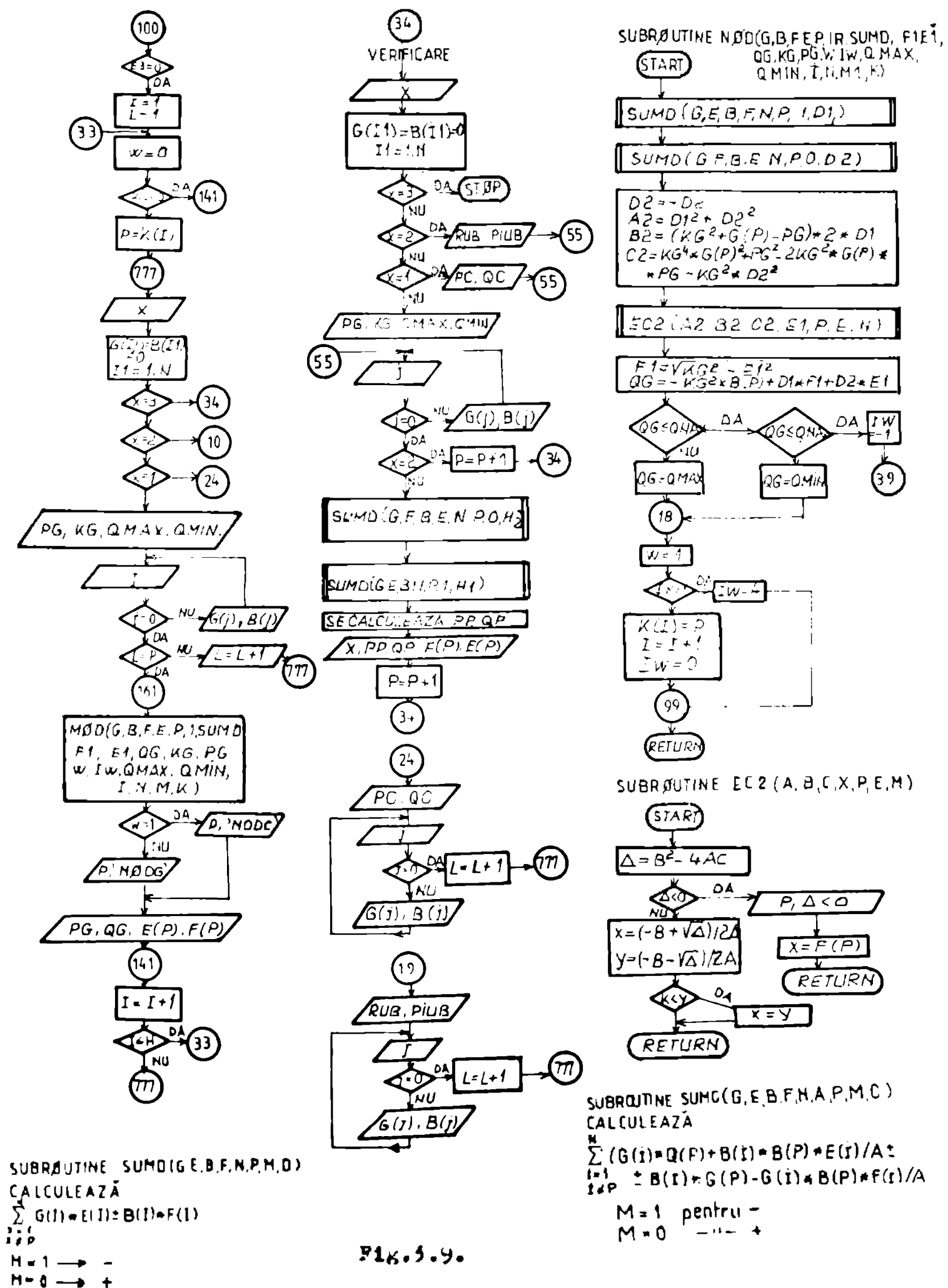


Fig. 1.9.

$$(3.17) \quad \epsilon_p = |U_p| \cdot 2X_{pp}^{\#} + U_p \sum_{\substack{q=1 \\ q \neq p}}^n Y_{pq}^{\#} U_q^{\#} \quad \text{și notînd}$$

$$(3.18) \quad |U_p|^2 = k^2 \cdot \sum_{\substack{q=1 \\ q \neq p}}^n Y_{pq}^{\#} U_q^{\#} = D_1 + jD_2$$

relația (3.17) devine

$$(3.19) \quad P_p + jQ_p = k^2(G_{pp} - jB_{pp}) + (e_p + jf_p)(D_1 + jD_2).$$

Egalînd din nou părțile reale, respectiv imaginare, se obține sistemul

$$(3.20) \quad \begin{cases} P_p = k^2 G_{pp} + D_1 e_p - D_2 f_p \\ Q_p = -k^2 B_{pp} + D_1 f_p + D_2 e_p \end{cases}$$

sau folosînd (3.18)

$$(3.21) \quad \begin{cases} f_p = \sqrt{k^2 - e_p^2} \\ (D_1^2 + D_2^2) e_p^2 + 2D_1(k^2 G_{pp} - P_p) e_p + (k^4 G_{pp}^2 + P_p^2 - 2k^2 G_{pp} P_p - D_2^2 k^2) = 0. \end{cases}$$

Din ecuația e două se calculează valorile lui  $e_p$ , se reține valoarea mai mare și se calculează  $f_p$ . Valoarea lui  $Q_p$  rezultă din ecuația e două a sistemului (3.20).

Se verifică dacă  $Q_{p \min} \leq Q_p \leq Q_{p \max}$  ( $Q_{p \min}$ ,  $Q_{p \max}$  dați). Dacă  $Q_p > Q_{p \max}$  sau  $Q_p < Q_{p \min}$  se ia  $Q_p = Q_{p \max}$ , respectiv  $Q_p = Q_{p \min}$  și se atribuie nodului caracter de nod consumator.

c) Pentru noduri de balansare se cunoaște  $U_p$ , deci  $\epsilon_p$  se calculează ușor din relația (3.9).

**3.5.2. Programul PORTAN corespunzător.** Informațiile despre noduri le-am organizat într-un fișier nedefinit "CȘB&C&IUNI" pornind de la un fișier pe care îl vom numi pentru :

<u>Noduri de balansare</u>	<u>Noduri separator</u>	<u>Noduri consumator</u>
X = 2	X = 0, $Q_{\max}$ , $Q_{\min}$	X = 1, PC = $P_p$ , QC = $Q_p$
RUB = $\text{Re}(U_p)$	PQ = P	J, G(j), B(j) $\neq$ 0
PIUB = $I_{\#}(U_p)$	KG = k	
j = numărul nodului	J, G(j), B(j) $\neq$ 0	
G(j) = $\text{Re}(Y_{jj})$		
B(j) = $\text{Im}(Y_{jj})$		



Fișierul pe disc are ca înregistrări imaginile cartelilor. Programul poate fi folosit pentru N noduri, mai întâi fiind tratate nodurile de calculare, apoi cele generatoare și în final cele consumatoare. Prin program verificăm și corectitudinea rezultatelor (LISTING - contract). Am obținut rezultate cu patru zecimale exacte.

```
* DEFINE FILE AO(LIST:RD)=10
  REAL KG
  DIMENSION G(200),B(200)
  DATA N/5/
  INTEGER X
  DO 1 I=1,N
    G(I)=0.
  1 B(I)=0.
    I=1
  7 READ(105,2)X
    WRITE(108,21)X,I
  21 FORMAT(' ',X=' ',I1,2X,'NOD=' ,I3)
    I=I+1
    WRITE(10,2)X
  2 FORMAT(I1)
    IF(X.EQ.3)GO TO 100
    IF(X.EQ.2)GO TO 3
    IF(X.EQ.0)GO TO 4
    READ(105,5)PC,QC
    WRITE(10,5)PC,QC
  5 FORMAT(2F5.2)
    WRITE(108,51)PC,QC
  51 FORMAT(' ',10X,'PC=' ,F6.2,'QC=' ,F6.2)
  11 READ(105,6)J
  6 FORMAT(I3)
    WRITE(10,6)J
    IF(J.EQ.0)GO TO 7
    READ(105,8)G(J),B(J)
  8 FORMAT(2F10.6)
    WRITE(10,8)G(J),B(J)
    WRITE(108,9)J,J,G(J),J,B(J)
  9 FORMAT(13Y,'J=' ,I3,2X,'G(' ,I3,')' ,F11.6,2X,'B(' ,I3,')=' ,
  -F11.6)
```

```
GO TO 11
3 READ(105,12)RUB,PIUB
12 FORMAT(2 F4.2)
WRITE(10,12)RUB,PIUB
WRITE(108,13)RUB,PIUB
13 FORMAT(11X,'RUB=',F4.2,'PIUB=',F4.2)
GO TO 11
4 READ(105,14)PG,KG,QMAX,QMIN
14 FORMAT(F3.1,F10.8,2F3.1)
WRITE(10,14)PG,KG,QMAX,QMIN
WRITE(108,15)PG,KG,QMAX,QMIN
15 FORMAT(11X,'PG=',F3.1,2X,'KG=',F10.8,2X,'QMAX=',F3.1,
-'QMIN=',F3.1)
GO TO 11
100 ENDFILE 10
REWIND 10
I=1
77 READ(10,2)X
WRITE(108,21)X,I
I=I+1
IF(X.EQ.3)GO TO 200
IF(X.EQ.2)GO TO 33
IF(X.EQ.0)GO TO 44
READ(10,5)PC,QC
WRITE(108,51)PC,QC
111 READ(10,6)J
IF(J.EQ.0)GO TO 77
READ(10,8)G(J),B(J)
WRITE(108,9)J,J,G(J),J,B(J)
GO TO 111
33 READ(10,12)RUB,PIUB
WRITE(108,13)RUB,PIUB
GO TO 111
44 READ(10,14)PG,KG,QMAX,QMIN
WRITE(108,15)PG,KG,QMAX,QMIN
GO TO 111
200 STOP
END
```

```
C REZOLVABAA SIETHEULJI
* DEFINE FILE AO(DVT:RD)=10
EXTERNAL OUMD
```

```
INTEGER I,P,W
REAL EG
DIMENSION G(200),B(200),E(200),F(200),K(100)
DATA N,M/5,2/,N1/1/
APB=0,000001
DO 1 J=1,N
  B(J)=1
1 F(J)=0
  LG=1
35 DO 2 J=1,L
  2 K(J)=0
  3J=0
  P=1
  I=1
  7 READ(10,3)X,
  3 FORMAT(I1)
  DO 5 I1=1,N
  G(I1)=0
  5 B(I1)=0
  IF(X.EQ.3)GO TO 100
  IF(X.EQ.2)GO TO 37
  IF(X.EQ.0)GO TO 444
  READ(10,4)PC,QC
  4 FORMAT(2F5.2)
11 READ(10,6)J
  6 FORMAT(I3)
  IF(J.EQ.0)GO TO 9
  READ(10,8)G(J),B(J)
  8 FORMAT(2F10.6)
  GO TO 11
  9 AAG(P)=2+B(P)=2
  C1=(PC+G(P)-QC+B(P))/A
  C2= -(PC+B(P)+QC+G(P))/A
  CALL SUNC(G,B,A,F,N,A,P,1,C3)
  CALL SUNC(G,F,A,B,N,A,P,0,C4)
  AU=C3**2+C4**2
  BU=C3**3+C3*C4+C4-2*C2*C4
  CU=C2**2-C1*C3+C3-C2*C3+C4
  CALL EC2(AU,BU,CU,B1,P,E,N)
  F1=(C4+B1-C2)/C3
17 EM=B1-B(P)
  FM=F1-F(P)
```

- 118 -

```

WRITE(108,74)LO,EM,FM
74 FORMAT(21X,'ITERATION NR. 'I3,/,11X,'DIF.PT.E=',F10.7,
-11X,'DIF.PT.F=',F10.7)
E(P)=E1
F(P)=F1
IF(X.EQ.0)GO TO 80
WRITE(108,82)PC,QC,E(P),F(P)
82 FORMAT(11X,'S',25X,'U',/(/, ' ',2(5X,F10.7,2X,'+I',F10.7)))
GO TO 83
80 WRITE(108,82)PG,QG,E(P),F(P)
83 AM=ABS(LM)
FM=ABS(FM)
IF(AM.LT.6PB.AND.FM.LT.6FD)GO TO 20
E3=1
10 P=P+1
GO TO 7
100 IF(E3.EQ.0)GO TO 18
LO=LO+1
ENDFILE 10
REWIND 10
GO TO 35
18 ENDFILE 10
REWIND 10
L=1
L=1
33 W=0
IF(K(I).EQ.0)GO TO 141
P=K(I)
777 READ(10,5)X
DO 60 I1=1,N
G(I1)=0
60 B(I1)=0
IF(X.EQ.3)GO TO 34
IF(X.EQ.2)GO TO 19
IF(X.EQ.1)GO TO 24
READ(10,14)PG,KG,QMAX,QMIN
25 READ(10,6)J
IF(J.EQ.0)GO TO 26
READ(10,8)G(J),B(J)
GO TO 25
26 IF(L.EQ.P)GO TO 161

```

```

L=L+1
GO TO 777
161 CALL NUD(G,B,P,E,P,1,SUMD,F1,E1,QG,KG,PG,W,IN,QMAX,QMIN,
-I,N,M,K)
IF(W.EQ.1)GO TO 22
WRITE(108,20)P
20 FORMAT(' ',T5,'NUDUL ',I3,'NODG')
GO TO 23
22 WRITE(108,21)P
21 FORMAT(' ',T5,'NUDUL ',I3,'NODC')
23 WRITE(108,82)PG,QG,E(P),F(P)
GO TO 141
19 READ(10,12)RUB,PIUB
27 READ(10,6)J
IF(J.EQ.0)GO TO 28
READ(10,8)G(J),B(J)
GO TO 27
28 L=L+1
GO TO 777
444 READ(10,14)PG,KG,QMAX,QMIN
14 FORMAT(F3.1,F10.8,2F3.1)
111 READ(10,6)J
IF(J.EQ.0)GO TO 16
READ(10,8)G(J),B(J)
GO TO 111
16 CALL NUD(G,B,P,E,P,0,SUMD,F1,E1,QG,KG,PG,W,IN,QMAX,QMIN,I,N,M,
IF(IN)40,41,41
40 GO TO 17
41 PO=PG
QG=QG
GO TO 9
37 READ(10,12)RUB,PIUB
12 FORMAT(2F4.2)
R(P)=RUB
F(P)=PIUB
112 READ(10,6)J
IF(J.EQ.0)GO TO 15
READ(10,8)G(J),B(J)
GO TO 112
15 CALL SUMD(G,F,B,E,N,P,0,H2)
CALL SUMD(G,B,B,F,N,P,1,H1)

```

```
R22=H1*RU3+H2*PIU3
PI68=H1*PIU3-H2*RU3
H1=G(P)*E(P)-B(P)*F(P)
H2=G(P)*F(P)+B(P)*E(P)
R23=H13+H1*RU3+H2*PIU3
PI68=PI68+H1*PIU3-H2*RU3
WRITE(108,82)R23,PI68,RU3,PIU3
P=P+1
GO TO 7
24 READ(10,4)TC,PC
30 READ(10,6)J
  IF(J.EQ.0)GO TO 29
  READ(10,8)G(J),B(J)
  GO TO 30
29 L=L+1
  GO TO 777
141 I=I+1
  IF(I.LE.M)GO TO 33
  GO TO 777
34 ENDFILE 10
  REWIND 10
  WRITE(108,52)
52 FORMAT(//,' VERIFICARE' )
  P=1
400 READ(10,3)X
  DO 59 I1=1,N
    G(I1)=0
59 B(I1)=0
  IF(X.EQ.3)GO TO 58
  IF(X.EQ.2)GO TO 53
  IF(X.EQ.1)GO TO 54
  READ(10,14)PG,IG,QMAX,QMIN
55 READ(10,6)J
  IF(J.EQ.0)GO TO 56
  READ(10,8)G(J),B(J)
  GO TO 55
56 IF(X.EQ.2)GO TO 401
  CALL SUMD(G,F,B,E,N,P,0,H2)
  CALL SUMD(G,B,B,F,N,P,1,H1)
  PP=H1*(P)+H2*(P)
  QP=H1*(P)-H2*(P)
```

```

H1=G(P)*B(P)-B(P)*F(P)
H2=G(P)*F(P)+B(P)*B(P)
PP=PP+H1*B(P)+H2*F(P)
QP=QP+H1*F(P)-H2*B(P)
WRITE(108,57)PP,QP,B(P),F(P)
57 FORMAT(11X,'S',25X,'U',/(/' ',2(5X,F10.7,2X,'+I',F10.7)))
P=P+1
GO TO 400
54 READ(10,4)PC,QC
GO TO 55
53 READ(10,12)RIB,PIUB
GO TO 55
401 P=P+1
GO TO 400
58 STOP
END
```

```

SUBROUTINE NOD(G,B,F,S,P,IR,SUMD,F1,E1,QG,KG,PG,W,IW,QMAX,
-QMIN,I,N,M1,K)
INTEGER P,W
REAL KG
DIMENSION G(N),B(N),S(N),F(N),K(M1)
CALL SUMD(G,B,F,N,P,1,D1)
CALL SUMD(G,F,S,E,N,P,0,D2)
D2= -D2
A2=D1**2+D2**2
B2=(KG**2*G(P)-PG)**2*D1
C2=KG**4*G(P)**2+PG**2-2*KG**2*G(P)*PG-KG**2*D2**2
CALL SC2(A2,B2,C2,E1,P,E,N)
F1=KG**2-E1**2
F1=SQRT(F1)
QG= -KG**2*B(P)+D1*F1+D2*B1
IF(QG.LE.QMAX)GO TO 16
QG=QMAX
18 W=1
IF(IR.EQ.1)GO TO 66
K(I)=P
I=I+1
IW=0
GO TO 99
16 IF(QG.GE.-QMIN)GO TO 55
QG=QMIN
```

```

      GO TO 18
55  IW= -1
      GO TO 99
66  IW=4
99  RETURN
      END

      SUBROUTINE AC2(A,B,C,X,P,E,N)
      INTEGER P
      DIMENSION E(N)
      DELTA=B**2-4*A*C
      IF(DELTA.LT.0)GO TO 10
      X=(-B+SQRT(DELTA))/(2*A)
      Y=(-B-SQRT(DELTA))/(2*A)
      IF(X.IF.Y)X=Y
      GO TO 12
10  WRITE(108,11)P
11  FORMAT(' ','DELTA < 0','P=',I2)
      X=E(P)
12  RETURN
      END

```

```

      SUBROUTINE SUMC(G,E,P,N,A,P,M,C)
      INTEGER P
      DIMENSION G(N),B(N),E(N),P(N)
      C=0
      I=1
50  IF(I.EQ.P)GO TO 10
      C=C+(G(I)+G(P)+B(I)*B(P))*E(I)/A
      CO=(B(I)*G(P)-G(I)*B(P))*P(I)/A
      IF(M.EQ.1)GO TO 30
      C=C+CO
      GO TO 10
30  C=C-CO
10  I=I+1
      IF(I.LE.N)GO TO 50
      RETURN
      END

```

```

      SUBROUTINE SUMD(G,E,B,P,N,P,M,D)
      INTEGER P
      DIMENSION G(N),A(N),E(N),P(N)
      D=0
      I=1

```



```
50 IF(I.EQ.P)GO TO 10
   D=D+G(I)*E(I)
   L=O*d(I)*F(I)
   IF(M.*Q.1) GO TO 30
   D=D+L0
   GO TO 10
30 A=D-30
10 I=I+1
   IF(I.LE.N)GO TO 50
   RETURN
END
```

BIBLIOGRAFIE

1. Altman, M. , Connection between the method of steepest descent and Newton's method, Bull.Acad.Polen.Sci.Ser.Sci.Math., Astronom.Phys. 5(1957), 1031-1036.
2. Altman, M. , Connection between gradient methods and Newton's method for functionals, Bull.Acad.Polen.Sci.Ser.Sci.Math. Astronom.Phys. 9(1961), 877-880.
3. Andrei, N., Hăsturnois, C. , Matrice rare și aplicațiile lor, ed. Tehnică, București, 1983.
4. Belunina, I., G., Asupra aproximării cu diferențe a unor ecuații parabolice cu condiții la limită neliniare, Metode numerice și programare, Ed.Univ. Moscova (1965), 223-231.
5. Beresin, I.O., Jitkov, N.P., Metode numerice, Vol.2, Fizmatgiz, Moscova, 1959.
6. Bers, L. , On mildly nonlinear partial difference equations of elliptic type, J.Res.Nat.Bur.Standards, Sect.B 51(1953), 229-236.
7. Browner, F., Problèmes non-linéaires, Séminaire de mathématiques supérieures, Université de Montréal, 1965.
8. Curry, H., The method of steepest descent for nonlinear minimization problems, Quart.Appl.Math. 2(1944), 258-261.
9. Diaz, J., Metcalf, F., On the set of subsequential limit points of successive approximations, Trans.Amer.Math.Soc.135(1964), 459-485.
10. Douglas, J., Jr., Alternating direction iteration for mildly nonlinear elliptic difference equations, Numer.Math.5(1961), 92-98.
11. Foraythe, G., Isaac, W., Finite-difference methods for partial differential equations, John Wiley, New York, 1960.
12. Friedman, V., Un proces iterativ cu erori minime pentru ecuații

operatoriale neliniare, Dokl.Akad.Nauk.SSSR 139(1961)  
1063-1066.

13. Fridman, V. Despre convergența metodelor de tipul pantei celei mai rapide, Uspehi Mat.Nauk. 17(1962), 201-204.
14. Gergei, I., O metodă pentru rezolvarea sistemelor de ecuații neliniare, J.Vicial.Mat.1 Mat.Fis. 16(1976), 776-778.
15. Gann, J., On the two-stage iterative method of Douglas for mildly nonlinear elliptic difference equations, Numer.Math. 6(1964), 243-249.
16. Hart, H., Motzkin, T., A composite Newton-Raphson gradient method for the solution of systems of equations, Pacific J.Math. 6(1956), 691-707.
17. Henriot, P., Discrete variable methods for ordinary differential equations, John Wiley, New York, 1962.
18. Kaniel, S., Quasi-compact nonlinear operator in Banach space and applications, Archive Rat.Mech.Anal. 21(1966), 259-278.
19. Kantorovich, L., On Newton's method for functional equations (Russian), Dokl.Akad.Nauk SSSR 59(1948), 1237-1240.
20. Kantorovich, L., Functional analysis and applied mathematics (Russian), Uspehi Mat.Nauk. 3(1948), 89-185.
21. Kantorovich, L., On Newton's method (Russian), Trudy Mat.Inst. Steklov 28(1949), 104-144.
22. Keller, H., Numerical methods for two-point boundary value problems, Ginn, Boston, 1968.
23. Kellogg, R., A nonlinear alternating direction method, Math. Comp. 23(1969), 23-28.
24. Kershaw, D., The explicit inverses of two commonly occurring matrices, Math.Comp. 23(1969), 189-191.
25. Knuth, D.E., Tratat de programarea calculatoarelor. Sortare și căutare, Ed.Tehnică, București, 1976.
26. Lémarchal, C., Une méthode de résolution de certains systèmes

nonlineare aien poses, C.R.Acad.Sci.Paris, Ser.A-B, 272  
(1971), 4.605-4.607.

27. Lees, M., Discrete methods for nonlinear two-point boundary value problems, Numerical solution of partial differential equations, ed. J.H. Bramble, Academic Press, New York (1966), 59-72.
28. Lees, M., Schultz, M.H., A Leray-Schauder principle for  $k$ -compact mappings and the numerical solution of two-point boundary value problems, Numerical solutions of nonlinear differential equations, ed. D. Greenspan, John Wiley, New York (1966), 167-179.
29. Levinson, N., The Dirichlet problem for  $u = f(x, u)$ , J. Math. Mech. 12(1963), 567-576.
30. Mărușter, St., Metode numerice în rezolvarea ecuațiilor neliniare, Ed. Tehnică, București, 1981.
31. Mărușter, St., Quasi-convexity and two classical methods for solving nonlinear equations, Proc. Amer. Math. Soc. 62 (1977), 119-129.
32. Mărușter, St., The numerical solution of nonlinear equations, Seminarul de informatică și analiză numerică, preprint, Univ. Timișoara, Nr.2, 1981.
33. Mărușter, St., An iterative method for nonlinear difference equations, An. Univ. Timișoara, Ser. Sti. Mat. 14(1976), 118-124.
34. Minty, G., Monotone (nonlinear) operators in Hilbert space, Duke Math. J. 29(1962), 341-346.
35. Moldovean, G., Scheme logice și programe FORTRAN, Editura Didactică și Pedagogică, București, 1978.
36. Neșed, M., Steepest descent for singular linear operator equations, SIAM J. Numer. Anal. 7(1970), 358-362.
37. Neșed, M., The convergence of the method of steepest descent for nonlinear equations with variational or quasi-variational

- nal operators, *J.Math.Mech.* 13(1964), 765-794.
38. Ocoarsie, M.R., O metodă iterativă pentru rezolvarea sistemelor de ecuații, *Calculo* 4(1976), 625-631.
39. Ortega, J., Rockoff, M., Nonlinear difference equations and Gauss-Seidel type iterative methods, *SIAM J.Numer.Anal.* 3(1966), 497-513.
40. Ortega, J., Rheinboldt, W., Iterative solution of nonlinear equations in several variables, Academic Press, New York, 1970.
41. Ortega, J., Rheinboldt, W., Iterative solution of nonlinear equations in several variables, Academic Press, New York, 1970.
44. Ostrowski, A., Rezolvarea ecuațiilor și a sistemelor de ecuații, Ed.pentru literatură străină, Moscova, 1963.
42. Parter, S.V., Remarks on the numerical computation of solution of  $\Delta u = f(F, u)$ , Numerical solution of partial differential equations, Ed.J.H.Bramble, Academic Press, New York (1966), 73-82.
43. Parter, S.V., Numerical methods for mildly nonlinear elliptic partial differential equations, *Numer.Math.* 7(1965), 113-128.
44. Peaceman, D., Rachford, H., The numerical solution of parabolic and elliptic differential equations, *SIAM J.Appl.Math.*(1955) 28-41.
45. Petryshyn, W., Williamson, T.A., Jr., Strong and weak convergence of the sequence of successive approximations for quasi-non-expansive mappings, *J.Math.Anal.Appl.* 43(1973), 459-497.
46. Petryshyn, W.V., Direct and iterative methods for the solution of linear operator equations in Hilbert space, *Trans.Amer.Math.Soc.* 105(1962), 136-175.
47. Petryshyn, W.V., On a fixed point theorem for nonlinear  $F$ -compact operators in Banach space, *Bull.Amer.Math.Soc.* 72(1960), 329-334.

48. Popovici, P., The numerical solution of the finite-difference equations for mildly nonlinear two-point boundary value problems, Seminarul de informatică și analiză numerică, preprint, Univ. Timișoara, Nr.1, 1981.
49. Popovici P., Mărușter, St., A simple iteration for solving the nonlinear finite-difference equations, Seminarul de informatică și analiză numerică, preprint, Univ. Timișoara, Nr.5, 1981.
50. Popovici, P., Popescu, S., Asupra rezolvării numerice a unor sisteme de ecuații neliniare, Matematica, școala și producție, Deva, 1982.
51. Popovici, P., An iterative solution of nonlinear finite-difference equations, An. Univ. Timișoara, Ser. Sti. Mat. Vol. XI, 1982.
52. Popovici, P., Mărușter, St., Generalized Gradient's method, An. Univ. Timișoara, Ser. Sti. Mat. Vol. XII, fasc. 1-2, 1983.
53. Popovici, P., On Fridman's method, Seminarul de informatică și analiză numerică, preprint, Univ. Timișoara, Nr.15, 1983.
54. Popovici P., A variant of the Gradient's method for equations  $A(x)x + \Phi x = e$ , Seminarul de informatică și analiză numerică preprint, Univ. Timișoara, Nr.16, 1983.
55. Popovici, P., The Dirichlet problem for mildly nonlinear elliptic equations, preprint, Univ. Timișoara, Nr.17, 1983.
56. Popovici P., On Newton's method, An. Univ. Timișoara, Ser. Sti. Mat., Vol. XXII, fasc. 1-2, 1984.
57. Popovici, P., O variantă a metodei direcțiilor alternate, Colocviul național de "Aproximare și optimizare", Cluj-Napoca, 1984.
58. Popovici, P., Asupra rezolvării numerice a metodei lui Fridman pentru sisteme neliniare, Seminarul de informatică și analiză numerică, preprint, Univ. Timișoara, va apărea.

59. Jananaki, V., The method of linearization for solving non-linear boundary value problems (Russian), *Ukrain.Mat.J.* 20(1963), 213-227.
60. Jenciop, A.I., Metode aproximative în analiza neliniară, Ed. Academiei R.S.R., București, 1972.
61. Kobobogutko, A., Mamunis, L., O metodă iterativă pentru rezolvarea ecuațiilor de tip eliptic slab neliniare, *Vicisl. Prikl.Mat.*, Kiev, 22(1974), 68-73.
62. Simionov, B.V., Rezolvarea unui sistem de ecuații neliniare prin aproximații succesive, *Godisnik Inz. Stroitel Inst.* 18(1966), 29-33.
63. Steplenen, R.S., A characterization of local convergence for fixed point iterations in  $B$ , *SIAM J.Numer.Anal.* 12(1975), 887-894.
64. Tone, M., Udăgescu, I., Metode numerice și surrutine, Ed. Tehnică, București, 1980.
65. Tricomi, F., Un teorema sulla convergenza delle successioni formate dalle successive iterato di una funzione di una variabile reale, *Giorn.Meth.Battaglioni*, 54(1916), 1-9.
66. Vainberg, M.M., Metode variaționale și metode operatorilor monotoni, Nauka, Moscova, 1972.
67. Vainberg, M.M., Ecuații neliniare cu operatori monotoni, *Dokl. Acad.Nauk* 188(1969), 511-513.
68. Vainberg, M., Asupra convergenței metodei pasului descendent, *Dokl.Acad.Nauk SSSR*, 129(1960), 9-12.
69. Vainberg, M., Asupra convergenței metodei pasului descendent, *Sibirsk.Mat.J.* 2(1961), 201-220.

C O N T I N U T

pag.

INTRODUCERE . . . . .	I
<b>CAPITOLUL 1. Ecuații cu diferențe corespunzătoare</b>	
<b>problemele la limită neliniare . . . . .</b>	<b>1</b>
1.1. Probleme la limită bilocată pentru ecuații	
bilocătile clase neliniare . . . . .	1
1.1.1. Noțiuni și noțiuni introductive . . . . .	1
1.1.2. Probleme la limită bilocată clase	
neliniare . . . . .	4
1.1.3. Ecuații cu diferențe finite corespunzătoare	
într-o problemă (1.2) . . . . .	5
1.2. Probleme la limită bilocată pentru ecuații	
diferențiale ovale liniare . . . . .	8
1.2.1. Noțiuni introductive . . . . .	8
1.2.2. Probleme la limită bilocată ovale liniară	
și ecuații cu diferențe finite standard . . . . .	9
1.2.3. Caz particular . . . . .	11
1.3. Probleme Dirichlet pentru ecuații eliptice	
clase neliniare . . . . .	12
1.3.1. Noțiuni și noțiuni introductive . . . . .	12
1.3.2. Diferențe finite . . . . .	14
1.3.3. Ecuații cu diferențe finite . . . . .	17
<b>CAPITOLUL 2. Convergența locală a unor metode iterative</b>	<b>23</b>
2.1. Introducere . . . . .	23
2.1.1. Unele preliminare . . . . .	24
2.1.2. Convergența locală . . . . .	25
2.1.3. Operatori cuasi-contractivi . . . . .	26
2.1.4. Operatori monotoni . . . . .	28
2.2. Metode iterațiilor simple pentru ecuații de	
forma $A(x)x - x = 0$ . . . . .	29
2.2.1. Algoritmul de calcul și analiza	
convergenței . . . . .	29
2.2.2. Aplicație la rezolvarea ecuațiilor cu	
diferențe corespunzătoare problemele	
la limită bilocată ovale liniare . . . . .	32
2.3. Metode de ecuațiilor alternante . . . . .	35
2.3.1. Introducere . . . . .	36
2.3.2. Unele preliminare . . . . .	37
2.3.3. Analiza convergenței . . . . .	39



	pag.
2.4. Metoda de tip gradient . . . . .	41
2.4.1. Introducere . . . . .	41
2.4.2. Analiza convergenței . . . . .	42
2.4.3. Metoda gradientului . . . . .	43
2.4.4. Metoda Newton - gradient combinată . . . . .	45
2.4.5. Metoda lui Toliman . . . . .	46
2.4.6. Observații asupra metodei gradientului generalizată cu ordin superior de convergență . . . . .	46
2.5. Metoda iterativă specială pentru ecuații de formă (1.11) . . . . .	47
2.5.1. Algoritmul de calcul și analiza convergenței . . . . .	49
2.5.2. Metoda liniilor paralele . . . . .	51
2.5.3. Aplicație la ecuațiile cu diferențe corespunzătoare problemei Dirichlet eliptice slab neliniare . . . . .	53
2.6. Metoda lui Fridren . . . . .	55
2.6.1. Introducere . . . . .	55
2.6.2. Analiza convergenței . . . . .	56
<b>CAPITOLUL 3. Algoritmi de calcul și programe FORTRAN . . . . .</b>	<b>59</b>
3.1. Metode iteratiilor simple . . . . .	59
3.1.1. Algoritmul de calcul . . . . .	59
3.1.2. Scheme logice și programe FORTRAN . . . . .	61
3.2. Metoda direcțiilor alternante . . . . .	74
3.2.1. Algoritmul de calcul . . . . .	74
3.2.2. Scheme logice și programe FORTRAN . . . . .	77
3.3. Metoda lui Fridren . . . . .	83
3.3.1. Algoritmul de calcul . . . . .	86
3.3.2. Scheme logice și programe FORTRAN . . . . .	87
3.4. Metoda gradientului . . . . .	104
3.4.1. Algoritmul de calcul . . . . .	105
3.4.2. Schema logică și programul FORTRAN . . . . .	105
3.5. Rezolvarea numerică a unor sisteme de ecuații neliniare întâlnite în electroenergetică . . . . .	110
3.5.1. Algoritmul de calcul . . . . .	110
3.5.2. Programul FORTRAN . . . . .	114
<b>BIBLIOGRAFIA . . . . .</b>	<b>124</b>